

# Inhaltsverzeichnis

|    |  |           |
|----|--|-----------|
| 2  | <b>1 Quantenmechanik, allgemein</b>                                      | <b>5</b>  |
| 3  | 1.1 Mini-Geschichte . . . . .  | 5         |
| 4  | 1.2 Allgemeine Grundlagen . . . . .                                      | 8         |
| 5  | 1.2.1 Einige grundlegende mathematische Konzepte . . . . .               | 8         |
| 6  | 1.2.1.1 1) Hilbertraum $\mathcal{H}$ . . . . .                           | 8         |
| 7  | 1.2.1.2 2) Lineare Operatoren . . . . .                                  | 10        |
| 8  | 1.2.2 Mathematisch deduktiver Aufbau der QM. . . . .                     | 14        |
| 9  | 1.2.3 Anmerkungen zu den Axiomen der QP . . . . .                        | 18        |
| 10 | 1.2.3.1 Spektralsatz und Unschärfe . . . . .                             | 18        |
| 11 | 1.2.3.2 Zeitliche Entwicklung . . . . .                                  | 19        |
| 12 | 1.2.3.3 Zusammengestzte Systeme und der statistische Operator . .        | 20        |
| 13 | 1.2.4 Die Schmidt Darstellung . . . . .                                  | 22        |
| 14 | 1.2.4.1 Beispiele . . . . .  | 24        |
| 15 | 1.2.5 Entropie in der QP . . . . .                                       | 25        |
| 16 | 1.2.6 Das Korrespondenzprinzip und die “höhere Mechanik” . . . . .       | 26        |
| 17 | 1.2.7 Erweiterungen der Axiome der QP . . . . .                          | 28        |
| 18 | 1.2.8 Frühe Kritik an der QM . . . . .                                   | 29        |
| 19 | 1.2.8.1 EPR . . . . .  | 29        |
| 20 | 1.2.8.2 Schrödingers Katze . . . . .                                     | 30        |
| 21 | 1.2.9 Verborgene Variable (Hidden variables) . . . . .                   | 32        |
| 22 | 1.3 Alternative Quantisierungs-Methoden . . . . .                        | 32        |
| 23 | 1.3.1 Pfadintegral, stark vereinfacht . . . . .                          | 32        |
| 24 | 1.3.2 Holographische Quantisierung, AdS/CFT ; noch stärker vereinfacht . | 34        |
| 25 | <b>2 Qubits in der Quantenmechanik</b>                                   | <b>36</b> |

|    |          |   |           |
|----|----------|---|-----------|
| 26 | 2.1      | Ein Qubit . . . . .   | 36        |
| 27 | 2.1.1    | Informationsgehalt eines Qubits . . . . .                                   | 36        |
| 28 | 2.1.2    | Pauli'sche $\sigma$ Matrizen . . . . .                                      | 37        |
| 29 | 2.1.3    | Bahndrehimpuls und Spin . . . . .   | 38        |
| 30 | 2.1.4    | Quantengatter <i>quantum gates</i> . . . . .                                | 40        |
| 31 | 2.1.5    | Zeitliche Entwicklung eines Qubits . . . . .                                | 40        |
| 32 | 2.2      | Der Stern Gerlach Versuch als Prototyp einer Messung . . . . .              | 42        |
| 33 | 2.2.1    | Drehimpuls und magnetisches Moment . . . . .                                | 42        |
| 34 | 2.2.2    | Der Stern Gerlach Versuch als Realisierung eines Messprozesses . . . . .    | 44        |
| 35 | 2.2.2.1  | Polarisierte Photonen . . . . .   | 47        |
| 36 | 2.3      | 2 und mehr Qubits . . . . .   | 48        |
| 37 | 2.3.1    | Notation . . . . .  | 48        |
| 38 | 2.3.2    | Quantenteleportation . . . . .  | 49        |
| 39 | 2.3.3    | Zeitliche Entwicklung in einem Produktraum . . . . .                        | 51        |
| 40 | 2.3.4    | Die Bellschen Ungleichungen . . . . .                                       | 51        |
| 41 | 2.3.5    | Fouriertransformation mit Qubits* . . . . .                                 | 54        |
| 42 | <b>3</b> | <b>Grundsätzliches</b>  | <b>56</b> |
| 43 | 3.1      | Superposition und Gemisch . . . . .   | 56        |
| 44 | 3.1.1    | Dekohärenz . . . . .  | 57        |
| 45 | 3.1.1.1  | Kohärenz und Dekohärenz in der Optik . . . . .                              | 58        |
| 46 | <b>4</b> | <b>Die "Quanten" Fourier Transformation</b>                                 | <b>60</b> |
| 47 | 4.1      | Fourier Transformation und Fourier Reihe . . . . .                          | 60        |
| 48 | 4.2      | Wiederholung: computatorische Basis . . . . .                               | 61        |
| 49 | 4.2.1    | Definition der FT in der CB . . . . .                                       | 62        |
| 50 | 4.2.2    | Auf Qubits adaptierte Form der Fourier-Transformierten . . . . .            | 63        |
| 51 | 4.3      | Anwendung: Periodenbestimmung durch QFT . . . . .                           | 65        |
| 52 | 4.3.1    | Zusammenfassung . . . . .   | 67        |
| 53 | 4.3.2    | Numerisches Beispiel . . . . .  | 68        |
| 54 | <b>5</b> | <b>Basis des Shore'schen Algorithmus.</b>                                   | <b>70</b> |
| 55 | 5.1      | Für Verschlüsselung und Entschlüsselung wichtige Elemente der Zahlentheorie | 71        |
| 56 | 5.1.1    | Notation und Begriffe . . . . .   | 71        |

|    |         |  |    |
|----|---------|--|----|
| 57 | 5.1.2   | Theoreme . . . . .   | 73 |
| 58 | 5.1.2.1 | Inversee Restklasse: . . . . .                               | 73 |
| 59 | 5.1.2.2 | Kleiner Fermat: . . . . .                                    | 73 |
| 60 | 5.1.2.3 | Euler-Fermat . . . . .                                       | 74 |
| 61 | 5.1.2.4 | Periodizität $T$ . . . . .                                   | 75 |
| 62 | 5.2     | RSA-Verschlüsselung . . . . .                                | 75 |
| 63 | 5.2.1   | Chiffrierung . . . . .                                       | 75 |
| 64 | 5.2.2   | Dechiffrierung . . . . .                                     | 76 |
| 65 | 5.3     | Berechnung des Schlüssels aus dem öffentlichen $n$ . . . . . | 77 |
| 66 | 5.3.1   | Faktorzerlegung von $n$ . . . . .                            | 77 |
| 67 | 5.3.2   | Numerisches Beispiel . . . . .                               | 77 |

68 7. Juli 2022

## 69 Vorbemerkungen

70 **Kein Buch! Nur zum Gebrauch neben der Vorlesung**  
71 **bestimmt! Vor Druck- und anderen Fehlern wird ge-**  
72 **warnt!!!**

73 Voraussetzung: Theoretische Quantenmechanik. In dieser Vorlesung werden aber hauptsächlich  
74 die Punkte betont, die für QC nötig. Dies bringt einige Vereinfachungen technischer Natur (i.  
75 A endlich dimensionale Räume und beschränkte Operatoren), aber die begrifflichen Aspekte  
76 der QM werden hier sehr viel stärker in den Vordergrund gerückt:

- 77 • **Grössere Reichhaltigkeit der Information** (Stichwort Qubit vs. Bit) und vor allem  
78 Dingen die
- 79 • **Parallelität der Information** (Stichwort: Überlagerung, Verschränkung *entanglement*)  
80

81 Klassische Bücher:

82 W. Heisenberg

83 “Die Physikalischen Prinzipien der Quantentheorie” (1928, 2. 1931) Leipzig 1928 (2. 1931) [Heisenberg30](#) [7]

84 H. Weyl, “Gruppentheorie und Quantenmechanik” Leipzig 1928 (2. 1931)

85 J. von Neumann

86 “Mathematische Grundlagen der Quantenmechanik” (1932) Berlin 1932

87 P A M Dirac

88 “The Principles of Quantum Mechanics” (1930, 4. 1957) Oxford 1930 (4. 1957)

89 Auch in den spezialisierten Büchern zum QC finden sich Abschnitte über die QM allgemein,  
90 manchmal mit mehr Rücksicht auf Informatiker als auf Physiker.

# 91 Kapitel 1

## 92 Quantenmechanik, allgemein

### 93 1.1 Mini-Geschichte

94 Dies ist keine Geschichte der QM, sondern nur eine kurze Orientierung zur Einordnung der  
95 neueren Entwicklung in Richtung QC.

96 “If there is any moment that marks the birth of quantum mechanics, it would  
97 be the vacation taken by the young Werner Heisenberg Heisenberg:1925zz, Born:1926uzf <sup>[?, ?]</sup><sup>1</sup> in 1925 (S.  
98 Weinberg) .

99 Heisenberg schreibt kurz und bündig:

100 “In der Arbeit soll versucht werden, Grundlagen zu gewinnen für eine quanten-  
101 theoretische Mechanik, die ausschliesslich auf Beziehungen zwischen prinzipiell  
102 beobachtbaren Grössen basiert ist.”

103 Die beobachtbaren Grössen (z.B. Energieniveaux eines Atoms) werden in Tabellen (Vekto-  
104 ren) angegeben. Auf diese wirken Matrizen, daher der frühe Name für die QM: Matrizenme-  
105 chanik.

106 Dies erforderte für ein System wie das H-atom schon äusserst komplizierte Rechnung, eine  
107 gewaltige Vereinfachung erfolgte durch die Schrödinger-Gleichung Schilbertraumödinger:1926gei <sup>[?]</sup><sup>2</sup>.

108 Bald wurde die Gleichwertigkeit der beiden Zugänge durch die damals besonders in Göttin-  
109 gen entwickelte Funktionalanalysis aufgedeckt: Hilbertraum kann durch Funktionen (Wel-  
110 lenfunktionen von Schrödinger) oder Vektoren (von Heisenberg, Born, Jordam und Pauli),  
111 die Operatoren sind bei Heisenberg Matrizen, bei Schrödinger Funktionsoperationen wie  
112 Ableitungen, Multiplikation mit Variablen etc.

---

<sup>1</sup>W. Heisenberg: Über quantentheoretische Umdeutung kinematischer und mechanischer Beziehungen

<sup>2</sup>E. Schrödinger: Quantisierung als Eigenwertproblem

|                | Hilbertraum   |                       | $C^*$        | Phasenraum       |
|----------------|---------------|-----------------------|--------------|------------------|
|                | 1925          | 1926                  | 1932         | < 1925           |
|                | Heisenberg    | Schrödinger           | v. Neumann   | klassisch        |
| 113 Observable | Matrizen      | $\partial_x, x \dots$ | $\in C^*$    | $F(p, q)$        |
| Zustände       | Vektoren      | Funktionen            | $\in C^*$    | $\rho(p, q)$     |
| Mathem.        | Lin. Algebra. | Funkt. Anal.          | lin. Algebra | Diff-Int. Rechn. |

114 Die formale Entwicklung der Quantenmechanik wurde weitgehend abgeschlossen durch John  
 115 von Neumanns Buch: MATHEMATISCHE GRUNDLAGEN DER QUANTENMECHANIK (1932).

116 Neben der klaren mathematischen Darstellung war ein äusserst wichtiger Beitrag des Ma-  
 117 thematikers John von Neumann die Einführung der gemischten Zustände, durch den stati-  
 118 stischen Operator. Dieser Zugang führte zu der recht abstrakten Formulierung der QP im  
 119 Rahmen der abstrakten  $C^*$ -Algebren, die besonders bei Mathematikern sehr beliebt ist.

120 Der Schrödinger'sche Zugang brachte grosse technische Erleichterungen:

121 1) Gewaltige Vereinfachung beim Rechnen, Anstelle von Manipulationen mit unendlich-  
 122 dimensional Matrizen traten übliche Funktionaloperationen wie Differentiation oder Mul-  
 123 tiplikation. Allerdings spielt im QC heute wieder der Matrixformalismus die fühilberträum-  
 124 ende Rolle.

125 2) Das Korrespondenzprinzip, das erlaubt die klassischen Ausdrücke in quantenmechani-  
 126 sche Operatoren zu überfühilberträumen, liess sich leicht anwenden: z.B. Hamiltonfunktion  
 127  $H(p, q) \rightarrow \mathbf{H}(p, q)$  durch  $p \rightarrow -i\hbar\partial_q; q \rightarrow q$ .

128 3) Die Gleichungen waren im Funktionalzugang auch formal näher bei den vertrauten Aus-  
 129 drücken aus der klassischen Physik als die Matrizen. Es handelt sich in der Schrödinger'schen  
 130 Darstellung hauptsächlich partielle Differentialgleichungen, wie in Elektrodynamik und  
 131 Kontinuumsmechanik.

132 Diese formale Nähe zur klassischen Physik verstärkte den prinzipiellen Skeptizismus einiger  
 133 Physiker, die wie Schrödinger und Einstein, im Herzen auf eine Rückkehr zur klassischen  
 134 Physik hofften.

135 Besonders die Aspekte, die heute für das QC wesentlich sind, wie die Statistische Interpre-  
 136 tation, die Verschränkung und die daraus resultierende "Teleportation" erregten dagegen  
 137 Misstrauen, darauf gehen wir später nochmals ein (Schrödingersche Kater und Einstein,  
 138 Podolski, Rosen Paradoxon)

139 Die Quantenphysik, die sich nach 1925 nicht als eine bloss Hilbertraumänkung der klas-  
 140 sischen Physik, sondern als eine sehr viel weiter reichende Alternative zur klassischen Physik  
 141 (Mechanik und Elektrodynamik) erwies, ist vielleicht die physikalische Theorie, die unser  
 142 Leben am stärksten beeinflusst hat. Sie zeitigte gewaltige Erfolge, nicht nur in Atomphysik,  
 143 für die sie hauptsächlich entwickelt wurde, sondern besonders auch in Festkörperphysik. Ein  
 144 typische Frucht der Quantenphysik ist der Transistor <sup>3</sup>

145 Als Gamow 1928 den  $\alpha$ -Zerfall der Kerne mit Hilfe der QM erklären konnte, war es noch  
 146 eine Überraschung, dass diese auch in der Grössenordnung der Kernradien ( $\approx 10^{-12}$  cm)

<sup>3</sup>J Bardeen, W Shockley and W Brattain 1948.

147 gültig ist. Bei der subnuklearen Physik (Teilchenphysik) erwartete man die Gültigkeit schon,  
148 aber es gab durchaus auch eine Epoche, in der man zwar nicht an der Gültigkeit der QP (in  
149 der Form der QFT) zweifelte, wohl aber an iHilberträumem Nutzen für viele Aspekte der  
150 Teilchenphysik <sup>4</sup>.

151 Inzwischen ist allerdings die QFT wieder voll auferstanden und es gibt keine Gründe an  
152 IHilbertraum zu zweifeln bis hinab zu Grössenordnungen von  $\approx 10^{-35}m$  (Planck Länge), denn  
153 ein noch offenes Problem ist allerdings die Vereinigung von Quantenphysik und Allgemeiner  
154 Relativitätstheorie.

155 Die praktischen Hauptprobleme entsteht dadurch, dass viele Operatoren nicht beschränkt  
156 sind, was zu “nicht-normierbaren Eigenfunktionen” (Eigendistributionen) in der QM führt  
157 und zu Unendlichkeiten in der relativistischen QFT (Renormierungsproblem). Von all die-  
158 sen Problemen ist das QC nicht berüHilbertraumt, da man sich hier auf endlichdimensionale  
159 Hilberträume beschränkt.

160 Die Beschäftigung mit den mehr grundsätzlichen Problemen die beim Übergangs von der  
161 klassischen Physik, an die wir durch unsre Anschauung gewöhnt sind, zur weniger anschau-  
162 lichen QM hat in der jüngeren Zeit wieder zugenommen. Dies hat einen wesentlichen Grund  
163 in der experimentellen Entwicklung in der Atomphysik: Es gab grosse FortschHilbertraumit-  
164 te in der Kühltechnik (man kommt immer näher zu  $T = 0$ ) und es war möglich einzelne  
165 QM Systeme zu isolieren (Ionenfallen). ( Paul und Dehmelt, Nobelpreis 1989, Haroche und  
166 Wineland, Nobelpreis 2012)

167 Entscheidend war auch die Entwicklung der Quantenoptik durch Laser.

168 Dies führte auch zu einem verstärkten Interesse an den grundsätzlichen (manchmal etwas  
169 abschätzig “philosophisch” genannten) Problemen der QM; s. z. B. zu den Bellsche Unglei-  
170 chungen. Das Ergebnis einiger Präzisionsexperimente in dieser Richtung hat die Mehrzahl  
171 der Physiker allerdings nicht überrascht:

172 Das Ergebnis war nämlich: **Die QM ist richtig !**

173 Ein grosser Spin-off Effekt dieser Entwicklung in der Atomphysik war das Quanten-Computing  
174 (QC) <sup>5</sup>

175 Gegenwärtig kann man das QC als Rückkehr zur Heisenbergschen Matrizenmechanik be-  
176 zeichnen. Es ist aber rechnerisch sehr einfach, da die auftretenden Matrizen endlich dimen-  
177 sional sind, die Grundeinheit, das Qubit ist nur 2 dimensional. Der Durchbruch zum QC  
178 kam hier auch keinesfalls durch neue Einsichten in die QM, sondern durch die Entwicklung  
179 von Algorithmen, die auf einfachen Prinzipien der QM beruhen.

180 Zu erwähnere ist hier besonders der Algorithmus von Shore, der komplexe Zahlentheoreti-  
181 sche Theoreme zusammen mit Algorithmen, die auf den Prinzipien der QM basieren, zur  
182 Primzahlfaktorisation benutzt.

183 Genauso wichtig war der ForschHilbertraumit in der experimentellen Technik, die es erlaubt  
184 Systeme von Qubits über eine nützliche Zeit kohärent zu halten. Allerdings können wir

---

<sup>4</sup>Quantum field theory will not die, but just fade away, G Chew ca 1950

<sup>5</sup>Richard P Feynman. Simulating physics with computers, 1981. International Journal of Theoretical Physics, 21(6/7). Yuri Manin. Computable and Uncomputable. Sovetskoye Radio, Moscow, 128, 1980.

185 auf diesen wichtigen Aspekt in dieser Vorlesung, aus Mangel an Zeit und Expertise, nicht  
186 eingehen.

## 187 1.2 Allgemeine Grundlagen

### 188 math188 1.2.1 Einige grundlegende mathematische Konzepte

189 Nur eine kurze Erinnerung und Wiederholung.

#### 190 1.2.1.1 1) Hilbertraum $\mathcal{H}$

191 Ein Hilbertraum ist ein **vollständiger linearer Vektorraum mit Metrik (Skalarpro-**  
192 **dukt)**. Wir stellen mit Dirac ein Element davon durch einen “ket”  $|\cdot\rangle$  dar. Es gilt das  
193 Superpositionsprinzip:

$$194 \{|\psi\rangle, |\phi\rangle \dots\} \in \mathcal{H}; \quad \alpha, \beta \dots \in \mathcal{C} \rightarrow, \alpha|\psi\rangle + \beta|\phi\rangle \in \mathcal{H};$$

195 Für das Skalarprodukt gilt:

$$196 \mathcal{H} \times \mathcal{H} \rightarrow \mathcal{C} \text{ bezeichnet mit } \langle\phi|\psi\rangle \in \mathcal{C}$$

197 **Schiefsymmetrisch** (skew symmetric):  $\langle\phi|\psi\rangle = \langle\psi|\phi\rangle^*$

198 Positiv  $\langle\psi|\psi\rangle > 0 \forall |\psi\rangle \neq 0 \quad ||\psi|| = \sqrt{\langle\psi|\psi\rangle}$  heist **Norm** des Vektors  $|\psi\rangle$ .

199 Linear  $\langle\phi|(\alpha|\psi_1\rangle + \beta|\psi_2\rangle) = \alpha\langle\phi|\psi_1\rangle + \beta\langle\phi|\psi_2\rangle$

200 Nach Dirac wird der duale Vektor (der der links im Skalarprodukt steht) mit bra,  $\langle\cdot|$  be-  
201 zeichnet. Das Skalarprodukt hat also die Form *bra ket*:  $\langle\cdot|\cdot\rangle$

202 Vollständigkeit] Der  $\mathcal{H}$  is vollständig in der Norm, d.h. jede Cauchyfolge im  $\mathcal{H}$  konvergiert  
203 gegen ein Element des  $\mathcal{H}$  <sup>6</sup>

#### 204 **Basis eines $\mathcal{H}$**

205 Es gibt eine abzählbare Zahl von Basis-Vektoren. In den für das QC wesentlichen Hilber-  
206 träumen ist diese Zahl endlich, dh. es gibt endlich viele Basisvektoren:

$$|1\rangle, |2\rangle, \dots |N\rangle \tag{1.1}$$

207 als deren Summe jedes Element dargestellt werden kann:

$$|\phi\rangle = \sum_1^N \alpha_i |i\rangle \tag{1.2}$$

---

<sup>6</sup>Im QC spielen i. A. nur endlichdimensionale  $\mathcal{H}$  eine Rolle, daher ist das Vollständigkeitsaxiom, das in der allgemeinen QM eminent wichtig ist, hier trivial.

208 Wir können ohne Beschilbertraumänkung der Allgemeinheit annehmen, dass die Basis or-  
 209 thonormal ist, d.h.

$$\langle i|k\rangle = \delta_{ik} \quad (1.3)$$

210 dann gilt:  $\alpha_i = \langle i|\phi\rangle$  und wir haben allgemein:

$$|\phi\rangle = \sum_i \langle i|\phi\rangle |i\rangle \equiv \sum_i |i\rangle \langle i|\phi\rangle \quad (1.4) \quad \boxed{\text{z1}}$$

211 d.h.

$$\sum_i |i\rangle \langle i| = 1 \quad (1.5) \quad \boxed{\text{z2}}$$

212 Wenn ein vollständiges System nicht orthogonal ist, können wir es orthonormalisieren (Verfa-  
 213 von E. Schmidt):

$$\begin{aligned} |\tilde{\psi}_1\rangle &= \frac{1}{\|\psi_1\|} |\psi_1\rangle \\ |\hat{\psi}_2\rangle &= |\psi_2\rangle - \langle \tilde{\psi}_1|\psi_2\rangle |\tilde{\psi}_1\rangle; |\tilde{\psi}_2\rangle = \frac{1}{\|\hat{\psi}_2\|} \hat{\psi}_2 \\ &\vdots \\ |\hat{\psi}_N\rangle &= |\psi_N\rangle - \sum_{i=1}^{N-1} \langle \tilde{\psi}_i|\psi_N\rangle |\tilde{\psi}_i\rangle; |\tilde{\psi}_N\rangle = \frac{1}{\|\hat{\psi}_N\|} |\hat{\psi}_N\rangle \end{aligned} \quad (1.6)$$

214 Die neuen Vektoren

$$|\tilde{\psi}_1\rangle, |\tilde{\psi}_2\rangle, \dots, |\tilde{\psi}_N\rangle \quad (1.7)$$

215 bilden eine orthonormale Basis (vollständiges Orthonormalsystem **voS**)

216 **Strahl** Ein Strahl (ray) im  $\mathcal{H}$  ist der eindimensionale Unterraum von Vektoren, die sich  
 217 nur durch einen komplexen Faktor  $\alpha \neq 0$  unterscheiden. Normalerweise wählt man als den  
 218 Representatnten dieser Klasse den Vektor aus, der die Norm 1 hat.

219 **Direktes Produkt** Das direkte Produkt zweier Hilberträume,  $\mathcal{H}_A \otimes \mathcal{H}_B$  ist ein Hilbertraum,  
 220 der alle geordneten Paare  $|\psi\rangle_A, |\phi\rangle_B$  von Vektoren aus  $\mathcal{H}_A$  und  $\mathcal{H}_B$  und deren Summen  
 221 enthält. Das Skalarprodukt eines solchen Paares ist Produkt der Skalaarprodukte:

$$\langle (\langle \psi|_A \otimes \langle \phi|_B) | (|\chi\rangle_A \otimes |\xi\rangle_B) \rangle = \langle \psi|\chi\rangle_A \langle \phi|\xi\rangle_B \quad (1.8)$$

222 Am einfachsten werden die Eigenschaften über die Orthonormalbasen beschrieben: Seien  
 223  $\{|\psi_n\rangle_A\}$  und  $\{|\phi_n\rangle_B\}$  solche Ortonormalbasen. Dann ist

224  $|m, n\rangle_{AB} = |\psi_m\rangle_A \otimes |\phi_n\rangle_B$  eine Orthonormalbasis von  $\mathcal{H}_A \otimes \mathcal{H}_B$  mit dem Slalarprodukt

$$\langle m', n'|m, n\rangle_{AB} = \langle m'|m\rangle_A \langle n'|n\rangle_B = \delta_{m'm} \delta_{n'n} \quad (1.9)$$

225 Ein allgemeiner Zustand aus  $\mathcal{H}_A \otimes \mathcal{H}_B$  ist demnach:

$$|\chi\rangle_{AB} = \sum_{m,n} \alpha_{m,n} |m, n\rangle_{AB} \quad (1.10)$$

226 Für endlichdimensionale Hilberträume gilt:  $\dim(\mathcal{H}_A \otimes \mathcal{H}_B) = \dim(\mathcal{H}_A) \cdot \dim(\mathcal{H}_B)$

227 Das direkte Produkt lässt sich assoziativ auf  $N$  Hilbertraum erweitern

$$(\mathcal{H}_1 \otimes \mathcal{H}_2) \otimes \mathcal{H}_3 = \mathcal{H}_1 \otimes (\mathcal{H}_2 \otimes \mathcal{H}_3) \equiv \mathcal{H}_1 \otimes \mathcal{H}_2 \otimes \mathcal{H}_3 \quad (1.11)$$

228 und allgemein

$$\mathcal{H}_1 \otimes \mathcal{H}_2 \otimes \cdots \mathcal{H}_N \quad (1.12)$$

229 hat dann die Orthonormalbasis

$$|m_1, m_2 \cdots m_N\rangle = |m_1\rangle \otimes |m_2\rangle \otimes \cdots \otimes |m_N\rangle \quad (1.13)$$

230 Für endlichdimensionale Hilberträume gilt:

$$231 \dim(\mathcal{H}_1 \otimes \mathcal{H}_2 \otimes \cdots \mathcal{H}_N) = \dim(\mathcal{H}_1) \cdot \dim(\mathcal{H}_2) \cdots \dim(\mathcal{H}_N)$$

232 Im QC wird i. A. ein Hilbertraum betrachtet, der das direkte Produkt von  $N$  2-dimensionalen  
233 Hilberträumen ist (Qubits). Dieser beschreibt dann einen Raum von der Dimension  $2^N$ , d.h.  
234 die Zahl der Dimensionen wächst exponentiell mit der Zahl der Qubits.

235 **1.2.1.1.1 Beispiel für direkte Produkte in der QM** : Direkte Produkte von Hilber-  
236 träumen spielen in der Physik eine eminent wichtige Rolle.

237 Das vielleicht einfachste Beispiel dafür sind zwei Spin  $\frac{1}{2}$  Teilchen: Für ein Teilchen gibt  
238 es den 2-dim Hilbertraum  $\mathcal{H}_2$  mit z. B. den Basisvektoren  $|\uparrow_z\rangle, |\downarrow_z\rangle$ . Der Spin von 2  
239 Teilchen (z.B. Hülle des He-Atoms) wird in dem direkten Produkt  $\mathcal{H}_2 \otimes \mathcal{H}_2$  beschrieben. Ein  
240 Quantencomputer ist, zumindest zur Zeit, in einem direkten Produkt von  $N$  2-dimensionalen  
241 Hilberträumen realisiert.

### 242 **1.2.1.2 2)Lineare Operatoren**

243 Bemerkung: Meist nimmt man in der Physik Linearität an, um die Probleme zu vereinfachen,  
244 z.B. beim Hooke'schen Gesetz. Es ist bemerkenswert, dass in der QM lineare Operatoren eine  
245 fundamentale Rolle spielen. Nichtlinearitäten bei den Operatoren, die in den deduktiven Aufbau  
246 der QM eingehen, müssen, wenn überhaupts sehr sehr klein sein, da sie zu messbaren Abweichungen  
247 z. B. in der Atomphysik mit iHilberträumer ungeheuren Präzision führten. Auch für das QC is die  
248 Linearität der Operatoren wesentlich.

249 **A, B** ... Lineare Abb im in einem Raum, für unsre Zwecke ein Hilbertraum  $\mathcal{H}$  :  $\mathcal{H} \rightarrow \mathcal{H}$ .

$$\begin{aligned} \mathbf{A} : |\psi\rangle &\mapsto \mathbf{A}|\psi\rangle; & \mathbf{A}(\alpha|\psi_1\rangle + \beta|\psi_2\rangle) &= \alpha\mathbf{A}|\psi_1\rangle + \beta\mathbf{A}|\psi_2\rangle \\ (\mathbf{A} + \mathbf{B})|\psi\rangle &= \mathbf{A}|\psi\rangle + \mathbf{B}|\psi\rangle; & (\mathbf{A}\mathbf{B})|\psi\rangle &= \mathbf{A}(\mathbf{B}|\psi\rangle) \end{aligned}$$

250 Der **adjungierte** Operator  $\mathbf{A}^\dagger$  zu  $\mathbf{A}$  ist definiert durch:

$$\langle \mathbf{A}^\dagger \phi | \psi \rangle = \langle \phi | \mathbf{A} \psi \rangle \quad (1.14)$$

251 Ein Operator ist **selbstadjungiert oder hermitisch**, wenn

$$\mathbf{A} = \mathbf{A}^\dagger \quad (1.15)$$

252 und **unitär** wenn

$$\mathbf{A}^{-1} = \mathbf{A}^\dagger \quad (1.16)$$

253 Ein unitärer Operator erhält das Skalarprodukt:

$$\langle \mathbf{A}\phi | \mathbf{A}\psi \rangle = \langle \mathbf{A}^\dagger \mathbf{A}\phi | \psi \rangle = \langle \mathbf{A}^{-1} \mathbf{A}\phi | \psi \rangle = \langle \phi | \psi \rangle \quad (1.17)$$

254 Ein Matrix-Operator  $\mathbf{A} = \begin{pmatrix} A_{11} & A_{12} & \cdots \\ A_{21} & A_{22} & \cdots \\ A_{31} & A_{32} & \cdots \\ \cdots & \cdots & \cdots \end{pmatrix}$

255 ist selbstadjungiert (hermitisch), wenn gilt  $A_{ik} = A_{ki}^*$

256 ist unitär wenn Zeilen und Spalten orthonormal sind:

257  $\sum_k A_{ki}^* A_{kl} = \delta_{il}$  und  $\sum_k A_{ik}^* A_{lk} = \delta_{il}$

258 Ein **Projektionsoperator**  $\mathbf{P}_\psi = |\psi\rangle\langle\psi|$  is die Abbildung auf ein Element des Hilbertraum:

$$\mathbf{P}_{|\psi\rangle} : |\phi\rangle \mapsto \langle\psi|\phi\rangle |\psi\rangle \quad (1.18) \quad \boxed{\text{project}}$$

## 259 **Eigenwerte und die Spektraldarstellung**

260 Ist die Wirkung eines Operators  $\mathbf{E}$  auf einen Zustand  $|\psi\rangle$  eine Multiplikation mit der Zahl  
261  $E$ , d.h.

$$\mathbf{E}|\psi\rangle = E|\psi\rangle \quad (1.19)$$

262 dann heisst  $|\psi\rangle$  Eigenvektor von  $\mathbf{E}$  und  $E$  Eigenwert. Gibt es meHilberträumere linear un-  
263 abhängige Eigenvektoren zu dem gleichen Wert von  $E$ , so ist der Zustand entartet. Sind  
264 ein oder meHilberträumere Eigenwerte entartet, so können die zugehörigen Eigenvektoren  
265 orthonormalisiert werden, z. B. nach E.Schmidt, (I.6).

266 Eine der Grundlagen der QM ist die Spektraldarstellung:

267 **Die Eigenvektoren eines (beschränkten) unitären Operators bilden eine Ortho-  
268 normalbasis** <sup>7</sup>

269 Danach lässt sich jeder Vektor aus  $\mathcal{H}$  als Summe von der Eigenvektoren darstellen:  $|\phi\rangle$  mit  $\mathbf{E}|\phi\rangle =$   
270  $E_n|\phi\rangle$  darstellen:

$$|\phi\rangle = \sum_n \rho_n |n\rangle \quad \text{with } \rho_n = \langle n|\phi\rangle \quad (1.20)$$

271 Im allgemeinen ist die Summe unendlich, in Anwendungen des QC aber endlich.

272 Man kann den Operator  $\mathbf{E}$  darstellen als die Summe von Projektionsoperatoren auf die  
273 Eigenvektoren:

$$\mathbf{E} = \sum_n E_n |n\rangle\langle n| \quad (1.21) \quad \boxed{\text{sd}}$$

274 Denn  $\mathbf{E}|\phi\rangle = \sum_n \langle n|\phi\rangle \mathbf{E}|n\rangle = \sum_n E_n |n\rangle\langle n|\phi\rangle$

<sup>7</sup>Viele wichtige Operatoren der QM sind nicht beschränkt und dann muss die Spektraldarstellung erweitert werden, z. B. durch Distributionen im Gelfandschen Raumtrippel. Beispiele sind die Eigendistribution des Ortsoperators,  $\delta(x-a)$  oder des Impulsoperators  $e^{ipx}$ .

275 Das **direkte Operatorprodukt**  $\mathbf{M}_A \otimes \mathbf{N}_B$  wirkt im direkten Produkt  $\mathcal{H}_A \otimes \mathcal{H}_B$ :

$$(\mathbf{M}_A \otimes \mathbf{N}_B)(|\psi\rangle_A \otimes |\phi\rangle_B) = \mathbf{M}_A|\psi\rangle_A \otimes \mathbf{N}_B|\phi\rangle_B \quad (1.22)$$

276 Auch das direkte Operatorprodukt lässt sich assoziativ erweitern, ganz analog zum direkten  
277 Produkt der Hilberträume.

278 Es wirkt dann auf die Basisvektoren des entsprechenden direkten Produktes der Hilber-  
279 träume:

$$\mathbf{A}_1 \otimes \mathbf{A}_2 \otimes \cdots \otimes \mathbf{A}_N |m_1, m_2 \cdots m_N\rangle = \mathbf{A}_1 |m_1\rangle \otimes \mathbf{A}_2 |m_2\rangle \otimes \cdots \otimes \mathbf{A}_N |m_N\rangle \quad (1.23)$$

### 280 Matrixdarstellung von Operatoren

281 Man kann die Koeffizienten der Entwicklung nach einem einem voS  $\{|1\rangle, \dots, |n\rangle, \dots, |N\rangle\}$   
282 als Koordinaten kartesischer Vektoren mit komplexen Koordinaten wählen,

$$|\psi\rangle = \sum_n^N \langle n|\psi\rangle |n\rangle \Leftrightarrow \begin{pmatrix} \langle 1|\psi\rangle \\ \langle 2|\psi\rangle \\ \vdots \\ \langle N|\psi\rangle \end{pmatrix} \equiv \begin{pmatrix} \psi_1 \\ \psi_2 \\ \vdots \\ \psi_N \end{pmatrix} \quad (1.24)$$

283 In der Koordinatendarstellung ist ein linearer Operator eine Matrix:

$$\mathbf{A} \Leftrightarrow \begin{pmatrix} \langle 1|\mathbf{A}1\rangle & \langle 1|\mathbf{A}2\rangle & \cdots & \langle 1|\mathbf{A}N\rangle \\ \langle 2|\mathbf{A}1\rangle & \langle 2|\mathbf{A}2\rangle & \cdots & \langle 2|\mathbf{A}N\rangle \\ \vdots & \vdots & \vdots & \vdots \\ \langle N|\mathbf{A}1\rangle & \langle N|\mathbf{A}2\rangle & \cdots & \langle N|\mathbf{A}N\rangle \end{pmatrix} \equiv \begin{pmatrix} A_{11} & A_{12} & \cdots & A_{1N} \\ A_{21} & A_{22} & \cdots & A_{2N} \\ \vdots & \vdots & \vdots & \vdots \\ A_{N1} & A_{N2} & \cdots & A_{NN} \end{pmatrix} \quad (1.25)$$

$$\text{Bew: } \langle k|\mathbf{A}|\psi\rangle = \langle k|\mathbf{A} \underbrace{\sum_n |n\rangle \langle n|}_{\mathbf{I}} |\psi\rangle = \sum_n A_{kn} \psi_n$$

284 Die Matrizen die von einem Operator  $\mathbf{A}$  durch zwei verschiedene voS erzeugt werden, sind  
285 unitär ähnlich, da zwei verschiedene voS eines Raumes durch eine unitäre Operation ver-  
286 knüpft sind.

287 Bew. A) Seien  $\{|k\rangle_R\}$  und  $\{|k\rangle_S\}$  zwei verschiedene voSe. Sei  $|k\rangle_R = \mathbf{W}|k\rangle_S$

288 Dann gilt  ${}_R\langle j|k\rangle_R = {}_S\langle j|W^\dagger|W|k\rangle_S = \delta_{jk}$  Daraus folgt  $W^\dagger W = \mathbf{I}$ , d.h.  $W$  ist unitär.

$${}_R\langle j|\mathbf{A}|k\rangle_R = {}_S\langle j|W^\dagger \mathbf{A} W|k\rangle_S \quad (1.26)$$

289 In der Produktbasis zweier (oder mehr) Hilberträume verlangt eine Darstellung  
290 der Operatoren als Matrizen (2-fach indizierte Tensoren) eine lineare Anordnung der Vektoren,  
291 z.B. nach dem Diagonalschema. Dies hatten wir schon in der letzten Stunde bei Herrn

292 Marquard gesehen, z.B. wenn bei  $|m, n\rangle$  die erste Basis  $|m\rangle = \begin{pmatrix} p_0 \\ p_1 \end{pmatrix}$  und die zweite  
 293  $|n\rangle = \begin{pmatrix} q_0 \\ q_1 \end{pmatrix}$ , dann

$$\begin{pmatrix} p_0 \\ p_1 \end{pmatrix} \otimes \begin{pmatrix} q_0 \\ q_1 \end{pmatrix} = \begin{pmatrix} p_0 q_0 \\ p_0 q_1 \\ p_1 q_0 \\ p_1 q_1 \end{pmatrix} \quad (1.27)$$

294 Es gibt aber auch dem Problem angemessenere Darstellungen, z. B. die Computatorische  
 295 Basis, die wir noch ausführlich betrachten werden.

296 **1.2.1.2.1 Spur** . Die Spur einer Matrix ist die Summe über die Diagonalelemente:

$$\text{Tr}(\mathbf{A}) = \sum_k A_{kk} = \sum_k \langle k | \mathbf{A} | k \rangle \quad (1.28)$$

297 Die Spur ist zyklisch, wie man leicht nach Hilberträumechnet.

$$\text{Tr}(\mathbf{A} \mathbf{B} \mathbf{C}) = \sum_{ikm} A_{ik} B_{km} C_{mi} = \sum_{ikm} C_{mi} A_{ik} B_{km} = \text{Tr}(\mathbf{C} \mathbf{A} \mathbf{B}) \quad (1.29)$$

298 Daraus folgt: Die Spur ist vom gewählten voS unabhängig. Denn zwei voSe,  $\{|k_{(R)}\rangle\}$ ,  $\{|j_{(S)}\rangle\}$   
 299 sind durch einen unitäre Operator verbunden, d.h.

$$\text{Tr}_R \mathbf{A} = {}_R \langle j | \mathbf{A} | j \rangle_R = {}_S \langle j | W^\dagger \mathbf{A} W | j \rangle_S = \text{Tr}_S \mathbf{W}^\dagger \mathbf{A} \mathbf{W} = \text{Tr}_S \mathbf{W} \mathbf{W}^\dagger \mathbf{A} = \text{Tr}_S \mathbf{A} \quad (1.30)$$

300 **Funktionen von Operatoren** Wenn eine Funktion eine Reihenentwicklung besitzt, so kann  
 301 eine Funktion von Operatoren über diese Reihenentwicklung definiert werden.

$$f(x) = \sum_n f_n x^n \rightarrow f(\mathbf{A}) = \sum_n f_n \mathbf{A}^n \quad (1.31)$$

302 Ist  $\mathbf{A}$  selbstadjungiert und hat daher ein voS von Eigenvektoren  $|n\rangle$ , s. (I.21) mit den  
 303 Eigenwerten  $a_n$ , dann kann man die Operatorfunktion über:  $f(\mathbf{A})|n\rangle = f(a_n)|n\rangle$  auch ohne  
 304 Reihendarstellung definieren.

$$f(\mathbf{A})|\phi\rangle = f(\mathbf{A}) \sum_n \langle n | \phi \rangle |n\rangle = \sum_n f(a_n) \langle n | \phi \rangle |n\rangle \quad (1.32)$$

305 Man kann daraus die wichtige Beziehung herleiten: Die Exponentialfunktion von  $i$  mal einem  
 306 sa. Operator ist ein unitärer Operator.

307 Sei  $\mathbf{E}^\dagger = \mathbf{E}$ . Dann ist  $\mathbf{U} = e^{i\mathbf{E}}$  ein unitärer Operator.

## 308 1.2.2 Mathematisch deduktiver Aufbau der QM.

309 Für das QC ist der **mathematische Aufbau der QM** entscheidend. Seine Grundzüge  
310 gehen weitgehend auf den grossen Mathematiker und Mitbegründer der Informatik, John  
311 von Neumann (1903-1957) zurück. Dies braucht Ihnen abseits keineswegs Angst einzujagen,  
312 denn die Anwendungen im QC beruhen, zumindest in der gegenwärtigen Form, durchaus  
313 auf sehr einfachen mathematischen Modellen, im wesentlichen auf endlich dimensionalen  
314 Räumen.

315 Im wesentlichen können Sie im QC für Hilbertraum stets endlich dimensionalen Cartesische  
316 Raum über den komplexen Zahlen setzen und für Operatoren Matrizen (Matrizes, Matrices).

317 Da ich von einer Kenntnis der theoretischen QM (z.B. Theorie 4) ausgehe und ich nicht  
318 möchte, dass sie sich gleich langweilen, beginne ich unmittelbar mit dem deduktiven Auf-  
319 bau der sich vielleicht von dem der üblichen Vorlesung nicht in der Sache, wohl aber in  
320 der Anordnung unterscheidet. Allerdings wird auch nicht die grösstmögliche Allgemeinheit  
321 angestrebt, aber auf mögliche Verallgemeinerungen hinweisen.

322 Eine der überzeugendsten Darlegungen des mathematischen Aufbaus der QP ist immer noch  
323 das Originalwerk John von Neumann's von 1932!!.

324 **1** **Observable** werden in der Quantenphysik durch eine Algebra selbstadjungierter  
linearer Operatoren in einem Hilbertraum beschrieben.  
Die möglichen Messwerte von Observablen sind die Eigenwerte dieser Operatoren.

Ein **Zustand** wird in der QP durch einen selbstadjungierten, positiven Operator  
 $\rho$  im Hilbertraum mit der Spur 1 beschrieben (s. Sect. 1.7.7). Dieser Operator heisst  
"Dichtematrix" oder "statistischer Operator".

Der **Erwartungswert** einer Observablen  $\mathcal{O}$  ist eine lineare Abbildung des Produktes  
von Zustand mit Observabler auf die reellen Zahlen:

325 **2** 
$$\langle \mathcal{O} \rangle = \text{Tr} \rho \mathcal{O} = \sum \langle \psi_m | \rho \mathcal{O} | \psi_m \rangle; \quad \text{Tr} \rho = \sum \langle \psi_m | \rho | \psi_m \rangle = 1; \quad (1.33) \quad \text{ew}$$

wobei  $\{ \dots | \psi_m \rangle \dots \}$  ein **beliebiges** voS in  $\mathcal{H}$  ist.

Ist der statistische Operator ein Projektionsoperator auf einen normierten Hilber-  
traum Vektor  $|\phi\rangle$ ,  $\rho = \mathbf{P}_\phi = |\phi\rangle\langle\phi|$ , dann nennt man diesen Zustand einen reinen  
Zustand, der durch den Hilbertraum Vektor  $|\phi\rangle$  beschrieben wird.

### 326 Anmerkungen

#### 327 Zu 1:

328 Im Vergleich dazu: In der klassischen Physik werden Observable und Zustände werden durch  
329 (verallgemeinerte) **Funktionen** beschrieben.

330 Natürlich müssen sowohl die Operatoren in der QP als auch die Funktionen in der klassischen  
331 Physik näher spezifiziert werden. Allgemein gilt in der klassischen Physik: (Verallgemeinerte)  
332 Funktionen auf dem Phasenraum, z.B.  $E = \frac{p^2}{2m}$  für die kinetische Energie.  $\delta(q - q_0) \delta(p - p_0)$   
333 für einen Massenpunkt,  $\frac{1}{Z} e^{-E(p,q)/kT}$  für ein kanonisches Ensemble,

334 In der QP gilt allgemein : Die Operatoren der QP müssen Elemente einer  $C^*$  Algebra sein.

Wir verzichten hier auf die grösstmögliche Allgemeinheit und wir verwenden, wie oben bereits getan: Operatoren in einem Hilbertraum. Beim QC auftretende Hilberträume sind sogar noch besonders einfach, sie sind i. A. endlich dimensional und die Operatoren sind endlich dimensionale selbstadjungierte Matrizen.

Ein wesentlicher Unterschied zwischen klassischer und Quanten-Physik besteht darin, dass die Observablen in der KP miteinander vertauschen. Ob ich erst den Impuls messe und dann den Ort ist gleichgültig, da Funktionen miteinander vertauschen:  $g(x) \cdot h(x) = h(x) \cdot g(x)$ . Dies gilt nicht in der QP, s. Abs. ??.

**Zu 2:**

Die im QC auftretenden Operatoren sind i. A. endlich dimensionale Matrizen.

Oft wird der statistische Operator in der QM auf Kosten der "reinen Zustände" etwas stiefmütterlich behandelt, daher einige Anmerkungen.

Da der statistische Operator selbstadjungiert ist, gibt es ein voS  $|\psi_n\rangle$  in dem er auch diagonal ist, d.h.

$$\langle \psi_n | \mathbf{O} | \psi_m \rangle = p_n \delta_{nm} \leftrightarrow \mathbf{O} = \sum_n p_n |\psi_n\rangle \langle \psi_n| \quad (1.34)$$

mit  $p_n \geq 0$ ,  $\sum_n p_n = 1$  Der Operator  $\mathbf{P}_n = |psi_n\rangle \langle \psi_n|$  ist ein Projektionsoperator auf  $|\psi_n\rangle$  denn

$$\mathbf{P}_n |\phi\rangle = \langle \psi_n | \phi \rangle |\psi_n\rangle \quad (1.35)$$

**Beispiele:** Beim Spin  $\frac{1}{2}$  sind die reinen Zustände beschrieben durch Spinoren, etwa  $\chi_+ = \begin{pmatrix} 1 \\ 0 \end{pmatrix}$  oder  $\chi_- = \begin{pmatrix} 0 \\ 1 \end{pmatrix}$ . Ein allgemeiner Zustand ist dagegen ein unpolarisiertes Gemisch

von + und - Zuständen, beschrieben durch den statistischen Operator  $\rho = \begin{pmatrix} \frac{1}{2} & 0 \\ 0 & \frac{1}{2} \end{pmatrix}$ .

Der statistische Operator für den reinen Zustand  $\chi_- = \begin{pmatrix} 0 \\ 1 \end{pmatrix}$  ist der statistisch Operator

$\rho = \begin{pmatrix} 0 & 0 \\ 0 & 1 \end{pmatrix}$ , der Projektionsoperator auf den Zustand  $\chi_-$ .

Besonders wichtig ist der statistische Operator in der Quantenstatistik. Hier wird das System aufgespalten in ein Wärmebad der Temperatur  $T$  und das untersuchte System, z. B. Gasmoleküle in einem festen Volumen). Der statistische Operator ist bei fester Temperatur  $T$  (kanonisches Ensemble) durch den Hamiltonoperator (Energie-Operator)  $\mathbf{H}$  gegeben:

$$\rho = \exp[-\mathbf{H}/(k_B T)] / Z \quad (1.36)$$

$k_B$  ist die Boltzmannkonstante,  $Z = Tr \exp[-\mathbf{H}/(k_B T)]$ , ist die "Zustandssumme".

In der klassischen Mechanik entspricht dem statistischen Operator eine (ausgedehnte) Verteilungsfunktion im Phasenraum, dem reinen Zustand dagegen  $\delta$ -Funktionen.

Da besonders im QC die Zusammensetzung von Systemen (Qubits) eine grosse Rolle spielt, wollen wir auch das folgende Axiom separat einführen:

365 **3** Wird ein System durch den Hilbertraum  $\mathcal{H}_A$  und ein anderes durch den Hilbertraum  $\mathcal{H}_B$  beschrieben, dann wird das Gesamtsystem durch das direkte Produkt  $\mathcal{H}_A \otimes \mathcal{H}_B$  beschrieben.

366 **Anmerkungen:** Wir werden später nochmals ausführlich auf zusammengesetzte Systeme eingehen, besonders im Zusammenhang mit Verschränkung (*entanglement*) und Dekohärenz.  
367  
368 Es werden hier nur einige vertraute Beispiele aus der QM gebracht.

369 Bsp: Sind wir nur an den Atomspektren interessiert, so werden nur die Elektronen quantenmechanisch beschrieben. Der Kern wird als eine klassische Größe behandelt. Wollen wir  
370 allerdings das ganze Atom beschreiben, müssen wir auch noch die Bestandteile des Kerns,  
371 die Nukleonen quantenmechanisch beschreiben. Das gesamte Atom wird also in dem Produktraum  $\mathcal{H}_{\text{Nukleonen}} \otimes \mathcal{H}_{\text{Elektronen}}$  beschrieben.  
372  
373

374 Die Behandlung zusammengesetzter Systeme in der QM ist analog zur klassischen Mechanik.  
375 Ein Massenpunkt wird dargestellt dort als ein Punkt im 6-dimensionalen Phasenraum  $R_6$   
376 (3 Orts, 3 Impulskoordinaten); für zwei Massenpunkte benötigt man den 12-dimensionalen  
377 Phasenraum  $R_{12} = R_6 \otimes R_6$ .

378 **4** Bei einer **Messung** der Observablen  $\mathcal{O}$  geht ein reiner Zustand  $|\phi\rangle$  in einen Eigenzustand der Observablen  $|\psi_n\rangle$  über d.h.  $\mathcal{O}|\psi_n\rangle = O_n|\psi_n\rangle$ , das Ergebnis der Messung ist dann  $O_n$  (Reduktion der Wellenfunktion). Die Wahrscheinlichkeit für diesen Übergang ist  $|\langle\psi_n|\phi\rangle|^2$ . Ein Dichteoperator geht in einen Projektionsoperator  $P_{|\psi_n\rangle} = |\psi_n\rangle\langle\psi_n|$  über.

379 **Anmerkungen:**

380 Weitere Formulierungen und Erweiterungen des Axioms zur Messung werden, der Vollständigkeit halber, am Ende aufgeführt.  
381

Die **zeitliche Entwicklung** (Dynamik) eines Systems von der Zeit  $t$  bis  $t'$  wird durch einen unitären Operator

382 **5** 
$$\mathbf{U}(t, t') = e^{i(t'-t)\mathbf{H}/\hbar} \quad (1.37) \quad \boxed{\text{zt}}$$

beschrieben. Der selbstadjungierte Operator  $\mathbf{H}$  heisst der Hamiltonoperator (Energieoperator) des Systems.

383 Auch hierauf gehen wir im Abschnitt <sup>aa</sup>1.2.3 ausführlicher ein.

384 Das vielleicht wichtigste physikalische Prinzip zu einer Konstruktion von Hamiltonoperatoren  
385 QM ist das:

386 **6** **Korrespondenzprinzip** Man erhält quantenmechanische Observablen aus klassischen, indem man die klassischen dynamischen Variablen durch QM Operatoren ersetzt.

387 Die drei Orts- und drei Impulsoperatoren eines Teilchen erfüllen die Vertauschungsrelationen:

$$[\mathbf{Q}_j, \mathbf{Q}_k] = 0; \quad [\mathbf{P}_j, \mathbf{P}_k] = 0; \quad [\mathbf{P}_j, \mathbf{Q}_k] = -i\hbar \delta_{kl} \quad (1.38) \quad \boxed{\text{vt}}$$

388 So ist z.B. der Hamiltonoperator für das Elektron im Wasserstoffatom:

$$\mathbf{H} = \frac{1}{2m} \vec{\mathbf{P}}^2 + \frac{e^2}{|\vec{\mathbf{Q}}|} \quad (1.39) \quad \boxed{\text{HHop}}$$

389 Wie bereits erwähnt, hat bei einem Mehrteilchenproblem jedes Teilchen “seinen eigenen  
390 Hilbertraum” und der Hilbertraum für das Gesamte System ist das direkte Produkt der  
391 Hilberträume.

392 **1.2.2.0.1 Verallgemeinerung der mathematischen Beschreibung des Messprozesses**  
393 Für viele realisierbaren Messungen ist das Messaxiom in der Form 4 nicht erfüllt.  
394 Bei Messungen von Photonen überlebt das Photon den Messprozess i.A. nicht. Im Pho-  
395 tomultiplier werden sie z. B. dadurch nachgewiesen, dass sie absorbiert werden. Erst durch  
396 die Präzisionsmessungen von Laroche (Nobelpreis 2012) konnten Photonen “zerstörungsfrei”  
397 nachgewiesen werden. Der Messprozess spielt auch im QC eine wichtige Rolle, deswegen wer-  
398 den hier zwei weitere, etwas weitergefasste Versionen des Messaxioms 4 zitiert (s. NC, p.84ff),  
399 die insbesondere auch Nachweise durch Absorption beschreiben.

400 **4’** Jedem Messwert  $m$  ist ein Messoperator  $\mathbf{M}_m$  zugeordnet. Messungen in der QM  
werden durch eine Ansammlung von  
**Mess – Operatoren**  $\{\mathbf{M}_m\}$  mit  $\sum \mathbf{M}_m^\dagger \mathbf{M}_m = \mathbf{I}$  (1.40)  
beschrieben.

401 Der Messwert für einen Zustand  $|\phi\rangle$  nimmt mit einem durch  $m$  indizierten Wert mit der  
402 Wahrscheinlichkeit

$$p(m) = \langle \phi | \mathbf{M}_m^\dagger \mathbf{M}_m | \phi \rangle \quad \text{an} \quad (1.41)$$

403 Der Zustand ist nach der Messung

$$\frac{\mathbf{M}_m |\phi\rangle}{\sqrt{\langle \phi | \mathbf{M}_m^\dagger \mathbf{M}_m | \phi \rangle}} \quad (1.42)$$

404 Die alternative Fassung des Mess-Axioms, 4’ lässt es z.B. zu, dass der Zustand nach der  
405 Messung ganz verschwunden ist, z. B. ein Photon im Photomultiplier. Die projektive Messung  
406 in (3) ist demnach ein Spezialfall: Die Messoperatoren für die Observable des sa. Operators  
407  $\mathbf{E}$  sind seine Eigenwerte von Eigenwert  $E_m$ :

$$\mathbf{E} |\Psi_m\rangle = e_k |\Psi_m\rangle \quad (1.43)$$

408 Wegen der Vollständigkeit der Eigenwerte gilt:

$$\sum \mathbf{P}_m = 1 \quad \text{mit} \quad \mathbf{P}_m = |\Psi_m\rangle \langle \Psi_m| \quad (1.44)$$

409 Damit sind die Messoperatoren  $\mathbf{M}_m$  gleich den Projektionsoperatoren auf die Eigenzustände.

410 Für die quantitative probabilistische Interpretation der Messung selbst ist nur das Produkt  
 411  $\mathbf{M}_m^\dagger \mathbf{M}_m$  nötig, der Einzeloperator  $\mathbf{M}$  nur zur Bestimmung des Endzustandes. Verzichtet  
 412 man auf diese Information, so reicht das Produkt  $\mathbf{M}_m^\dagger \mathbf{M}_m$  aus. Dies führt zu einer weiteren  
 413 Fassung, dem POVM- Mess-Axiom:

414 **4''** **POVM (Positive, operatorvalued measure)** Seien  $\mathbf{V}_m$  positive Operatoren mit  
 $\sum_m \mathbf{V}_m = 1$ , dies sind die „operatorwertigen Masse“. Der Messwert für einen Zu-  
 stand  $|\phi\rangle$  nimmt einen durch  $m$  indizierten Wert mit der Wahrscheinlichkeit

$$p(m) = \langle \phi | \mathbf{V}_m \phi \rangle \text{ an} \tag{1.45}$$

415 Wir können uns die Ansammlung der Projektionsoperatoren  $\mathbf{P}_k = |\Psi_k\rangle\langle\psi_k|$  aus Axiom 4,  
 416 die der Messoperatoren  $M_m$  aus Axiom 4' oder die der Operatorwertigen Masse  $V_m$  von 4''  
 417 als ein Spektrometer vorstellen das den zu messenden Zustand nach gewissen vorgegebenen  
 418 Werten sortiert.

419 Diese Verallgemeinerung gilt auch, wie oben erwähnt, noch für solche Messprozesse, bei  
 420 denen der gemessene Zustand nach der Messung überhaupt nicht mehr vorhanden ist, wie  
 421 dies z. B. beim Nachweis eines Photons i. A. der Fall ist.

422 Allerdings reicht, streng genommen zur Behandlung von Emission und Absorption die übliche  
 423 Quantenmechanik nicht aus, man muss daher diese zur Quantenfeldtheorie erweitern. Wie die  
 424 Quantenmechanik, insbesondere die Vertauschungsrelationen, auf der "höheren" Mechanik

### aa5 1.2.3 Anmerkungen zu den Axiomen der QP

426 Die Grundlage für das Verständnis der Quantenmechanik geht auf die statistische Inter-  
 427 pretaion durch Max Born <sup>8</sup> zurück, sie wird im allgemeinen die "Kopenhagener Deutung"  
 428 genannt. Bedeutend war Heisenbergs DIE PHYSIKALISCHEN PRINZIPIEN DER QUANTEN-  
 429 MECHANIK <sup>9</sup>. Die mathematisch-axiomatische Fassung geht auf den Mathematiker John von  
 430 Neumann <sup>10</sup> zurück. Die kurzen Bemerkungen hier sollen die rein axiomatische Formulierung  
 431 aus vorigem Absatz etwas erweitern und vertiefen.

#### 432 1.2.3.1 Spektralsatz und Unschärfe

433 In der Anwendung der QM auf die Atomphysik betrachtet man meist nur isolierte Systeme  
 434 und daher reine Zustände und interessiert sich für Observable und die zeitliche Entwicklung.  
 435 Insbesondere das Spektrum der Eigenwerte und die zeitliche Entwicklung wird betrachtet.

436 In der Festkörperphysik ist oft die Wechselwirkung mit einem anderen System entscheidend,  
 437 (z.B. einem Wärmebad) und man betrachtet den statistischen Operator, der z.B. für ein  
 438 System im Wärmebad die Form hat:  $\rho = \frac{1}{Z} e^{-\mathbf{H}/(k\mathbf{T})}$ ,  $Z = \text{Sp} (e^{-\mathbf{H}/(k\mathbf{T})})$

<sup>8</sup>Max Born: Zur Quantenmechanik der Stoßvorgänge. In: ZeitsHilbertraum für Physik. Band 37, Nr. 12, 1926, S. 863–867, doi:10.1007/BF01397477

<sup>9</sup>Leipzig, Hirzel 1930

<sup>10</sup>Johann v. Neumann, MATHEMATISCHE GRUNDLAGEN DER QUANTENMECHANIK, Springer 1932

439 Aus dem Mess-Axiom (3) folgt direkt: Der Erwartungswert von  $\mathbf{E}$  ist für einen Zustand  $|\phi\rangle$   
 440 gegeben durch

$$\langle \mathbf{E} \rangle = \langle \phi | \mathbf{E} | \phi \rangle. \quad (1.46)$$

441 Zwei Messgrößen können nur gleichzeitig scharf gemessen werden, wenn die Operatoren der  
 442 Observablen kommutieren. Eine direkte Konsequenz der grundlegenden Vertauschungsrela-  
 443 tion von Impulsoperator  $\mathbf{P}$  und Ortsoperator  $\mathbf{Q}$

$$[\mathbf{P}, \mathbf{Q}] = i\hbar \quad (1.47)$$

444 ist, dass Ort und Impuls prinzipiell nicht gleichzeitig scharf gemessen werden können (Hei-  
 445 senbergsche Unschärferelation).

446 Die meisten in der Physik auftretenden Operatoren sind nicht beschränkt und haben i.a.  
 447 auch einen kontinuierlichen Bereich von Eigenwerten, das kontinuierliche Spektrum. Beim  
 448 H-Atom sind die gebundenen Zustände ( $E < 0$  diskret), aber für ein ungebundenes Elektron-  
 449 Proton-system ( $E \geq 0$ ) ist jeder Energiezustand möglich und messbar.



450  
 451 Glücklicherweise spielt das für die Theorie des QC keine Rolle, da hier die Oertoren endlich  
 452 dimensionale Matrizen sind.

### 453 1.2.3.2 Zeitliche Entwicklung

454 Die Zeitliche Entwicklung eines Systems wird nach 4' durch einen Unitären Operator  $\mathbf{U}(t, t') =$   
 455  $e^{i(t'-t)\mathbf{H}/\hbar}$  beschrieben. Die Unitarität des Operators garantiert die Erhaltung der Wahr-  
 456 scheinlichkeit und impliziert dass  $\mathbf{H}$  ein selbstadjungierter Operator ist:

$$\mathbf{U}^*(t, t') \cdot \mathbf{U}(t, t') = e^{-i(t'-t)\mathbf{H}^*/\hbar} e^{i(t'-t)\mathbf{H}/\hbar} = e^{-i(t'-t)(\mathbf{H}^* - \mathbf{H})/\hbar} = \mathbf{1} \quad (1.48)$$

457 woraus folgt:  $\mathbf{H}^* - \mathbf{H} = 0$ .

458 Wir beobachten also als die zeitabhängigkeit der Erwartungswerte von  $\mathbf{A}$ :

$$\langle \phi | e^{-i(t'-t)\mathbf{H}/\hbar} | \mathbf{A} | e^{+i(t'-t)\mathbf{H}/\hbar} | \phi \rangle \quad (1.49) \quad \boxed{\text{ze}}$$

459 Wir können nun die beobachtbare Zeitabhängigkeit des Erwartungswertes ( $\boxed{\text{ze}}$ ) entweder  
 460 einem Zeitabhängigen Operator zuschreiben (Heisenbergbild)

$$\mathbf{A}_t = e^{-it\mathbf{H}/\hbar} \mathbf{A} e^{+it\mathbf{H}/\hbar} \quad (1.50) \quad \boxed{\text{heis}}$$

461 oder auch einem zeitabhängigen Zustand zuschreiben (Schrödingerbild)

$$|\phi\rangle_t = e^{+it\mathbf{H}/\hbar} |\phi\rangle \quad (1.51) \quad \boxed{\text{sch}}$$

462 zuschreiben. Diese Transformation vom Schrödinger zum Heisenbergbild und umgekehrt war  
 463 wichtig zur Zeit der Entdeckung der QM, scheint aber heute recht offensichtlich.

464 Aus (I.51)<sup>Sch</sup> folgt unmittelbar die Schrödinger Gleichung:

$$-i\hbar\partial_t |\phi\rangle_t = \mathbf{H}e^{+it\mathbf{H}/\hbar}|\phi\rangle = \mathbf{H}|\phi\rangle_t \quad (1.52) \quad \boxed{\text{sch-a}}$$

465 sowie

$$-i\hbar\partial_t \mathbf{A}_t = -i\hbar\partial_t (e^{-it\mathbf{H}/\hbar} \mathbf{A} e^{+it\mathbf{H}/\hbar}) = -\mathbf{H} \mathbf{A}_t + \mathbf{A}_t \mathbf{H} = -[\mathbf{H}, \mathbf{A}] \quad (1.53) \quad \boxed{\text{heis-a}}$$

### 466 1.2.3.3 Zusammengesetzte Systeme und der statistische Operator

467 Ein isoliertes System in der Quantenmechanik ist eine Idealisierung, in der Realität wird  
 468 ein System stets mit der Umwelt stets in Kontakt sein. Dies gilt besonders für makrosko-  
 469 pische Systeme, wie z.B. eine Katze. Hier liegen die einzelnen Zustände des Systems so  
 470 nahe beisammen, dass schon die kleinste Wirkung von aussen das System beeinflusst (z.B.  
 471 Gravitationswellen).

472 Axiom 3 hilft uns aber, auch für nicht isolierte Systeme einige relevante Aussagen über  
 473 die Darstellung von Zuständen zu machen. Dazu betrachten wir 2 Systeme,  $A$  und  $B$  die  
 474 zusammengefasst isoliert sein sollen, d.h. Zustände in  $\mathcal{H}_{AB} = \mathcal{H}_A \otimes \mathcal{H}_B$  können als reine  
 475 Zustände betrachtet werden. Im folgenden sei

476  $|n_A\rangle \dots$  ein vollständiges orthonormalsystem in  $\mathcal{H}_A$  und  $|\nu_B\rangle \dots$  ein vollständiges orthonor-  
 477 malsystem in  $\mathcal{H}_B$

478 Jeder (reine) Zustand  $|\psi\rangle \in \mathcal{H}_{AB}$  lässt sich darstellen als

$$|\psi\rangle = \sum_{n,\nu} a_{n\nu} |n\rangle_A \otimes |\nu\rangle_B \quad \text{mit} \quad \sum_{n,\nu} \|a_{n\nu}\|^2 = 1 \quad (1.54) \quad \boxed{\text{rz}}$$

479 Wir wollen nun im System  $A$  die Observable  $\mathbf{M}_A$  messen, aber das System  $B$  nicht beachten.  
 480 Dann beobachten wir effektiv die Observable  $\mathbf{M}_A \otimes \mathbf{I}$  Der Erwartungswert dieser Observablen  
 481 ist

$$\langle \mathbf{M}_A \rangle = \langle \psi | \mathbf{M}_A \otimes \mathbf{I} | \psi \rangle \quad (1.55)$$

$$= \left( \sum_{n,\nu} a_{n\nu}^* \langle n | \otimes \langle \nu | \right) \mathbf{M}_A \otimes \mathbf{I}_B \left( \sum_{m,\mu} a_{m\mu} |m\rangle_A \otimes |\mu\rangle_B \right) \quad (1.56)$$

$$= \sum_{m,n,\mu,\nu} a_{n\nu}^* a_{m\mu} \langle n | \mathbf{M}_A | m \rangle_A \delta_{\nu\mu} \quad (1.57)$$

$$= \sum_{m,n,\mu} a_{n\mu}^* a_{m\mu} \underbrace{\langle m | m \rangle_A}_1 \langle n | \mathbf{M}_A | m \rangle_A \quad (1.58)$$

$$= \sum_{m,n} \underbrace{\langle m | \sum_{\mu} a_{n\mu}^* a_{m\mu} |m\rangle_A}_\rho_A \langle n | \mathbf{M}_A | m \rangle_A \quad (1.59)$$

$$= \text{Tr}_A(\rho_A \cdot \mathbf{M}_A) \quad (1.60)$$

$$\rho_A = \sum_{mn\mu} a_{m\mu} a_{n\mu}^* |m\rangle\langle n|_A \quad (1.61) \quad \boxed{\text{rho}}$$

482 Aus der Definition von  $\rho_A$  (<sup>lmat</sup>(1.54) oder <sup>rpro</sup>(1.54)) und aus (<sup>rz</sup>1.54) folgen die wichtigen Eigenschaften:

- 483 (A)  $\rho_A^\dagger = \rho_A$   
 484 (B)  $\forall \phi \in \mathcal{H}_A : \langle \phi | \rho_A \phi \rangle \geq 0$   
 485 (C)  $\text{Tr} \rho_A = 1$

486 Damit haben wir auch gesehen, dass die Beschreibung eines Zustandes durch den statistischen  
 487 Operator auch gültig ist, wenn ein System mit einem anderen (äusseren) in Verbindung steht,  
 488 dessen ähere Eigenschaften uns aber nicht interessieren (z.B. Wärmebad).

489 **1**, Ein Zustand wird durch einen Operator  $\rho_A$  mit den obigen Eigenschaften (A - C) beschrieben. Der Erwartungswert für eine Observable  $\mathbf{M}$  ist gegeben durch

$$\langle \mathbf{M} \rangle_A = \text{Tr} \rho_A \cdot \mathbf{M} \quad (1.62)$$

490 Ist der Hamiltonoperator für die Zustände im gemeinsamen Hilbertraum  $\mathcal{H}_A \otimes \mathcal{H}_B$  gegeben  
 491 durch  $\mathbf{H}_A \otimes \mathbf{H}_B$  so ist die zeitliche Entwicklung von  $\rho$  gegeben durch,

$$\rho_A(t) = e^{-i\mathbf{H}_A t} \rho_A e^{i\mathbf{H}_A t} \quad (1.63)$$

492 Daraus folgt das Analog zur Schrödingergleichung, s. <sup>heis-a</sup>1.53:

$$i\hbar \partial_t \rho_A(t) = [\mathbf{H}_A, \rho_A(t)] \quad (1.64)$$

493 Die Beschreibung durch reine Zustände ist auch darin enthalten, nämlich dann wenn der  
 494 statistische Operator  $\rho$  ein Projektionsoperator  $P_n$  auf einen Vektor  $n$  im Hilbertraum ist:

$$\rho = P_n \equiv |n\rangle\langle n| \quad (1.65) \quad \boxed{\text{rein}}$$

495 Der Erwartungswert eines s.a. Operators  $\mathbf{M}$ .

$$\text{Tr}(\rho_n \mathbf{M}) = \sum_i \langle m_i | n \rangle \langle n | \mathbf{M} | m_i \rangle \quad (1.66)$$

496 Wir wählen das orthonormalsystem so, dass ein Vektor  $|m_j\rangle = |n\rangle$  ist damit erhalten wir

$$\text{Tr}(\rho_n \mathbf{M}) = \sum_i \langle m_i | n \rangle \langle n | \mathbf{M} | m_i \rangle = \langle n | \mathbf{M} | n \rangle \quad (1.67)$$

497 d.h. der Erwartungswert für einen reinen Zustand.

498 **Diagonale Dichtematrix:** Da der statistische Operator  $\rho_A$  selbsadjungiert ist, lässt er  
 499 sich seine Matrix stets diagonalisieren, mit den Eigenwerten  $p_n$ . Sei  $|n\rangle$  das vonS in dem  $\rho$   
 500 diagonal ist, dann gilt:

$$\rho_A = \sum_n p_n |n\rangle\langle n| \quad (1.68)$$

501 d.h. der durch  $\rho_A$  beschriebene Zustand ist ein **Ensemble** von reinen Zuständen, die sich  
 502 mit der Wahrscheinlichkeit  $p_n$  im Zustand  $|n\rangle$  befinden.

503 Beim AC spielt der Hilbertraum, der das direkte Produkt von  $N$  2-dimensionalen Hilber-  
 504 träumen (Qubits) ist, eine besondere Rolle. In ihm ist das direkte Produkt der Basisvektoren  
 505 eine viel verwendete Basis (Computatorische Basis):

$$|i_N\rangle \otimes |i_{N-1}\rangle \otimes \cdots |i_1\rangle; \quad i_k = 0, 1 \quad (1.69)$$

## 1.2.4 Die Schmidt Darstellung

507 Für die Informatik ist es bequem Numerierungen mit 0 und nicht mit 1 zu beginnen.

508 Die Schmidt Darstellung gibt ein Mass für die Verschränkung eines Zustandes.

509 Seien  $\mathcal{H}_A$  und  $\mathcal{H}_B$  zwei Hilberträume. Ein Zustand  $|\psi\rangle_{AB} \in \mathcal{H}_A \otimes \mathcal{H}_B$  kann durch die voS  
 510  $|n\rangle_A \in \mathcal{H}_A$  und  $|\mu\rangle_B \in \mathcal{H}_B$  dargestellt werden als:

$$|\psi\rangle_{AB} = \sum_{n=0}^N \sum_{\mu=0}^M a_{n\mu} |\bar{n}\rangle_A \otimes |\mu\rangle_B = \sum_{\mu=0}^M a_{n\mu} |\mu\rangle_B \quad (1.70) \quad \text{rz2}$$

511 Allgemein gilt für die Partialspur in  $\mathcal{H}_B$  des Projektionsoperators  $|\psi\rangle_{ABBA}\langle\psi|$ :

$$\sum_{\nu} {}_B\langle\nu|\psi\rangle_{ABBA}\langle\psi|\nu\rangle_B \equiv \rho_A = \sum_{mn\mu,\mu',\nu} a_{r\mu} a_{s\mu}^* |\bar{r}\rangle_{AA}\langle\bar{s}| \delta_{\mu,\nu} \delta_{\mu',\nu} = \sum_{mn} A_{rs} |\bar{r}\rangle_{AA}\langle\bar{s}|; \quad (1.71) \quad \text{rz3}$$

512 mit  $A_{sr} = \sum_{\nu} a_{s\nu}^* a_{r\nu}$

513 Die Matrix gilt:  $\mathbf{A} = A_{mn}$  ist selbstadjungiert, d.h. es gibt eine unitäre Transformation  $\mathbf{U}$   
 514 in  $\mathcal{H}_A$  die  $\mathbf{A}$  diagonalisiert:

$$\mathbf{U} \mathbf{A} \mathbf{U}^\dagger = \begin{pmatrix} p_1 & 0 & 0 & \cdots \\ 0 & p_2 & 0 & \cdots \\ \vdots & \vdots & & \end{pmatrix}; \quad p_k \geq 0; \quad (1.72) \quad \text{diag}$$

515

$$\mathbf{U} \mathbf{U}^\dagger = \mathbf{U}^\dagger \mathbf{U} = \mathbf{I}; \quad \sum_m U_{mr}^* U_{ms} = \delta_{rs} \quad (1.73)$$

516 Die Zahl der von Null verschiedenen Eigenwerte der Matrix  $\mathbf{A}$  heisst Schmidt-Zahl,  $N_{Sch}$ ; sie  
 517 spielt für die Berechnung der Verschränkung, wie wir noch sehen werden, eine entscheidende  
 518 Rolle.

519 Wir führen nun die neue Basis  $|m\rangle_A$  ein, bezüglich derer  $\mathbf{A}$  diagonal ist die wir noch so  
 520 angeordnet haben, dass für alle  $m > N_{Sch}$  die Diagonalelemente  $p_m = 0$ .

$$|m\rangle_A = \sum_r U_{mr} |\bar{r}\rangle \quad (1.74) \quad \text{rtom}$$

521 Zum Übergang in diese Basis schieben in (1.73) die  $\mathbf{I} = \mathbf{U}^\dagger \mathbf{U}$  ein und erhalten:

$$\rho_A = \sum_{mn} A_{rs} |\bar{r}\rangle_{AA} \langle \bar{s}| \quad (1.75)$$

$$= \sum_{r',s',m,n} A_{sr} U_{mr}^* U_{mr'} U_{ns} U_{ns'}^* |\bar{r}'\rangle_{AA} \langle \bar{s}'| \quad (1.76)$$

$$= \sum_{m,n,s,r} U_{mr}^* U_{ns} A_{sr} |m\rangle_{AA} \langle n| \quad (1.77)$$

$$= \sum_{m=0}^{N_{Sch}} p_m |m\rangle_{AA} \langle m| \quad (1.78)$$

522 wobei wir beim letzten Schritt (1.72) <sup>diag</sup> benutzt und alle verschwindenden Terme ( $p_k = 0$ )  
523 weggelassen haben.

524 Wir nutzen die Umkehrung von (1.71) <sup>tom</sup>, nämlich

$$|\bar{r}\rangle = \sum_{m=0}^{N_{Sch}} U_{mr}^* |m\rangle_A \quad (1.79)$$

525 aus und erhalten für den Ausgangszustand  $|\psi\rangle_{AB}$  in der neuen (i. A. nicht vollständigen)  
526 Basis  $|m\rangle_A$

$$|\psi\rangle_{AB} = \sum_{r,\mu} a_{r\mu} |\bar{r}\rangle_A \otimes |\mu\rangle_B \quad (1.80)$$

$$= \sum_{\mu,r,m} a_{r\mu} U_{mr}^* |m\rangle_A \otimes |\mu\rangle_B \quad (1.81)$$

$$= |m\rangle_A \otimes |\hat{m}\rangle_B \quad (1.82)$$

527 wobei  $|\hat{m}\rangle_B = \sum_{\mu,r} a_{r\mu} U_{mr}^* |\mu\rangle_B$ . Es gilt:

$$\langle \hat{n} | \hat{m} \rangle_B = \sum_{r,\mu,r',\mu'} a_{r\mu} U_{mr}^* a_{r'\mu'}^* U_{nr'} \delta_{\mu'\mu} = p_m \delta_{nm} \quad (1.83)$$

528 wobei wieder (1.72) <sup>diag</sup> benutzt wurde.

529 Wir normalisieren  $|\hat{m}\rangle_B$ :

$$|\tilde{m}\rangle_B = \frac{1}{\sqrt{p_m}} |\hat{m}\rangle_B = \frac{1}{\sqrt{p_m}} \sum_{\mu,r} a_{r\mu} U_{mr}^* |\mu\rangle_B \quad (1.84)$$

530 und erhalten damit die **endgültige Form der Schmidt Darstellung** für einen Zustand  
531  $|\psi\rangle_{AB} \in \mathcal{H}_A \otimes \mathcal{H}_B$ :

$$|\psi\rangle_{AB} = \sum_{m=0}^{N_{Sch}} \sqrt{p_m} |m\rangle_A \otimes |\tilde{m}\rangle_B \quad (1.85) \quad \boxed{\text{sche}}$$

532 Ein Zustand ist verschränkt, wenn die Schmidt-Zahl  $N_{Sch}$  grösser als 1 ist, d.h. wenn die  
533 Matrix  $\mathbf{A}$ ,  $A_{sr} = \sum_{\nu} a_{s\nu}^* a_{r\nu}$ , s. (1.71) <sup>r23</sup>, mindestens 2 Eigenwerte ungleich Null hat.

534 Die Zustände  $|m\rangle_A$ , die in der Schmidt-Darstellung auftreten, sind so gewählt, dass sie au  
 535 einer diagonalen Dichtematrix in  $\mathcal{H}_A$  führen:

$$\rho_A = \sum_{m=0}^{N_{Sch}} p_n |m\rangle_A \langle m| \quad \text{with } p_n > 0 \quad (1.86)$$

536 **Wichtige Konsequenz:**

537 Ist ein Zustand verschränkt, dann wird er durch eine Messung in einem der beiden Hilber-  
 538 träume irreversibel verändert.

539 Bew. Sei  $|\psi\rangle_{AB} = \sum_{m=0}^{N_{Sch}} \sqrt{p} |m\rangle_A \otimes |\tilde{m}\rangle_B$  mit  $N_{Sch} \geq 1$ . Eine Messung in  $\mathcal{H}_A$  ist eine  
 540 Projektion auf einen Vektor  $|q\rangle_A$  aus  $\mathcal{H}_A$ :

$$|\psi\rangle_{AB} \rightarrow |q\rangle_A \langle q| \otimes \mathbf{I}_B |\psi\rangle_{AB} = |q\rangle_A \otimes |\tilde{r}\rangle \quad (1.87)$$

541 mit dem Zustand  $|\tilde{r}\rangle = \sum_{m=0}^{N_{Sch}} \sqrt{p_m} \langle q|m\rangle_A |\tilde{m}\rangle_B \in \mathcal{H}_B$ . D.h. der ursprünglich verschränkte  
 542 Zustand wurde zu einem anderen, nicht verschränkten, irreversibel geändert.

#### 543 1.2.4.1 Beispiele

544 Spin 0 aus 2 Spin  $\frac{1}{2}$  Zuständen : Zur Eingewöhnung benutzen wir auch immer die CB:

$$|0\rangle \equiv \begin{pmatrix} 1 \\ 0 \end{pmatrix} = |+\frac{1}{2}\rangle; \quad |1\rangle \equiv \begin{pmatrix} 0 \\ 1 \end{pmatrix} = |-\frac{1}{2}\rangle \quad (1.88)$$

$$545 |mnr, \dots\rangle \equiv |m\rangle_1 \otimes |n\rangle_2 \otimes |r\rangle \otimes \dots \quad m, n, r \in 0, 1 \quad (1.89)$$

$$|J=0\rangle = \frac{1}{\sqrt{2}} \left( |+\frac{1}{2}\rangle_A \otimes |-\frac{1}{2}\rangle_B - |-\frac{1}{2}\rangle_A \otimes |+\frac{1}{2}\rangle_B \right) = \frac{1}{\sqrt{2}} (|01\rangle - |10\rangle) \quad (1.90)$$

546 Die Matrix  $\mathbf{A}$ , s. (1.71) ist für diesen Fall:  $\mathbf{A} = \begin{pmatrix} \frac{1}{2} & 0 \\ 0 & \frac{1}{2} \end{pmatrix}$ , d.h. hat 2 Eigenwerte, damit ist  
 547 der Zustand verschränkt.

548 Betrachten wir dagegen den Spin 1 Zustand mit z-Komponente +1 Spin:

$$|J=1, J_3=1\rangle = |+\frac{1}{2}\rangle_A \otimes |+\frac{1}{2}\rangle_B = |00\rangle \quad (1.91)$$

549 so hat die Darstellung von vornherein nur einen Summanden ( $N_{Sch} = 0$ ), er ist also nicht  
 550 verschränkt.

551 Ist man am Verhalten zweier Spins in Rahmen der Drehimpulsphysik interessiert ist es sinnvoll

552 die Drehimpuls Basis zu wählen:

$$|J = 0, J_z = 0\rangle = \frac{1}{\sqrt{2}} \left( |+\frac{1}{2}\rangle_A \otimes |-\frac{1}{2}\rangle_B - |-\frac{1}{2}\rangle_A \otimes |+\frac{1}{2}\rangle_B \right) = \frac{1}{\sqrt{2}} (|01\rangle - |10\rangle)$$

$$|J = 1, J_z = +1\rangle = |+\frac{1}{2}\rangle_A \otimes |+\frac{1}{2}\rangle_B = \frac{1}{\sqrt{2}} (|00\rangle)$$

$$|J = 1, J_z = 0\rangle = \frac{1}{\sqrt{2}} \left( |+\frac{1}{2}\rangle_A \otimes |-\frac{1}{2}\rangle_B + |-\frac{1}{2}\rangle_A \otimes |+\frac{1}{2}\rangle_B \right) = \frac{1}{\sqrt{2}} (|01\rangle + |10\rangle)$$

$$|J = 1, J_z = -1\rangle = |-\frac{1}{2}\rangle_A \otimes |-\frac{1}{2}\rangle_B = \frac{1}{\sqrt{2}} (|11\rangle)$$

553 Für die Informatik ist oft die sog. Bell-Basis, die aus 4 verschränkten Zuständen besteht,  
554 angemessener.

$$\frac{1}{\sqrt{2}} \left( |+\frac{1}{2}\rangle_A \otimes |-\frac{1}{2}\rangle_B - |-\frac{1}{2}\rangle_A \otimes |+\frac{1}{2}\rangle_B \right) = \frac{1}{\sqrt{2}} (|01\rangle - |10\rangle) \quad (1.92)$$

$$\frac{1}{\sqrt{2}} \left( |+\frac{1}{2}\rangle_A \otimes |-\frac{1}{2}\rangle_B + |-\frac{1}{2}\rangle_A \otimes |+\frac{1}{2}\rangle_B \right) = \frac{1}{\sqrt{2}} (|01\rangle + |10\rangle) \quad (1.93)$$

$$\frac{1}{\sqrt{2}} \left( |+\frac{1}{2}\rangle_A \otimes |+\frac{1}{2}\rangle_B - |-\frac{1}{2}\rangle_A \otimes |-\frac{1}{2}\rangle_B \right) = \frac{1}{\sqrt{2}} (|00\rangle - |11\rangle) \quad (1.94)$$

$$\frac{1}{\sqrt{2}} \left( |+\frac{1}{2}\rangle_A \otimes |+\frac{1}{2}\rangle_B + |-\frac{1}{2}\rangle_A \otimes |-\frac{1}{2}\rangle_B \right) = \frac{1}{\sqrt{2}} (|00\rangle + |11\rangle) \quad (1.95)$$

555 Man rechnet leicht nach, dass all diese Zustände zur Matrix  $\mathbf{A} = \begin{pmatrix} \frac{1}{2} & 0 \\ 0 & \frac{1}{2} \end{pmatrix}$  führen

556 Beim Zustand  $|\psi\rangle = \frac{1}{2}(|00\rangle + |01\rangle + |10\rangle + |11\rangle)$  sieht man sofort dass er als  $|\psi\rangle = \frac{1}{2}(|0\rangle + |1\rangle) \otimes$   
557  $(|0\rangle + |1\rangle)$  dargestellt werden kann, also nicht verschränkt ist. Man kann auch die Matrix  $\mathbf{A}$   
558 (s. (1.71)) berechnen:  $\mathbf{A} = \begin{pmatrix} 1 & 1 \\ 1 & 1 \end{pmatrix}$ . Die Eigenwerte sind die Lösungen von  $(1-x)^2 - 1 = 0$ ,  
559 d.h. es gibt nur einen von 0 verschiedenen Eigenwert, also  $N_{Sch} = 0$ ,  $|\psi\rangle$  ist nicht verschränkt.

560 Das Konzept lässt successive sich auch auf **mehr als zwei Hilberträume** ausdehnen. Ist  
561  $\mathcal{H} = \mathcal{H}_1 \otimes \mathcal{H}_3 \otimes \mathcal{H}_3$  kann man zuerst  $(\mathcal{H}_1 \otimes \mathcal{H}_2) \otimes \mathcal{H}_3$  analysieren

562 Oft sind gerade die Terme mit vielen Summanden nicht verschränkt. Z.B. ist der Zustand  
563  $\frac{1}{\sqrt{8}} (|000\rangle + |001\rangle + |010\rangle + |011\rangle + |100\rangle + |101\rangle + |110\rangle + |111\rangle)$   
564 nicht verschränkt.

565 Er hat zwar viele Summanden, aber man überzeugt sich, dass er als ein Term, nämlich als  
566  $|m\rangle \otimes |m\rangle \otimes |m\rangle$  geschrieben werden kann.

## entropie 1.2.5 Entropie in der QP

568 Grob gesprochen ist die Entropie ausserhalb der reinen Thermodynamik ein quantitatives  
569 Mass für unsre Unkenntnis über die Mikrozustände eines Gesamtzustandes. Je ausgedehnter

570 ein System im Phasenraum ist, z.B. je grösser das Volumen einer bestimmten Gasmenge ist,  
 571 desto grösser ist unsere Unkenntnis z. B über die Lage eines einzelnen Atoms. Das ist die  
 572 Grundlage für die statistische Definition der Entropie durch Boltzmann:

$$S = k_B \log \Omega \quad (1.96)$$

573 wobei  $\Omega$  das Volumen des erreichbaren Phasenraums ist.

574 Hierbei ist angenommen dass das System gleichverteilt über den Phasenraum ist. Die Wahr-  
 575 scheinlichkeit ein System in einem bestimmten Bereich aufzufinden ist also  $w = 1/\Omega$ . Eine  
 576 erweiterte Formulierung bei allgemeiner Wahrscheinlichkeitsverteilung über den Pha-  
 577 senraum,  $w(\Omega)$ , ist das Integral der über diese AufenthaltsWahrscheinlichkeit:

$$S = -k_B \int w(\Omega) \log w(\Omega) d\Omega \quad (1.97)$$

578 Dies führt zur Q-Entropie (v. Neumann):

$$S_Q = -\langle \rho \rangle \equiv -\text{Tr}[\rho \log \rho] = -\sum_n p_n \log p_n \quad (1.98)$$

579 die letzte Gleichung folgt aus der stets möglichen Wahl eines voS, in dem  $\rho$  diagonal ist.

580 Ein reiner Zustand hat in als statistischen Operator einen Projektionsoperator ( $\overset{\text{project}}{\text{I.18}} \mathbf{P}_{|1\rangle}$ ),  
 581 der in die folgende Matrixform gebracht werden kann:

$$\rho = \mathbf{P}_{|1\rangle} = \begin{pmatrix} 1 & 0 & \dots \\ 0 & 0 & \dots \\ 0 & 0 & \dots \\ \dots & \dots & \dots \end{pmatrix} \quad (1.99)$$

582 d.h. diesem Falle ist  $S_Q = \log 1 = 0$ .

583 Ein maximal unbestimmter Zustand in einem  $d$  dimensionalen Raum ist ein statistischer  
 584 Operator mit gleichem Gewicht für alle Zustände:

$$\rho = \sum_{n=1}^d \frac{1}{d} \mathbf{P}_{|n\rangle} = \begin{pmatrix} \frac{1}{d} & 0 & \dots \\ 0 & \frac{1}{d} & \dots \\ 0 & 0 & \dots \\ \dots & \dots & \dots \end{pmatrix} \quad (1.100) \quad \boxed{\text{maxent}}$$

585 d.h.  $S_Q = \log d$

## 586 1.2.6 Das Korrespondenzprinzip und die “höhere Mechanik”

587 Es wurde bereits erwähnt dass das Korrespondenzprinzip das vielleicht wichtigste Prinzip  
 588 der QP ist. Es gibt einem die Vorschriften für die Konstruktion des Hamiltonoperators aus  
 589 den bewährten Ausdrücken der klassischen Physik. Es erklärt auch, warum man in vielen  
 590 Fällen denken konnte, dass die klassische Physik das letzte Wort sei: Betrachtet man nur die

591 Erwartungswerte, so erhält man aus der QP und dem Korrespondenzprinzip das Resultat,  
592 dass sich die Erwartungswerte so verhalten, wie man nach der klassischen Physik berechnet.

593 Hier soll noch ein Aspekt des Korrespondenzprinzips erwähnt werden, der vielleicht am we-  
594 nigsten verstanden ist. Wie in (6) erwähnt, erfüllen Orts- und Impulsoperatoren die Vertau-  
595 schungsrelationen:

$$[\mathbf{Q}_j, \mathbf{Q}_k] = 0; \quad [\mathbf{P}_j, \mathbf{P}_k] = 0; \quad [\mathbf{P}_j, \mathbf{Q}_k] = -i\hbar \delta_{jk} \quad (1.101)$$

596 Ort und Impuls sind in der klassischen Mechanik harmonisch konjugierte Variable die in den  
597 Hamilton-Jakobischen Gleichungen auftreten:

$$\partial_t q_i = \frac{\partial H}{\partial p_i} \quad \partial_t p_i = -\frac{\partial H}{\partial q_i} \quad (1.102)$$

598 .Eine besondere Rolle spielen die “kanonischen Transformationen”, d.h. solche Transfor-  
599 mationen, bei denen die Bewegungsgleichungen die gleiche Form haben. Invarianten unter  
600 kanonischen Transformationen sind u.a. die **Poisson Klammern**

$$\{u, v\} \equiv \sum_k \left( \frac{\partial u}{\partial q_k} \frac{\partial v}{\partial p_k} - \frac{\partial u}{\partial p_k} \frac{\partial v}{\partial q_k} \right) \quad (1.103)$$

601  $u, v$  sind beliebige Funktionen der kanonischen Variablen.

602 Setzt man  $u = q_m, v = p_n$  so erhält man:

$$\{q_m, p_n\} = \sum_k (\delta_{mk} \delta_{nk}) = \delta_{mn} \quad (1.104)$$

603 und genauso:  $\{q_m, q_n\} = \{p_m, p_n\} = 0$

604 Der senior research student P A M Dirac (geb. 1902) schlug vor, die Poisson-Klammern  
605 durch Kommutatoren zu ersetzen <sup>11</sup>

$$\{\dots, \dots\} \rightarrow \frac{-i}{\hbar} [\dots, \dots] \quad (1.105) \quad \boxed{\text{HL}}$$

606 Dass dies mehr ist als eine mathematische Spielerei ist, erkennt man, wenn man die Liouville  
607 Gleichung für die zeitliche Entwicklung einer Dichteverteilung  $\rho$  in der klassischen statisti-  
608 schen Mechanik betrachtet. Sie lautet

$$\partial_t \rho = \{H, \rho\} \quad (1.106)$$

609 wobei  $H$  die Hamiltonfunktion der klassischen Mechanik ist.

---

<sup>11</sup>(Proc. Royal Soc. A 109, 642 (1925)): In a recent paper Heisenberg puts forward a new theory, which suggests that it is not the equations of classical mechanics that are in any way at fault, but that the mathematical operations by which physical results are deduced from them require modification. All the information supplied by the classical theory can thus be made use of in the new theory... We make the fundamental assumption that difference between the Heisenberg products of two quantum quantities is equal to  $i\hbar$  times their Poisson bracket expression.

610 Machen wir die Ersetzung (<sup>HL</sup>I.105) an dieser Liouville Gleichung, und ersetzen  $\rho$  durch den  
 611 QP statistischen Operator und die Hamiltonfunktion  $H$  durch den Hamiltonoperator  $\mathbf{H}$  so  
 612 erhalten wir

$$\partial_t \rho = \frac{-i}{\hbar} [\mathbf{H}, \rho] \quad (1.107)$$

613 d.h. genau die von der QP geforderte zeitliche Entwicklung (<sup>heis-a</sup>I.53).

614 Noch wichtiger ist diese kanonische Quantisierung in der Feldtheorie. Sie erlaubt hier den  
 615 Übergang von einer klassischen zu einer **Quanten-Feldtheorie**. Hier entspricht dem  $q$  das  
 616 Feld und dem  $p$  der kanonische Feldimpuls nach Euler Lagrange.

617 In der Elektrodynamik entspricht das Potential  $A_\mu$  der Variablen  $q$  und dem  $p$  der “kano-  
 618 nische adjungierte Feldimpuls” der klassischen Feldtheorie,  $\Pi_j = \partial_j A_0 - \partial_0 A_j$  und so erhält  
 619 man für die Quantelektrodynamik die Quantisierungsbedingung:

$$[A_\mu(t, \vec{x}), \Pi_j(t, \vec{y})] = -i\hbar \delta_{\mu j} \delta(\vec{x} - \vec{y}) \quad (1.108)$$

## 620 1.2.7 Erweiterungen der Axiome der QP

621 **1.2.7.0.1  $C^*$  Algebren** Die Formulierung der Axiome der Quantenmechanik in der  
 622 Sprache der  $C^*$ - Algebren ist keine neue Quantisierungsmethode, aber eine recht abstrakt  
 623 mathematische Formulierung, die versucht ohne nichtbeobachtbare Größen auszukommen  
 624 (Daher auch der Name *Observablen-Algebra*).

625 Dieser Zugang geht davon aus, dass die Beobachtungen sich auf zwei wesentliche Kompo-  
 626 neten reduzieren lassen:

- 627 1) Die Methode mit der wir messen, die die **Observablen** bestimmt (z.B Energie, Spin,...)
- 628 und
- 629 2) der **Zustand**, für den wir ein Messergebnis, d.h. eine reelle Zahl, erhalten.

630 Die Observablen, die in der üblichen Formulierung selbstadjungierte Operatoren im Hilber-  
 631 traum sind, werden verallgemeinert zu Elementen einer Algebra mit gewissen Rechenregeln,  
 632 den sogenannten  $C^*$ -Algebren.

633 Ein **Zustand**  $\Phi$  einer  $C^*$ -Algebra ist eine lineare Abbildung der Elemente der Observa-  
 634 blenalgebra auf die positiven reellen Zahlen,  $\Phi(\mathcal{A}) \rightarrow \mathbb{C}_+$  mit  $\Phi(\mathbf{1}) = 1$ .

635 Ein Zustand heißt rein, wenn er sich nicht als Linearkombination zweier verschiedener  
 636 Zustände  $\lambda\Phi_1 + (1 - \lambda)\Phi_0$  zerlegen lässt.

637 Die Formulierung der QM durch Dichteoperatoren kommt der durch  $C^*$  Algebren sehr na-  
 638 he. Die Observablen sind selbstadjungierte Operatoren im Hilbertraum, ein Zustand ist die  
 639 Spurbildung mit dem statistischen Operator. Ein reiner Zustand ist eine Projektion auf einen  
 640 eindimensionalen Hilbertraum.

641 **1.2.7.0.2 Rein probabilistische Interpretation der QM.** Eine Rein probabilistische  
 642 Interpretation der QM schlägt C. Wetterich vor. Dabei wird wesentlich Gebrauch von der  
 643 **bedingten Wahrscheinlichkeit** (Bayes'sche Statistik) gemacht. Lit:

644

[www.thphys.uni-heidelberg.de/~wetterich/Vorlesungen/Foundations%20of%20quantum%20mechanics%202021/Foundations\\_of\\_Quantum\\_Mechanics.pdf](http://www.thphys.uni-heidelberg.de/~wetterich/Vorlesungen/Foundations%20of%20quantum%20mechanics%202021/Foundations_of_Quantum_Mechanics.pdf)  
[inspirehep.net/literature/1828609](https://inspirehep.net/literature/1828609)

645

## 646 1.2.8 Frühe Kritik an der QM

647 In fast allen ausführlicheren Abhandlungen über QC wird das EPR Paradoxon und Schrödingers  
648 Katzte erwähnt, sie sind auch instruktiv über die Besonderheiten der QM. Deshalb seien  
649 sie hier kurz vorgestellt.

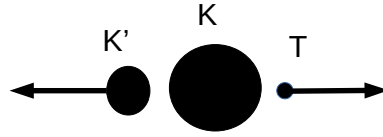
### 650 1.2.8.1 EPR

651 Beim Messprozess (Axiom 3) wurde und wird bemäkelt, dass für die Messung selbst nicht  
652 die durch Axiom 4 beschriebene zeitliche Entwicklung gilt. Auch die inhärent statistische  
653 Natur der Quantenmechanik wurde von vielen nicht “als der letzte Jakob” anerkannt. Der  
654 prominenteste Verter Berühmt ist Albert Einstein. Er schrieb 1926, kurz nach dem Erschei-  
655 nen der wesentlichen Arbeit von Born, Heisenberg und Jordan, an seinen Freund Max Born,  
656 der ja die statistische Interpretation vorschlug:

657 Die Quantenmechanik ist sehr achtunggebietend. Aber eine innere Stimme sagt  
658 mir, dass das doch nicht der wahre Jakob ist. Die Theorie liefert viel, aber dem  
659 Geheimnis des Alten bringt sie uns kaum näher. Jedenfalls bich ich überzeugt,  
660 dass der nicht würfelt. (Brief vom 4.12.1926)

661 Was das QC angeht ist Born’s spätere Antwort auf Einsteins Kritik an der QM prophetisch:  
662 „If God has made the world a perfect mechanism, He has at least conceded so much to our  
663 imperfect intellect that in order to predict little parts of it, we need not solve innumerable  
664 differential equations, but can use dice with fair success.“ ( Max Born *Einstein’s Statistical  
665 Theories*in Albert Einstein : *Philosopher-Scientist* (1951) edited by Paul Arthur Schilpp, p.  
666 176)

667 Etwa 10 Jahre nach seiem Brief am Born glaubte Einstein, einen Beweis für seine Vermutung  
668 gefunden zu haben, dass die QM nicht vollständig sein kann. Er veröffentlichte ihn mit zwei  
669 Mitarbeitern, er enthält das berühmte EPR Pradoxon, das auch in jeder Abhandlung über  
670 QC erwähnt wird, Im Grunde ist es sehr einfachs. Abb. <sup>EPR</sup> I.I: Nehmen wir einen ruhenden  
671 radioaktiven Kern der in zwei Teile zerfällt:  $K \rightarrow K' + T$ . Wegen der Impulserhaltung gilt:  
672  $\vec{p}_{K'} = -\vec{p}_T$ . Messen wir also den Impuls von  $K'$ , so kennen wir auch den von  $T$ . Also haben  
673 sowohl  $K$  als auch  $T$  beide einen wohldefinierten (scharfen) Impulswert. EPR schlossen  
674 nun: Wenn wir Ort und Impuls kennen können, dann muss er auch dem Teilchen ungeteilt  
675 zukommen. Die populärste Theroie (Bohm) war die der verborgenen Parameter: Es gibt  
676 neben Ort und Impuls noch weitere Parameter, zur Bestimmung eines Teilchens, die wir  
677 aber nicht kennen, und die Unschärfe ist nur eine Konseqaenz unsrer Unkenntnis über diese



$$\vec{p}_{K'} = -\vec{p}_T$$

epr Abbildung 1.1: The EPR paradox, Einstein, A; B Podolsky; N Rosen ; Can Quantum-Mechanical Description of Physical Reality be Considered Complete?. Physical Review. 47 (10): 777–780.

678 “Verborgenen Parameter” (*hidden variables*.) Das Problem wurde später von Bohm auf ein  
 679 2-Spin System übertragen und gab Anlass zu den berühmten Bell’schen Ungleichungen, auf  
 680 die wir später eingehen werden und deren Verletzung man als den endgültigen Triumph Max  
 681 Born’s betrachten kann.

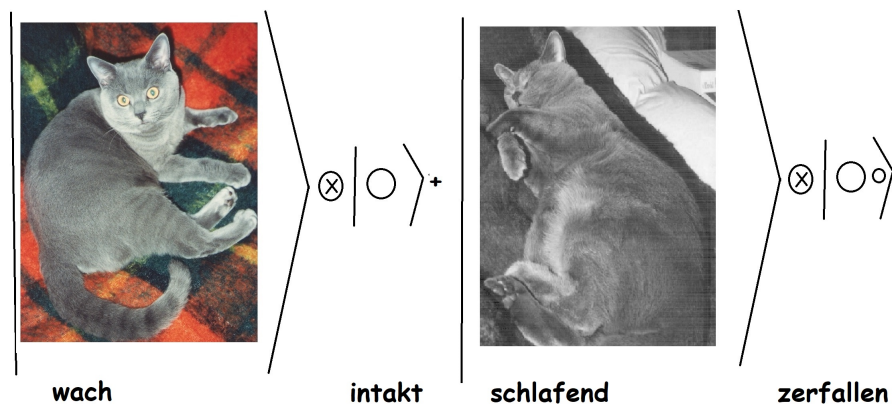
682 Die zeitgenössischen Reaktionen auf Einsteins Kritik an der QM waren sehr geteilt. Die  
 683 meisten der jüngeren Physiker nahmen sie nicht sonderlich ernst, Niels Bohr hingegen ging  
 684 auf sie sehr detailliert ein. Hier ist ein von Bohr entworfenes Modell für den Nachweis, dass  
 685 die Heisenberg’sche Unschärfe auch im Falle der Gravitation gilt (Schilp, aaO p. 227).

686 Zur Vermeidung von Abmahnungen ausgelassene Abbildung

### 687 1.2.8.2 Schrödingers Katze

688 Das Axiom über zusammengesetzte Systeme, Nr. 5, klingt zunächst harmlos und einleuch-  
 689 tend, hat aber, in Verbindung mit dem Superpositionsprinzip (Axiom 1) weitreichende Kon-  
 690 sequenzen.

691 Der Satz: „Ist  $|\psi\rangle_A$  im System  $A$  und  $|\phi\rangle_B$  im System  $B$  präpariert, dann wird der Zustand  
 692 im gemeinsamen System durch  $|\psi\rangle_A \otimes |\phi\rangle_B$  beschrieben” ist in der Tat einleuchtend, aber  
 693 in Verbindung mit der Forderung dass auch  $|\psi_1\rangle_A \otimes |\phi_1\rangle_B + |\psi_2\rangle_A \otimes |\phi_2\rangle_B$  ein physikali-  
 694 sches System beschreibt führt er zu weitreichenden Konsequenzen. Dieses Phänomen wird  
 695 als Verschränkung (entanglement) bezeichnet und ist in der Mikrophysik sehr wichtig und  
 696 bestens bestätigt. In der Makrophysik allerdings führt es zu “burlesken Fällen”. Besonders  
 697 bekannt ist die “Schrödingersche Katze”, die eine Superposition von einer lebendigen und  
 698 einer toten Katze ist.



## Schrödingers Katze

Die Ampulle enthält kein Gift, sondern ein Schlafmittel.

699

700 Hier ist das Originalzitat von Schrödinger aus der Arbeit, in der die Bedeutung der Ver-  
 701 schränkung erkannt wurde (**Die Naturwissenschaften**, 48, p. 807ff (1935) DIE GEGENWÄRTI-  
 702 GE SITUATION IN DER QUANTENMECHANIK.

703 .....Man kann auch ganz burleske Fälle konstruieren. Eine Katze wird in eine  
 704 Stahlkammer gesperrt, zusammen mit folgender Höllenmaschine (die man gegen  
 705 den direkten Zugriff der Katze sichern muß): in einem Geigerschen ZählroHilber-  
 706 traum befindet sich eine winzige Menge radioaktiver Substanz, so wenig, daß  
 707 im Laufe einer Stunde vielleicht eines von den Atomen zerfällt, ebenso waHilber-  
 708 traumscheinlich aber auch keines; geschieht es, so spricht das ZählroHilbertraum  
 709 an und betätigt über ein Relais ein Hämmerchen, das ein Kölbchen mit Blausäure  
 710 zertrümmert. Hat man dieses ganze System eine Stunde lang sich selbst überlas-  
 711 sen, so wird man sich sagen, daß die Katze noch lebt, wenn inzwischen kein Atom  
 712 zerfallen ist. Der erste Atomzerfall würde sie vergiftet haben. Die Psi-Funktion  
 713 des ganzen Systems würde das so zum Ausdruck bringen, daß in iHilbertraum  
 714 die lebende und die tote Katze (s.v.v.) zu gleichen Teilen gemischt oder ver-  
 715 schmiert sind. Das Typische an solchen Fällen ist, daß eine ursprünglich auf den  
 716 Atombereich beschränkte Unbestimmtheit sich in grobsinnliche Unbestimmtheit  
 717 umsetzt, die sich dann durch direkte Beobachtung entscheiden läßt. Das hindert  
 718 uns, in so naiver Weise ein „verwaschenes Modell“ als Abbild der Wirklichkeit  
 719 gelten zu lassen.

720 Das Problem, dass makroskopische Überlagerungen (wie tote und lebendige Katze) absurd  
 721 erscheinen werden aber durch das Phänomen der Dekohärenz <sup>12</sup> erklärt. Ein makkroskopi-  
 722 scher Körper wird so stark von der Umgebung beeinflusst, dass dadurch die Verschränkung,  
 723 die auf festen Phasenbeziehungen basiert, extrem schnell (quasi-instantan) zerstört wird.

724 Aber auch die sehr gut bestätigten Verschränkungen in der Mikrophysik haben viele Physiker  
 725 gestört, vor allem auch wieder Einstein, da sie auf eine seiner Meinung nach unmögliche

<sup>12</sup>H. Dieter Zeh, “On the Interpretation of Measurement in Quantum Theory”, Foundations of Physics, vol. 1, pp. 69–76, (1970)

726 instantane Fernwirkung hinausliefen <sup>13</sup>. Allerdings wurde das Hauptargument von Einstein,  
727 Podolsky und Rosen durch Experimente wiederlegt, wir kommen darauf im Zusammenhang  
728 mit den Bell'schen Ungleichungen zurück.

729 QC, und vor allem seine Vorteile gegenüber dem klassischen Computer, beruhen gerade  
730 ganz wesentlich auf den umstrittenen Prinzipien der QM, während die Dekohärenz, die den  
731 Übergang zur klassischen Physik erklärt, die Möglichkeiten zur Konstruktion von Quanten-  
732 Computern gewaltig einschränkt.

### 733 1.2.9 Verborgene Variable (Hidden variables)

734 Einstein versuchte schon früh, sein Missbehagen an der QM konstruktiv zu untermauern,  
735 auf einer Akademiesitzung machte er 1927 einen Vorschlag, dessen Veröffentlichung er aber  
736 zurückzog.

737 Auf der Solvay-Konferenz 1927, wo die meisten der massgeblichen Physiker anwesend waren,  
738 machte de Broglie den Vorschlag, in einer Teilchentheorie ein Führungsfeld einzuführen, das  
739 wir nicht beobachten können, aber z.B. zu den Interferenzerscheinungen beim Doppelspalt  
740 führt. Er fand wenig Anklang (J. Bell: "he was laughed out of court")

741 David Bohm entwickelte diese Theorie genau in der Weise, dass sie alle Phänomene genau  
742 wie die QM beschreibt. Allerdings nur für nichtrelativistische QM, keinerlei Hinweis (und  
743 Versuch?) die Quantenfeldtheorie (z.B. Teilchen Erzeugung und Vernichtung) zu erklären.

744 Da sie konstruiert wurde, um die QM genau zu rekonstruieren, keinerlei Bedeutung für QC.

745 Historischer Hinweis: Newton, der das Licht als Teilchenstrahl auffasste, musste zur Er-  
746 klärung der Newton'schen Ringe "verborgene Variable" einführen (Opticks, Book 2, Part  
747 III, 1704): Er schrieb den Teilchenstrahlen gewisse Eigenschaften (fits) zu, die entscheiden,  
748 ob der Strahl an einer Grenzfläche eindringt oder reflektiert wird.

## 749 1.3 Alternative Quantisierungs-Methoden

750 Der Vollständigkeit halber, und da man ja nie weiss, wie sich ein Gebiet entwickelt, seien  
751 hier zwei recht verschiedene andere Beziehungen zwischen klassischer und Quantenphysik  
752 erwähnt.

### 753 1.3.1 Pfadintegral, stark vereinfacht

754 Bei der oben angegebenen axiomatischen Darstellung der QM ist der Grundbegriff der Zu-  
755 stand, und das macht diese Formulierung, besonders in der ursprünglichen Matrix-Formulierung  
756 auch zu einem sehr guten Ausgangspunkt für das QC.

---

<sup>13</sup>A. Einstein, B. Podolsky, N. Rosen: Can quantum-mechanical description of physical reality be considered complete?, Phys. Rev. 47 (1935), S. 777–780 doi:10.1103/PhysRev.47.777

757 Es gibt aber auch noch einen weiteren Zugang zur QM, der besonders in Computersimula-  
 758 tionen zur QFT eine grosse Rolle spielt, nämlich der durch Pfadintegrale. Er geht zurück  
 759 auf eine Idee von Dirac, wurde aber von R. Feynman erstmals ausgeführt. Bei ihm steht  
 760 nicht der Zustand, sondern der Prozess im Mittelpunkt. Für den gegenwärtigen Zugang  
 761 zum QC scheint er wenig zu bringen, aber als alternativer Zugang zur QM ist er dennoch  
 762 erwähnenswert, zumal er den Übergang von der QM zur klassischen Physik viel deutlicher  
 763 zeigt.

764 Wenn ich den Ort und Impuls eines Teilchens zu einer bestimmten Zeit,  $t_0$  kenne, so kann  
 765 ich in der klassischen Physik seine Bahnkurve mithilfe der Bewegungsgleichungen eindeutig  
 766 berechnen. Dies geht mit Hilfe bereits der Euler-Lagrange'schen Gleichungen.

767 Sei  $\mathcal{L}(q, \dot{q})$  die Lagrangefunktion eines Systems (kinetische minus potentielle Energie); Hierbei  
 768 ist  $q$  der Ort und  $\dot{q}$  die Geschwindigkeit. Die klassische Bewegungskurve  $q(t)$  macht die  
 769 Wirkung  $S = \int dt \mathcal{L}[q, \dot{q}]$  d.h.  $\frac{\delta S}{\delta q} = 0$  was zu den Bewegungsgleichungen führt.

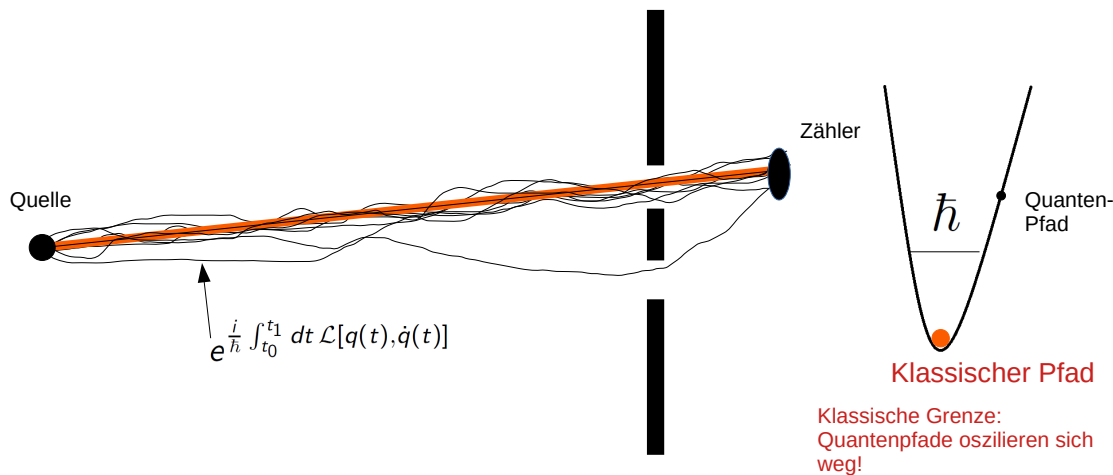
$$\frac{\delta S}{\delta q} = 0 \quad \rightarrow \quad \partial_t \underbrace{\frac{\partial \mathcal{L}(q, \dot{q})}{\partial \dot{q}}}_p = \frac{\partial \mathcal{L}(q, \dot{q})}{\partial q} \quad (1.109)$$

770 Der klassische Pfad ist also der, bei dem die Wirkung minimal (stationär) ist.

771 In der QM sind alle Pfade möglich und die Wahrscheinlichkeitsamplitude des Übergangs z.B.  
 772 eines Massenpunktes der zur Zeit  $t_0$  an der Stelle  $q(0)$  ist zu der Stelle  $q_1$  ist das Integral  
 773 über alle Pfade, wobei jeder Pfad die Exponentialfunktion der Wirkung als Gewicht bekommt:  
 774  $e^{iS/\hbar} = e^{\frac{i}{\hbar} \int dt \mathcal{L}[q(t), \dot{q}(t)]/\hbar}$  bekommt:

$$G(q_0, t_0, q_1, t_1) = \int_{\substack{q(t_0) = q_0; \\ q(t_1) = q_1}} [\mathcal{D}q(t)] e^{\frac{i}{\hbar} \int_{t_0}^{t_1} dt \mathcal{L}[q(t), \dot{q}(t)]} \quad (1.110)$$

775 Vom Blickwinkel der QM aus, betrachtet man in der klassischen Physik nur die **wahr-**  
 776 **scheinlichste** aller möglichen Bahnkurven bei der die Wirkung minimal ist. Wenn immer  
 777 die Effekte der Abweichung viel grösser als  $\hbar = 6.6260701510^{-34}$  J s sind, ist dies sehr gut ge-  
 778 rechtet. Die nichtklassischen Bahnen "oszillieren sich weg", da der imaginäre Exponent  
 779 sehr gross ist.



$$G(q_0, t_0, q_1, t_1) = \int_{\substack{q(t_0) = q_0; \\ q(t_1) = q_1}} [Dq(t)] e^{\frac{i}{\hbar} \int_{t_0}^{t_1} dt \mathcal{L}[q(t), \dot{q}(t)]}$$

780

781 Wie erwähnt ist dieser Zugang zur Quantenphysik in der Quantenfeldtheorie sehr wichtig.  
 782 Allerdings sind die oszillierenden Integrale im Exponenten nicht nur numerisch, sondern auch  
 783 mathematisch schwer zu fassen und man behandelt die Ausdrücke in einer Euklidischen  
 784 Formulierung, bei der die Zeit  $t$  durch die "Euklidische Zeit"  $\mathbf{i}\tau$  ersetzt wird. Dann geht das  
 785 oszillierende Integral  $e^{\frac{i}{\hbar} \int_{t_0}^{t_1} dt \mathcal{L}[q(t), \dot{q}(t)]}$  in das exponentiell gedämpfte  $e^{\frac{-1}{\hbar} \int_{\tau_0}^{\tau_1} d\tau \mathcal{L}[q(\tau), \dot{q}(\tau)]}$  über,  
 786 das sowohl numerisch als auch analytisch sehr viel gutartiger ist.

787 Ein gebundener Zustand, der in der Minkowski-Welt oszilliert wie  $e^{\frac{i}{\hbar} t E_b}$ , ist in der Euklidi-  
 788 schen Welt mit  $\tau = \mathbf{i}t$  exponentiell gedämpft,  $e^{\frac{-1}{\hbar} \tau E_b}$  und kann so auch in der Euklidischen  
 789 Welt identifiziert werden.

790 Wir sind deshalb auf diese "stochastische Interpretation" der QM eingegangen weil das Rech-  
 791 nen mit klassischen Computern und einem Zufallsgenerator für gewisse Probleme effizienter  
 792 sein kann (s. Vorl. XXX) und es durchaus Meinungen gibt dass manche Probleme, die nach  
 793 heutiger Vorstellung nur auf einem QC effizient behandelt werden können, mit Hilfe stocha-  
 794 stischer Methoden auch auf einem klassischen Computer sehr viel effizienter als mit streng  
 795 deterministischen Methoden gelöst werden können. **Vielleicht** könnte da die Pfadintegral  
 796 Methode ein Wegweiser sein.

### 797 1.3.2 Holographische Quantisierung, AdS/CFT ; noch stärker ver- 798 einfacht

799 Einer **klassischen** Gravitationstheorie in 5 Raum-Zeit Dimensionen entspricht einer **Quan-**  
 800 **tenfeldtheorie** in 4 Raum-Zeit Dimensionen.

801 Etwas spezifischer:

802 **Klassische** 5-dimensionale Theorie:

803  $ds^2 = \frac{1}{x_5^2}(-dx_1^2 - dx_2^2 - dx_3^2 + dx_4^2 + dx_5^2)$  (Anti-de-Sitter Metrik)

804  $\Updownarrow$

805 **Quantisierte** 4-dimensionale Theorie:

806  $ds^2 = -dx_1^2 - dx_2^2 - dx_3^2 + dx_4^2$ , übliche Minkowski Metrik, noch viele zusätzliche Symmetrien  
807 (super-conforme Theorie).

# 808 Kapitel 2

## 809 Qubits in der Quantenmechanik

### 810 2.1 Ein Qubit

#### 811 2.1.1 Informationsgehalt eines Qubits

812 Der einfachste nicht-triviale Hilbertraum ist zwei-dimensional, er hat also 2 Basisvektoren,  
813  $\begin{pmatrix} 1 \\ 0 \end{pmatrix}$  und  $\begin{pmatrix} 0 \\ 1 \end{pmatrix}$ , seine Elemente heissen Qubits. In der Quanten-Informatik benutzt man  
814 meist die computatorische Basis (CB) mit den Vektoren

$$|0\rangle = \begin{pmatrix} 1 \\ 0 \end{pmatrix} \quad \text{entspricht dem 0-bit in der klassischen Informatik} \quad (2.1)$$

$$|1\rangle = \begin{pmatrix} 0 \\ 1 \end{pmatrix} \quad \text{entspricht dem 1-bit in der klassischen Informatik} \quad (2.2)$$

815 Ein Qubit  $|\psi\rangle$  ist als Element eines 2-dimensionalen Raumes Summe von 2 Basisvektoren:

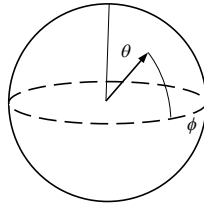
$$|\psi\rangle = \alpha |0\rangle + \beta |1\rangle \equiv \begin{pmatrix} \alpha \\ \beta \end{pmatrix} \quad \text{mit } |\alpha|^2 + |\beta|^2 = 1 \quad (2.3)$$

816 Es kann in die Form gebracht werden:

$$|\psi\rangle = e^{i\gamma} \left( \cos \frac{\theta}{2} |0\rangle + e^{i\phi} \sin \frac{\theta}{2} |1\rangle \right) \quad 0 \leq \theta, \phi \leq 2\pi \quad (2.4) \quad \boxed{\text{bloch}}$$

817 Bei der Beobachtung eines Zustands spielt die gemeinsame Phase  $\gamma$  keine Rolle, da wir nur  
818 Erwartungswerte  $\langle \psi | O \psi \rangle$  messen, zu denen  $\gamma$  nicht beiträgt. Damit ist ein Qubit durch  
819 die 2 Winkel  $\theta$  und  $\phi$  bestimmt, die als Polar und Azimutalwinkel eines Punktes auf einer  
820 Einheitskugel betrachtet werden können. Diese Kugel wird als *Bloch-Kugel* bezeichnet. s.  
821 Abb.

822 Man benutzt  $\theta/2$  damit für beide Winkel der volle Bereich 0 bis  $2\pi$  eindeutig ausgefüllt wird. Ohne den Faktor  $\frac{1}{2}$  wäre  $\theta, \phi, \gamma$   
823 der gleiche Zustand wie  $\theta + \pi, \phi, \gamma + \pi$ , dies hat sogar einen tieferen mathematischen Grund



824

825 Was ist der Informationsgehalt eines Qubits? Zur vollständigen Bestimmung eines Qubits  
 826 dienen die Oberflächenpunkte der Bloch-Kugel, <sup>bloch</sup>2.4, also liegen die möglichen Parameter in  
 827 dem ganzen Kontinuum der Kugeloberfläche. Bei Messungen der Komponenten der CB, d.h.  
 828 mit dem Observablen Operatoren

$$\mathcal{P}_{|0\rangle} = \begin{pmatrix} 1 & 0 \\ 0 & 0 \end{pmatrix} \quad \text{bzw.} \quad cP_{|1\rangle} = \begin{pmatrix} 0 & 0 \\ 0 & 1 \end{pmatrix} \quad (2.5)$$

829 ergibt sich allerdings immer nur das er entweder im Zustand  $|0\rangle$  oder  $|1\rangle$  ist, und zwar mit  
 830 der Wahrscheinlichkeit  $|\cos^2 \frac{\theta}{2}|^2$  bzw  $|\sin^2 \frac{\theta}{2}|^2$ , also im Grunde auch nicht mehr Informati-  
 831 on als bei einem klassischen bit mit Zufallesgenerator. Wir hatten ja auch als einfachste  
 832 Anwendung eines QC den Zufallgenerator kennengelernt (Vorl. 3)

833 Aber dennoch gibt es grosse Unterschiede: Die information über die Phase  $\phi$  in <sup>bloch</sup>(2.4) geht  
 834 zwar bei der Einzelmessung verloren, aber für die zeitliche Entwicklung sind alle Parameter  
 835 wesentlich. Zwei Zustände mit verschiedener Phase  $\phi$  sind zwei verschiedene Hilbertraum  
 836 zustände und können z.B. ganz verschiedene zeitliche Entwicklungen haben. Ein vielleicht  
 837 noch wichtigerer Unterschied tritt bei Zuständen mit 2 oder mehr Qubits auf, die in der  
 838 Einleitung kurz besprochene Verschränkung. Darauf kommen wir im folgenden noch oft  
 839 zurück.

840 Der reiche Informationsinhalt eines Qubits, aber sehr die beschränkte Zugänglichkeit zu  
 841 diesem macht sich bei einem System aus mehreren Qubits noch stärker bemerkbar, da im  
 842 Endeffekt immer nur **eine** reelle Zahl gemessen wird. Das Ziel eines Algorithmus muss also  
 843 sein, dass ein Zustand, und natürlich der jeweils interessanteste, mit sehr hoher Wahr-  
 844 scheinlichkeit gemessen wird. Wie wir später sehen ist dies auch der leitende Gedanke bei zwei  
 845 sehr wichtigen Quantenalgorithmen, dem von Deutsch und dem von Shore.

846 Die minimale Entropie eines Qubits ist, wie für alle reinen Zustände in der QM  $S_Q = 0$ , die  
 847 maximale Entropie ist, da  $d = 2$  in <sup>maxent</sup>(1.100)  $S_Q = \log 2$ .

## 848 2.1.2 Pauli'sche $\sigma$ Matrizen

849 In der QM spielen selbstadjungierte Operatoren,  $\mathbf{A}^\dagger = \mathbf{A}$  als mögliche Observable eine grosse  
 850 Rolle. Aus diesen lassen sich durch Exponentierung selbstadjungierte konstruieren:

$$\left( e^{i\mathbf{A}} \right)^\dagger = e^{i\mathbf{A}^\dagger} = e^{-i\mathbf{A}} = \left( e^{i\mathbf{A}} \right)^{-1} \quad (2.6)$$

851 darstellen.

Die allgemeinst Form eines sa. Operators  $\mathbf{A}$  in 2 Dimensionen ist:

$$A = \begin{pmatrix} a & \beta^* \\ \beta & d \end{pmatrix} \text{ mit } a, b \in \mathbb{R} \beta \in \mathbb{C}$$

852  $\mathbf{A}$  lässt sich durch eine Linearkombination der drei sogenannten Pauli Matrizen ( $\vec{\sigma}$ ) und der  
853 Einheitsmatrix  $\mathbf{I}$  darstellen, wobei

$$\sigma_1 = \begin{pmatrix} 0 & 1 \\ 1 & 0 \end{pmatrix}, \quad \sigma_2 = \begin{pmatrix} 0 & -i \\ i & 0 \end{pmatrix}, \quad \sigma_3 = \begin{pmatrix} 1 & 0 \\ 0 & -1 \end{pmatrix}, \quad \mathbf{I} = \begin{pmatrix} 1 & 0 \\ 0 & 1 \end{pmatrix} \quad (2.7) \quad \boxed{\text{sim}}$$

$$854 \quad A = \frac{1}{2}(a+d)\mathbf{I} + \text{Re}\beta\sigma_1 + \text{Im}\beta\sigma_2 + \frac{1}{2}(a-d)\sigma_3 \quad (2.8)$$

855 Wie man leicht nachrechnet sind die 3  $\sigma$  Matrizen selbstadjungierte Matrizen und erfüllen  
856 die Vertauschungsrelationen

$$[\sigma_k, \sigma_n] \equiv \sigma_k \sigma_n - \sigma_n \sigma_k = 2i \epsilon_{knm} \sigma_m. \quad (2.9) \quad \boxed{\text{vr}}$$

857 Sie erfüllen auch die „Äntivertauschungsrelationen“:

$$\{\sigma_k, \sigma_n\}_+ = \sigma_k \sigma_n + \sigma_n \sigma_k = 2 \delta_{ik} \mathbf{1} \quad (2.10) \quad \boxed{\text{avr}}$$

858 Au diesen Relationen und der Selbstadjungiertheit folgen Beziehungen, die einen immer  
859 wieder überraschen. z.B.

$$\begin{aligned} (\alpha \sigma_k + \beta \sigma_n)^\dagger (\alpha \sigma_k + \beta \sigma_n) &= (\alpha^* \sigma_k + \beta^* \sigma_n) (\alpha \sigma_k + \beta \sigma_n) \\ &= (|\alpha|^2 + |\beta|^2) \mathbf{I} + \alpha^* \beta \left( \frac{1}{2} \{\sigma_k, \sigma_n\}_+ + \frac{1}{2} [\sigma_k, \sigma_n] \right) + \alpha \beta^* \left( \frac{1}{2} \{\sigma_n, \sigma_k\}_+ + \frac{1}{2} [\sigma_n, \sigma_k] \right) \\ &= (|\alpha|^2 + |\beta|^2 + \text{Re}(\alpha^* \beta) \delta_{kn}) \mathbf{I} - \text{Im}(\alpha^* \beta) \epsilon_{knl} \sigma_l \end{aligned}$$

860 d.h. für  $a, b \in \mathbb{R}$  ist  $\frac{1}{\sqrt{a^2+b^2}}(a\sigma_k + b\sigma_n)$  nicht nur selbstadjungiert, sondern auch **unitär**.

### 861 2.1.3 Bahndrehimpuls und Spin

862 Dies ist eine ganz kurze Wiederholung aus der allgemeinen QM. I. A. sind die Einheiten  
863  $\hbar = 1$ .

864 Der Drehimpulsoperator in der QM ist nach dem Korrespondenzprinzip

$$\vec{\mathbf{L}} = [\vec{\mathbf{Q}} \times \mathbf{P}]; \quad \mathbf{L}_k = \sum_{rs} \epsilon_{krs} \mathbf{Q}_r \mathbf{P}_s \quad (2.11)$$

865 Daraus berechnet man mit Hilfe von

$$866 \quad [AB, CD] = A[B, C]D + [A, C]BD + [C, A]BD + C[A, D]B$$

$$[\mathbf{L}_k, \mathbf{L}_m] = i \epsilon_{kmn} \mathbf{L}_n \quad (2.12)$$

867 Aus den Vertauschungsrelationen folgt, dass der Operator

$$\vec{\mathbf{L}}^2 = \mathbf{L}_1^2 + \mathbf{L}_2^2 + \mathbf{L}_3^2 \quad (2.13)$$

868 mit allen  $\mathbf{L}_i$  vertauscht. Seine ganzzahligen Eigenwerte  $\ell \cdot (\ell + 1)$  bestimmen den Gesamt-  
 869 drehimпульс  $\ell \geq 0$ . Die Eigenwerte des Operators  $\mathbf{L}_k$  können dann die ganzzahligen Werte  
 870  $-\ell \leq m \leq \ell$  annehmen.

871 Der Matrix-operatoren  $\frac{1}{2}\boldsymbol{\sigma}_i$  haben die gleichen Vertauschungsregeln wie die Drehimpulsoperatoren.  
 872 ratoren.

873 Da  $\frac{1}{4}\sum_k \boldsymbol{\sigma}_k^2 = \frac{1}{2} \cdot \frac{3}{2}$  ist, kann man sagen die  $\frac{1}{2}\boldsymbol{\sigma}$  Matrizen sind Spin (auf alt-deutsch Eigen-  
 874 drehimпульс) Operatoren für ein Spin  $\frac{1}{2}$  Teilchen

$$\mathbf{J}_k^{(s)} = \frac{1}{2}\boldsymbol{\sigma}_k \quad \text{with} \quad [\mathbf{J}_k^{(s)}, \mathbf{J}_n^{(s)}] = i\epsilon_{knm}\mathbf{J}_m^{(s)} \quad (2.14)$$

875 Der Gesamtdrehimpuls ist allgemein die Summe aus dem Bahndrehimpuls und dem Spin:

$$\vec{\mathbf{J}} = \vec{\mathbf{L}} + \vec{\mathbf{J}}^{(s)} \quad (2.15)$$

876 Die Darstellung <sup>sim</sup>(2.7), bei der die Matrix  $\boldsymbol{\sigma}_3$  diagonal ist, hat die Basisvektoren

$$|\uparrow_3\rangle = \begin{pmatrix} 1 \\ 0 \end{pmatrix}; \quad |\downarrow_3\rangle = \begin{pmatrix} 0 \\ 1 \end{pmatrix} \quad (2.16) \quad \boxed{\text{mu-si}}$$

877 Hierbei bedeutet  $|\uparrow_3\rangle$  dass der Spin in +3-Richtung zeigt, und entsprechend  $|\downarrow_3\rangle$  in -3-  
 878 Richtung.

879 Man kann sich ein Qubit durch ein Spin 1/2 Teilchen (Elektron oder z.B. Ag-Atom) vorstel-  
 880 len, bei dem der CB Vektor  $|0\rangle$  einem  $|\uparrow_3\rangle$  und der CN Vektor  $|1\rangle$  einem  $|\downarrow_3\rangle$  entspricht.

881 Man rechnet leicht nach, dass die Eigenzustände des Spin- $\frac{1}{2}$ -Operators

$$\mathbf{J}_1^{(s)} = \frac{1}{2}\boldsymbol{\sigma}_1 = \begin{pmatrix} 0 & 1 \\ 1 & 0 \end{pmatrix} \quad (2.17)$$

882 sind

$$|\uparrow_1\rangle = \frac{1}{\sqrt{2}} \begin{pmatrix} 1 \\ 1 \end{pmatrix}; \quad \frac{1}{2}\boldsymbol{\sigma}_1|\uparrow_1\rangle = +\frac{1}{2}|\uparrow_1\rangle \quad (2.18)$$

$$|\downarrow_1\rangle = \frac{1}{\sqrt{2}} \begin{pmatrix} 1 \\ -1 \end{pmatrix}; \quad \frac{1}{2}\boldsymbol{\sigma}_1|\downarrow_1\rangle = -\frac{1}{2}|\downarrow_1\rangle \quad (2.19)$$

883 Ganz allgemein sind die Drehimpulsoperatoren die ‘Generatoren’ der Drehoperatoren in  
 884 einem Hilbertraum. Einer Drehung um die Achse  $\hat{n}$  mit dem Drehwinkel  $\theta$  ist im Qubit-  
 885 Raum ist die unitäre Transformation

$$\mathbf{U}(\hat{n}, \theta) = \exp[-i\theta\hat{n} \cdot \vec{\mathbf{J}}] \quad (2.20)$$

886 zugeordnet im 2-dimensionalen Hilbertraum also

$$\mathbf{U}(\hat{n}, \theta) = \exp[-i\frac{\theta}{2}\hat{n} \cdot \vec{\boldsymbol{\sigma}}] = \mathbf{1} \cos \frac{\theta}{2} - i\hat{n} \cdot \vec{\boldsymbol{\sigma}} \sin \frac{\theta}{2} \quad (2.21) \quad \boxed{\text{rot}}$$

887 Für den letzten Ausdruck wurde die Exponentialfunktion entwickelt und die Anti-vertauschung  
 888 in <sup>vr</sup>(2.9) dabei ausgenutzt.

889 Wir behandeln im Abschn. <sup>st-g</sup>2.2 das Verhalten von Teilchen mit Spin im Magnetfeld.

## 2.1.4 Quantengatter *quantum gates*

Quantengatter (*quantum gates*) sind eine Übertragung der klassischen Gatter, die auf Bits wirken, in die Quantenwelt. Da die Quantendynamik wahrscheinlichkeitserhaltend und reversibel ist, müssen auch die Quanten-Gatter wahrscheinlichkeitserhaltend sein, d.h. unitär.

Für den klassischen Computer gibt es nur ein Gatter, das auf einen einzigen Bit wirkt, das NOT gate:

$$\text{NOT}\{0\} = \{1\}; \quad \text{NOT}\{1\} = \{0\} \quad (2.22)$$

Dem NOT gate entspricht beim Qubit das X-gate:

$$\mathbf{X} \begin{pmatrix} \alpha \\ \beta \end{pmatrix} = \begin{pmatrix} \beta \\ \alpha \end{pmatrix} \quad \text{d.h. } \mathbf{X} = \begin{pmatrix} 0 & 1 \\ 1 & 0 \end{pmatrix} \quad (2.23) \quad \boxed{\text{xgate}}$$

Es ist identisch mit der Pauli-Matrix  $\sigma_1$ . Ein weiteres wichtiges 1-Qubit gate ist das Z gate

$$\mathbf{Z} \begin{pmatrix} \alpha \\ \beta \end{pmatrix} = \begin{pmatrix} \alpha \\ -\beta \end{pmatrix} \quad \text{d.h. } \mathbf{Z} = \begin{pmatrix} 1 & 0 \\ 0 & -1 \end{pmatrix} \quad (2.24) \quad \boxed{\text{zgate}}$$

Das Hadamard gate  $\mathbf{H}$  ist eine Summe der beiden:

$$\mathbf{H} = \frac{1}{\sqrt{2}} (\mathbf{X} + \mathbf{Z}) = \frac{1}{\sqrt{2}} \begin{pmatrix} 1 & 1 \\ 1 & -1 \end{pmatrix} = \frac{1}{\sqrt{2}} (\sigma_1 + \sigma_3) \quad (2.25) \quad \boxed{\text{hgate}}$$

Sie wirken auf die CB wie folgt:

Das  $\mathbf{X}$  gate vertauscht die beiden Basisvektoren:

$$\mathbf{X}|0\rangle = |1\rangle; \quad \mathbf{X}|1\rangle = |0\rangle \quad (2.26)$$

Das  $\mathbf{Z}$  gate dreht die Phase des  $|1\rangle$

$$\mathbf{Z}|0\rangle = |0\rangle; \quad \mathbf{Z}|1\rangle = -|1\rangle \quad (2.27)$$

Das  $\mathbf{H}$  gate macht die Überlagerung:

$$\mathbf{H}|0\rangle = \frac{1}{\sqrt{2}}(|0\rangle + |1\rangle); \quad \mathbf{H}|1\rangle = \frac{1}{\sqrt{2}}(|0\rangle - |1\rangle); \quad (2.28) \quad \boxed{\text{hgate2}}$$

## 2.1.5 Zeitliche Entwicklung eines Qubits

Die zeitliche Entwicklung eines reinen Zustandes  $|\psi, t\rangle$  (Schrödingerbild) ist allgemein gegeben durch (s. Axiom XXX).

$$|\psi, t\rangle = e^{i\mathbf{H}t}|\psi\rangle \quad (2.29)$$

Die allgemeinste Form eines (Raum- und Zeit-unabhängigen) Hamiltonoperators im 2-dimensionalen (Qubit) Raum ist

$$\mathbf{H} = \begin{pmatrix} a & c e^{i\psi} \\ c \cdot e^{-i\psi} & b \end{pmatrix}; \quad a, b, c, \psi \in \mathcal{R} \quad (2.30)$$

908 Ist  $|\psi_E\rangle$  ein Eigenwert von  $\mathbf{H}$ , d.h

$$\mathbf{H}|\psi_E\rangle = E|\psi_E\rangle \quad (2.31)$$

909 dann gilt:

$$|\psi_E, t\rangle = e^{iEt}|\psi_E\rangle \quad (2.32)$$

910 Schreiben wir die Eigenwertgleichung (hier 2 lineare Gleichungen) als

$$(\mathbf{H} - E\mathbf{I})|\psi_E\rangle = 0 \quad (2.33)$$

911 sehen wir sofort, dass für eine nichttriviale Lösung gelten muss:

$$\det(\mathbf{H} - E\mathbf{I}) = \left\| \begin{pmatrix} a - E & c e^{i\psi} \\ c \cdot e^{-i\psi} & b - E \end{pmatrix} \right\| = 0 \quad (2.34) \quad \boxed{\text{sec}}$$

912 Aus (2.34) bestimmen wir die Die Eigenwerte von  $\mathbf{H}$  zu:

$$\mathbf{H}|\pm\rangle = E_{\pm}|\pm\rangle; \quad E_{\pm} = \frac{a+b}{2} \pm \sqrt{\frac{(a-b)^2}{4} + c^2} \quad (2.35)$$

913 die Eigenzustände sind:

$$|+\rangle = \begin{pmatrix} C_+ \\ S_+ \end{pmatrix}, \quad \text{with } C_+ = \cos \phi_+, \quad S_+ = e^{-i\psi} \sin \phi_+; \quad \tan \phi_+ = \frac{E_+ - a}{c} \quad (2.36)$$

$$|-\rangle = \begin{pmatrix} S_- \\ C_- \end{pmatrix}, \quad \text{with } C_- = \cos \phi_-, \quad S_- = e^{+i\psi} \sin \phi_-; \quad \tan \phi_- = \frac{E_- - b}{c} \quad (2.37)$$

914 mit der Zeitabhängigkeit:

$$e^{iHt/\hbar}(\alpha_+|+\rangle + \alpha_-|-\rangle) = \alpha_+ e^{iE_+t/\hbar}|+\rangle + \alpha_- e^{iE_-t/\hbar}|-\rangle \quad (2.38)$$

915 wobei  $\alpha_+, \alpha_-$  aus den Anfangsbedingungen folgen:  $\alpha_{\pm} = \langle \pm | \psi \rangle$ .

916 **Besonders informativ ist die Situation für den Fall  $a = b$ .**

917 Dann gilt:  $E_{\pm} = a \pm |c|$  und  $\phi_{\pm} = \pm\pi/4$

$$918 \quad |+\rangle = \begin{pmatrix} \cos \frac{\pi}{4} \\ e^{-i\psi} \sin \frac{\pi}{4} \end{pmatrix} = \frac{1}{\sqrt{2}} \begin{pmatrix} 1 \\ e^{-i\psi} \end{pmatrix} \equiv \frac{1}{\sqrt{2}}(|0\rangle + e^{-i\psi}|1\rangle)$$

$$919 \quad |-\rangle = \begin{pmatrix} e^{i\psi} \sin \left(-\frac{\pi}{4}\right) \\ \cos \frac{\pi}{4} \end{pmatrix} = \frac{-1}{\sqrt{2}} \begin{pmatrix} e^{i\psi} \\ -1 \end{pmatrix} \equiv \frac{-1}{\sqrt{2}}(e^{i\psi}|0\rangle - |1\rangle)$$

920 Betrachten wir den Ausgangszustand  $|0\rangle \equiv \begin{pmatrix} 1 \\ 0 \end{pmatrix}$  Dann ist  $\alpha_+ = \frac{1}{\sqrt{2}}$ ,  $\alpha_- = -\frac{e^{-i\psi}}{\sqrt{2}}$

$$\begin{aligned} |\psi, t\rangle &= \frac{1}{\sqrt{2}} e^{i(a+|c|)t/\hbar} \alpha_+ |+\rangle + \frac{1}{\sqrt{2}} e^{i(a-|c|)t/\hbar} \alpha_- |-\rangle \\ &= \frac{1}{2} (e^{i(a+|c|)t/\hbar} |+\rangle + e^{i(a-|c|)t/\hbar} e^{-i\psi} |-\rangle) \\ &= \frac{1}{2} e^{iat/\hbar} (|0\rangle (e^{i|c|t/\hbar} + e^{-i|c|t/\hbar}) + |1\rangle e^{-i\psi} (e^{i|c|t/\hbar} - e^{-i|c|t/\hbar})) \\ &= e^{iat/\hbar} \left( \cos \frac{|c|t}{\hbar} |0\rangle + \sin \frac{|c|t}{\hbar} e^{-i\psi} |1\rangle \right) \end{aligned}$$

921 Die gemeinsame Phase  $e^{iat/\hbar}$  ist ohne weiteren Belang. Interessant ist, dass der Zustand  
 922 nach der Zeit  $\frac{|c|t_{\perp}}{\hbar} = \frac{\pi}{2}$ , d.h. nach  $t_{\perp} = \frac{\pi\hbar}{2|c|} = \frac{\pi\hbar}{E_+ - E_-}$  vom Zustand  $|0\rangle = \begin{pmatrix} 1 \\ 0 \end{pmatrix}$  zum  
 923 orthogonalen Zustand  $\mathbf{i}e^{-i\psi}|1\rangle = \begin{pmatrix} 0 \\ \mathbf{i}e^{-i\psi} \end{pmatrix}$  übergeht.

924 Ganz allgemein sieht man direkt: Haben wir zwei Zustände  $|0\rangle$  und  $|2E\rangle$  mit der Energie  
 925 respective 0 und  $2E$ , so geht der Zustand  $|\psi(0)\rangle = \frac{1}{\sqrt{2}}(|0\rangle + |2E\rangle)$  nach der Zeit  $t = \frac{\pi\hbar}{2E}$  in den  
 926 orthogonalen Zustand  $|\psi(0)\rangle = \frac{1}{\sqrt{2}}(|0\rangle - |2E\rangle)$  über. Dies wird in arXiv:quant-ph/9710043v2  
 927 zur Basis von Überlegungen zur Maximalgeschwindigkeit dynamischer Entwicklungen ge-  
 928 macht (Vorsicht: die Autoren benutzen sowohl  $\hbar$  als auch  $h = \hbar/(2\pi)$ )

929 Man beachte dass durch die zeitliche Entwicklung die Relative Phase vom Zustand zur Zeit  
 930  $t = 0$  zu allen Zuständen einer späteren Zeit festgelegt ist.

931 Um einigermaßen stabile Zustände zu erreichen, muss man den Anfangszustand so wählen,  
 932 dass er in einem Grundzustand (in obigem Falle also  $|-\rangle$ ) ist oder in einem angeregten ato-  
 933 maren Zustand, der aufgrund der Quantenzahlen metastabil ist, z.B. in einem  ${}^3P_2$  Zustand  
 934 über einem  ${}^1S_0$ -Zustand. Den angeregten metastabilen Zustand kann man durch optisches  
 935 Pumpen, z.B. über einen noch höheren Zustand bevölkern.

## st-g6 937 2.2 Der Stern Gerlach Versuch als Prototyp einer Mes- sung

### 938 2.2.1 Drehimpuls und magnetisches Moment

939 Ein wichtiges physikalisches System, das in einem 2-dimensionalen Hilbertraum beschrieben  
 940 wird und das Physikern besonders vertraut ist, ist ein Teilchen mit Spin  $1/2$ . Wir wollen  
 941 hier nicht die ganze Drehimpulsgymnastik vorführen, die auf der Darstellungstheorie der  
 942 Drehgruppe basiert, sondern beschränken uns auf die Ergebnisse. Besonderes Augenmerk  
 943 richten wir dabei auf den Messprozess, der sich hier in vielen seinen Facetten sehr anschaulich  
 944 darstellen lässt.

945 Nach den Gesetzen der klassischen Elektrodynamik und dem Korrespondenzprinzip leitet  
 946 man für die Wechselwirkungsenergie eines auf einer geschlossenen Bahn sich bewegenden  
 947 geladenen Teilchens mit dem Drehimpuls  $\vec{L}$  und einem Magnetfeld  $\vec{B}$  die Wechselwirkungs-  
 948 energie

$$H_W = \mu(\vec{L} \cdot \vec{B}), \quad (2.39)$$

949 wobei  $\mu = \frac{e\hbar}{2m}$  mit  $e$  der Ladung und  $m$  der Masse des Teilchens ist.

Für Ladung und Masse eines Elektrons hat  $\mu$  den Wert

$$\mu_B = -9.27 \dots \text{ J/T (Joule durch Tesla).}$$

950 ( Das  $-$  Zeichen kommt von der negativen Ladung des Elektrons)

951 Für ein Elektron ist die Beziehung zwischen Energie im Magnetfeld und Gesamtdrehimpuls:

$$H_W = -\mu_B(\vec{\mathbf{L}} + \mu_{an}\frac{1}{2}\vec{\sigma}) \cdot \vec{B} \quad \mu_{an} \approx 2 \quad \boxed{\text{muH}} \quad (2.40)$$

952 Die Geschichte des Spins, des Drehimpulses und der magnetischen Momente ist ein *high-Tech*  
 953 und ein *High-Math-Krimi* mit den hauptsächlichen Helden Pauli <sup>1</sup>, Dirac, Weil und Stern.  
 954 Er gab der Entwicklung der modernen Physik (und Technik) wesentliche Impulse.

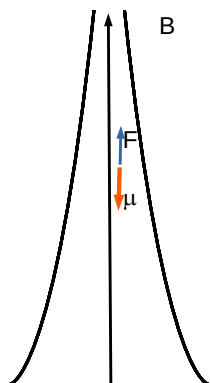
955 Das magnetische Moment erlaubt eine einfache Messung des Spins  $\mathbf{J}_3^{(S)}$  eines Teilchens.

956 Ein inhomogenes Magnetfeld übt auf einen Dipol eine Kraft aus, sie ist in der klassischen  
 957 E-dynamik

$$F = \vec{\partial}(\mu \cdot B) \quad (2.41)$$

958 Ist kann man die Ortsabhängigkeit von  $\mu$  vernachlässigen, so erhält man:

$$F_i = \sum_k (\mu_k \cdot \frac{\partial}{\partial x_i} B_k(x)) \quad (2.42)$$



959

960 Haben wir ein starkes Magnetfeld in 3 Richtung mit einer geringen Inhomogenität  $\partial_3 B_3 > 0$   
 961 so wird eine Komponente  $(\vec{\mu} \cdot \vec{F}) > 0$  nach oben und die andere  $(\vec{\mu} \cdot \vec{F}) < 0$  nach unten  
 962 abgelenkt.

963 Das magnetische Moment eines Elektrons is, s. (2.40) ist  $-\mu_{an}\mu_B \underbrace{\mathbf{J}_3^{(S)}}_{\frac{1}{2}\sigma_3}$  und deswegen werden

964 die beiden möglichen Spin-Einstellungen  $\pm\frac{1}{2}$  in verschiedene Richtungen abgelenkt.

965 Man betrachtet einen Strahl von Spin  $\frac{1}{2}$  Teilchen, z.B. neutrale Silberatome, bei denen nur  
 966 der Spin des Aussenelektrons ( $\mathbf{L} = 0$ ) beiträgt.

967 Dass Stern und Gerlach diese Aufspaltung 1922 tatsächlich nachweisen konnten, war ganz  
 968 entscheidend für die Akzeptanz der QM, (d.h. der alten QM von Planck, Einstein, Bohr

---

<sup>1</sup>Eine zusätzliche Pointe: Der Spin als Eigendrehimpuls  $\frac{1}{2}$  wurde 1925 von den jungen Physikern Goudsmit und Uhlenbeck vorgeschlagen. Sie bekamen nach der Einreichung der Arbeit kalte Füße und wollten sie zurückziehen. Aber der Herausgeber Ehrenfest, meinte: "Sie sind beide jung genug, um sich eine Dummheit leisten zu können"

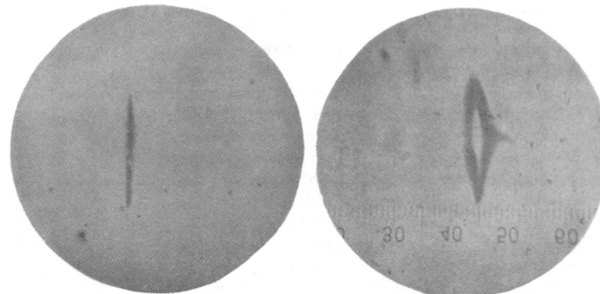
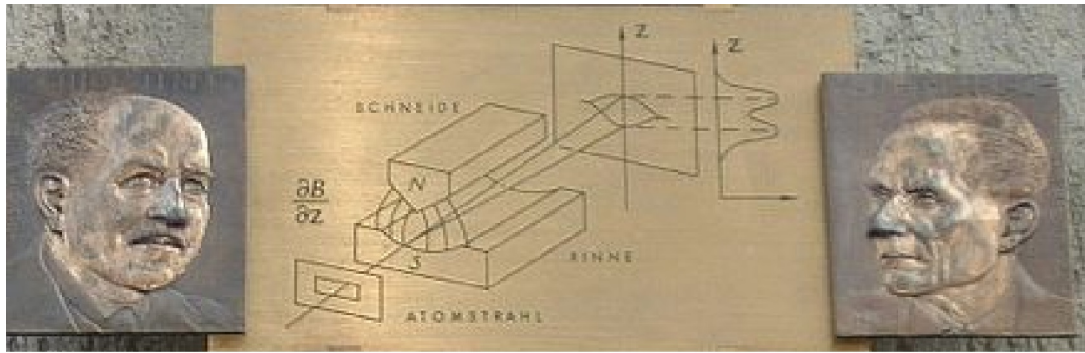


Fig. 2.

Fig. 3.

Abbildung 2.1: Tafel zur Erinnerung an das Stern-Gerlach Experiment in Frankfurt, Abb. der Aufspaltung aus der Originalarbeit

969 und Sommerfeld). Pauli an Gerlach: „Jetzt wird wohl auch der ungläubige Stern von der  
 970 Richtungsquantelung überzeugt sein.“ Die Zweifel Stern’s waren zu dieser Zeit mehr als  
 971 berechtigt: 1922 gab es noch keine Quantentheorie sondern nur zusätzliche Vorschriften zur  
 972 klassischen Physik.

### 973 2.2.2 Der Stern Gerlach Versuch als Realisierung eines Messpro- 974 zesses

975 Der Stern-Gerlach Versuch ist also eine Realisierung für den Messprozess der Drehimpulskon-  
 976 ponente ( $\vec{e}_H \cdot \vec{J}$ ). Ist die (Haupt-)Richtung des Magnetfelds die z-Achse, so ist die Observable  
 977  $\mathbf{J}_3 = \frac{1}{2}\sigma_3$  und die beiden Messoperatoren sind die Projektionen

$$\mathbf{P}_{\uparrow 3} = |\uparrow_3\rangle\langle\uparrow_3| = \begin{pmatrix} 1 \\ 0 \end{pmatrix} \otimes \begin{pmatrix} 1 \\ 0 \end{pmatrix} = \begin{pmatrix} 1 & 0 \\ 0 & 0 \end{pmatrix} \quad (2.43)$$

$$\mathbf{P}_{\downarrow 3} = |\downarrow_3\rangle\langle\downarrow_3| = \begin{pmatrix} 0 \\ 1 \end{pmatrix} \otimes \begin{pmatrix} 0 \\ 1 \end{pmatrix} = \begin{pmatrix} 0 & 0 \\ 0 & 1 \end{pmatrix} \quad (2.44)$$

978 Ein Zustand  $|\psi\rangle = \begin{pmatrix} \alpha \\ \beta \end{pmatrix}$ , mit  $|\alpha|^2 + |\beta|^2 = 1$  wird also nach dem quantenmechanischem  
 979 Messprozess (Axiom 3) sich mit der Wahrscheinlichkeit

$$980 \|\mathbf{P}_{\uparrow 3}|\psi\rangle\|^2 = |\alpha|^2 \text{ im Zustand } \begin{pmatrix} 1 \\ 0 \end{pmatrix} = |\uparrow_3\rangle$$

981 befinden und mit der Wahrscheinlichkeit

$$982 \|\mathbf{P}_{\downarrow 3}|\psi\rangle\|^2 = |\beta|^2 \text{ im Zustand } \begin{pmatrix} 0 \\ 1 \end{pmatrix} = |\downarrow_3\rangle.$$

983 Schicken wir einen Strahl von Teilchen in diesem Zustand  $|\psi\rangle$  durch einen in  $z$  Richtung  
 984 inhomogenen Magneten (Abb. <sup>stern-a</sup> 2.2) so wird die  $|\uparrow\rangle$  Komponente in Richtung des abnehmen-  
 985 den Magnetfelds abgelenkt, und entsprechend, die  $|\downarrow\rangle$  in die entgegengesetzte Richtung. Die  
 986 Intensität des einen abgelenkten Strahles ist also  $|\alpha|^2$ , die des anderen  $|\beta|^2$ .

987 Schicken wir den einen Strahl, der sich nach der Ablenkung im Zustand  $\mathbf{P}_{\uparrow 3}|\psi\rangle$  durch einen  
 988 zweiten Stern Gerlach in  $z$  Richtung, wird dieser nicht mehr aufgespalten (Abb. <sup>stern-a</sup> 2.2.

989 Wird der Magnet so gedreht, dass die Hauptrichtung des Feldes in die  $x$ -Achse zeigt, so ist  
 990 die Observable  $\mathbf{J}_1 = \frac{1}{2}\boldsymbol{\sigma}_1$  und die beiden Messoperatoren sind die Projektionen

$$\mathbf{P}_{\uparrow 1} = |\downarrow_1\rangle\langle\downarrow_1| = \frac{1}{2} \begin{pmatrix} 1 \\ 1 \end{pmatrix} \otimes \begin{pmatrix} 1 \\ 1 \end{pmatrix} = \frac{1}{2} \begin{pmatrix} 1 & 1 \\ 1 & 1 \end{pmatrix} \quad (2.45)$$

$$\mathbf{P}_{\downarrow 1} = |\downarrow_1\rangle\langle\downarrow_1| = \frac{1}{2} \begin{pmatrix} 1 \\ -1 \end{pmatrix} \otimes \begin{pmatrix} 1 \\ -1 \end{pmatrix} = \frac{1}{2} \begin{pmatrix} 1 & -1 \\ -1 & 1 \end{pmatrix} \quad (2.46)$$

991 Der gleiche Zustand  $\psi = \begin{pmatrix} \alpha \\ \beta \end{pmatrix}$  wird also nach der Messung sich mit der Wahrscheinlichkeit

992 Wird der Magnet so gedreht, dass die Hauptrichtung des Feldes in die  $x$ -Achse zeigt, so ist  
 993 die Observable  $\mathbf{J}_1 = \frac{1}{2}\boldsymbol{\sigma}_1$  und die beiden Messoperatoren sind die Projektionen

$$\mathbf{P}_{\uparrow 1} = |\downarrow_1\rangle\langle\downarrow_1| = \frac{1}{2} \begin{pmatrix} 1 \\ 1 \end{pmatrix} \otimes \begin{pmatrix} 1 \\ 1 \end{pmatrix} = \frac{1}{2} \begin{pmatrix} 1 & 1 \\ 1 & 1 \end{pmatrix} \quad (2.47)$$

$$\mathbf{P}_{\downarrow 1} = |\downarrow_1\rangle\langle\downarrow_1| = \frac{1}{2} \begin{pmatrix} 1 \\ -1 \end{pmatrix} \otimes \begin{pmatrix} 1 \\ -1 \end{pmatrix} = \frac{1}{2} \begin{pmatrix} 1 & -1 \\ -1 & 1 \end{pmatrix} \quad (2.48)$$

994 Der gleiche Zustand  $\psi = \begin{pmatrix} \alpha \\ \beta \end{pmatrix}$  wird also nach der Messung sich mit der Wahrscheinlichkeit

995  $\|\mathbf{P}_{\uparrow 1}|\psi\rangle\|^2 = |\alpha + \beta|^2$  sich im Zustand  $\frac{1}{\sqrt{2}} \begin{pmatrix} 1 \\ 1 \end{pmatrix} = |\rightarrow_1\rangle$  befinden und mit  $\|\mathbf{P}_{\downarrow 1}|\psi\rangle\|^2 =$

996  $|\alpha - \beta|^2$  sich im Zustand  $\frac{1}{\sqrt{2}} \begin{pmatrix} 1 \\ -1 \end{pmatrix} = |\downarrow_1\rangle$ .

997 Die Intensität des einen abgelenkten Strahles ist also  $\frac{1}{4}|\alpha + \beta|^2$ , die des anderen  $\frac{1}{4}|\alpha - \beta|^2$ .  
 998 Schicken wir den einen Strahl im Zustand  $\mathbf{P}_{\uparrow 1}|\psi\rangle$  durch einen zweiten Stern Gerlach in  $x$   
 999 Richtung, wird dieser nicht mehr aufgespalten, da gilt  $\mathbf{P}_{\uparrow 1}\mathbf{P}_{\uparrow 1}|\psi\rangle = \mathbf{P}_{\uparrow 1}|\psi\rangle$

1000 Der grösste Widerspruch zur klassischen Erwartung entsteht, wenn wir erst an einen Strahl  
 1001 der nur aus  $|\uparrow_3\rangle$  besteht durch einen nach  $\mathbf{J}_1$  sortierenden Stern-Gerlach schicken und an  
 1002 dem den Teill mit den  $|\rightarrow_1\rangle$  noch einmal  $\mathbf{J}_3$  misst.

1003 Da der Strahl beim ersten Stern-Gerlach schon nach dem Spin in  $+z$ -Richtung sortiert wurde,  
 1004 erwartet man nach den Prinzipien der klassischen Physik dass er nun nicht mehr aufspaltet,  
 1005 da ja im 1. Versuch nur  $|\uparrow_3\rangle$  ausgewählt wurden.

1006 Die QM liefert aber ein anderes Resultat. Nach dem Durchgang durch durch den 1. Stern  
 1007 Gerlach befindet sich  $|\psi\rangle = \begin{pmatrix} \alpha \\ \beta \end{pmatrix}$  im Zustand  $\mathbf{P}_{\uparrow_3}|\psi\rangle = \begin{pmatrix} \alpha \\ 0 \end{pmatrix}$ . Nachdem durchgang durch  
 1008 den 2. Stern-Gerlach, der nach  $\mathbf{J}_1$  sortiert, ist der Teil, dessen Spin in  $+x$  Richtung zeigt  
 1009 nach dem Messaxiom im Zustand

$$\mathbf{P}_{\uparrow_1} \cdot \mathbf{P}_{\uparrow_3}|\psi\rangle = \frac{1}{2} \begin{pmatrix} 1 & 1 \\ 1 & 1 \end{pmatrix} \begin{pmatrix} \alpha \\ 0 \end{pmatrix} = \frac{1}{2}\alpha \begin{pmatrix} 1 \\ 1 \end{pmatrix} \quad (2.49)$$

1010 enthält also wieder eine  $|\downarrow_3\rangle$  Komponente und zwar mit der gleichen Intensität wie die  $|\uparrow_3\rangle$   
 1011 Komponente, Siehe Abb. stern-b 2.3.

1012 Dass der Zustand nach der 2. Messung eine kleine  $|\downarrow_3\rangle$  Komponente enthält, könnte man  
 1013 klassisch ja noch als Verunreinigung durch die 2. Messung verstehen, aber beobachtet ist  
 1014 genau die quantenmechanische Vorhersage.

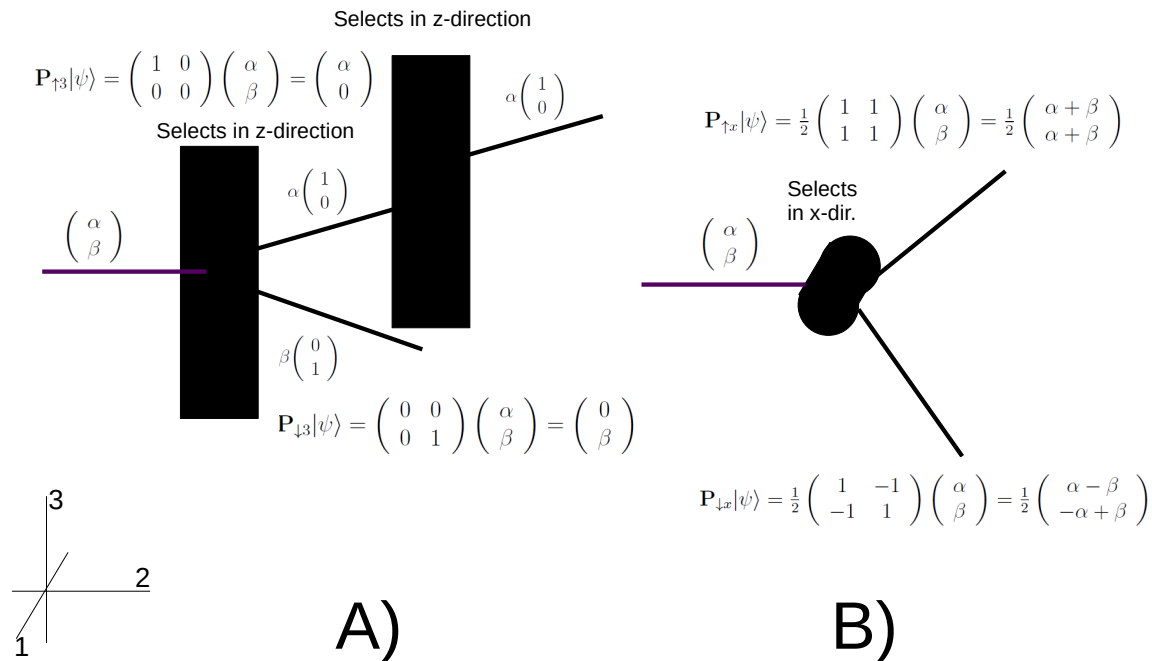


Abbildung 2.2: stern-a

1015 Dieses Ergebnis, inclusive der Intensität, wird von der QM vorhergesagt und ist in vielen  
 1016 Fällen bestätigt. Dennoch ist es keine direkte Widerlegung der klassischen Vorstellung, denn  
 1017 man kann sich ja immer noch vorstellen, dass bei der Messung durch eine noch unbekannt  
 1018 Parameter die Aufspaltung beeinflusst wird. Dies wird in der Bohm'schen Formulierung der  
 1019 QM versucht.

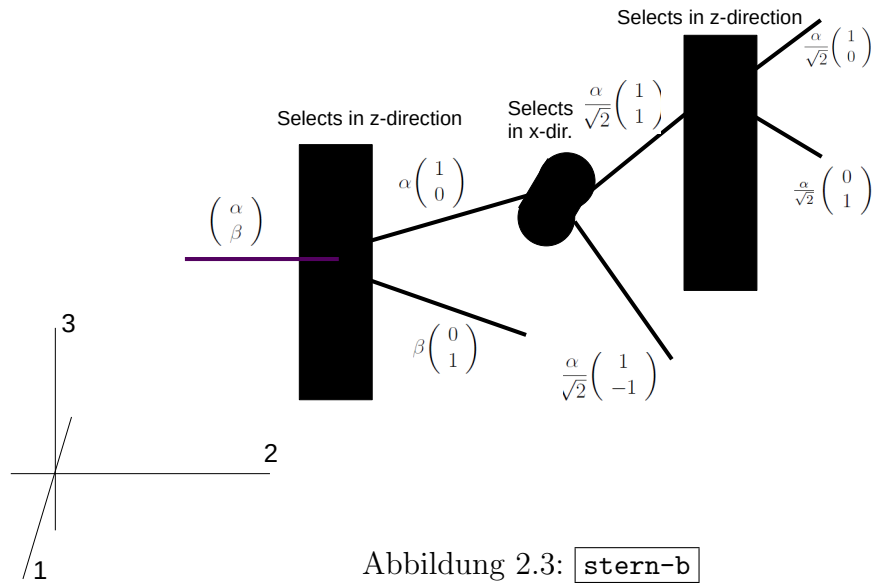


Abbildung 2.3: stern-b

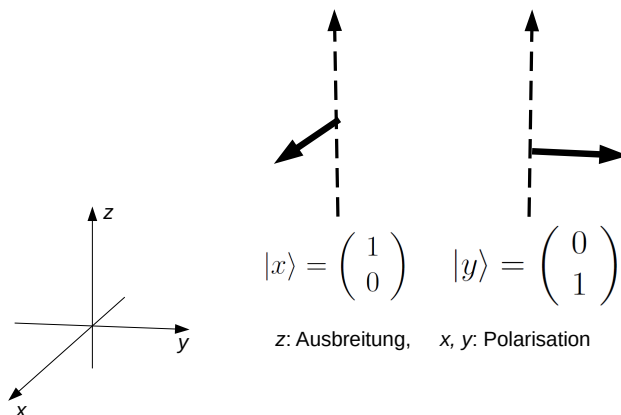
1020 **2.2.2.0.1 Stern-Gerlach als Prototyp einer Präparation oder eines Gatters** Ein  
 1021 einzelnes Teilchen, das durch einen Stern-Gerlach in  $z$  Richtung in  $+z$  Richtung abgelenkt  
 1022 wurde, ist sicher im Zustand  $\begin{pmatrix} 1 \\ 0 \end{pmatrix}$ . Wird dieses Teilchen um die  $y$  Achse um 90 Grad  
 1023 gedreht, z.B. in dem man es durch einen  $x$ -gerichteten Stern-Gerlach schickt und in die  $+x$   
 1024 Richtung abgelenkte selektiert, befindet es sich sicher im Zustand  $\frac{1}{\sqrt{2}} \begin{pmatrix} 1 \\ 1 \end{pmatrix}$ . Drehen wir  
 1025 diesen Spinor, beispielsweise um die  $y$ -Achse um den Winkel  $\theta$ , so ist er, danach im Zustand,  
 1026 s. (2.21)

$$\mathbf{U} \frac{1}{\sqrt{2}} \begin{pmatrix} 1 \\ 1 \end{pmatrix} = \begin{pmatrix} \cos \frac{\theta}{2} & -i \sin \frac{\theta}{2} \\ i \sin \frac{\theta}{2} & \cos \frac{\theta}{2} \end{pmatrix} \frac{1}{\sqrt{2}} \begin{pmatrix} 1 \\ 1 \end{pmatrix} = \frac{1}{\sqrt{2}} \begin{pmatrix} e^{-i\frac{\theta}{2}} \\ e^{i\frac{\theta}{2}} \end{pmatrix} = \frac{e^{-i\frac{\theta}{2}}}{\sqrt{2}} \begin{pmatrix} 1 \\ e^{i\theta} \end{pmatrix} \quad (2.50)$$

### 1027 2.2.2.1 Polarisierte Photonen

1028 Mögliche wichtige Realisierungen von Qubits sind Photonen, die Quanten des EM-Feldes.  
 1029 Sie haben zwar den Gesamtspin 1, aber da die Felder einer elektromagnetischen Welle senkrecht  
 1030 senkrecht zur Ausbreitungsrichtung stehen, gibt es nur zwei linear unabhängige Polarisations-  
 1031 richtungen. Daher haben die Photonen 2 Polarisationszustände senkrecht zur Ausbreitungs-  
 1032 richtung. Sie sind deswegen auch mögliche Realisierungen eines Qubits.  
 1033 Im folgenden sei die Ausbreitungsrichtung die 3-Richtung, die  $z$ -Achse, dann zeigen die Polarisations-  
 1034 richtungen in die 1 oder 2-Richtung, die  $x$  und die  $y$  Achse. Wir wollen diese beiden Zustände  
 1035 mit  $|x\rangle$  und  $|y\rangle$  bezeichnen, die wir wieder durch Spinoren darstellen können

$$|x\rangle \equiv \begin{pmatrix} 1 \\ 0 \end{pmatrix}; \quad |y\rangle \equiv \begin{pmatrix} 0 \\ 1 \end{pmatrix} \quad (2.51)$$



1036

1037 Bei einer Drehung um die Ausbreitungs (z) Richtung gilt:

$$|x\rangle \rightarrow \cos \theta |x\rangle + i \sin \theta |y\rangle \quad (2.52)$$

$$|y\rangle \rightarrow -i \sin \theta |x\rangle + \cos \theta |y\rangle \quad (2.53)$$

1038 Die unitäre Darstellung dieser Drehung ist also

$$\mathbf{U}(\theta) = \begin{pmatrix} \cos \theta & i \sin \theta \\ -i \sin \theta & \cos \theta \end{pmatrix} \quad (2.54)$$

1039 Die bei einem Emissionsprozess erzeugten Photonen sind i. A. Eigenzustände dieser Matrix,  
1040 die sog. rechts und links-polarisierten Photonen:

$$|R\rangle = \sqrt{\frac{1}{2}} \begin{pmatrix} 1 \\ i \end{pmatrix}; \quad |L\rangle = \sqrt{\frac{1}{2}} \begin{pmatrix} i \\ 1 \end{pmatrix} \quad (2.55)$$

1041 mit

$$\mathbf{U}(\theta)|R\rangle = e^{i\theta}|R\rangle; \quad \mathbf{U}(\theta)|L\rangle = e^{-i\theta}|L\rangle \quad (2.56)$$

1042  $|R\rangle, |L\rangle$  sind Eigenvektoren zu dem Generator der Rotation um die z-Achse:  $\mathbf{J} = \sigma_2$  mit den  
1043 Eigenwerten  $\pm 1$ .

204

## 2.3 2 und mehr Qubits

### 1045 2.3.1 Notation

1046 Wir wählen für Qubits generell die Notation:

$$|0\rangle \equiv \begin{pmatrix} 1 \\ 0 \end{pmatrix} = |+\frac{1}{2}\rangle; \quad |1\rangle \equiv \begin{pmatrix} 0 \\ 1 \end{pmatrix} = |-\frac{1}{2}\rangle \quad (2.57)$$

1047 und für mehrere Qubits:

$$|mnr, \dots\rangle \equiv |m\rangle \otimes |n\rangle \otimes |r\rangle \otimes \dots \quad m, n, r \in 0, 1 \quad (2.58)$$

Wollen wir die Basisvektoren abzählen, hilft das Dualsystem. Jede Zahl  $j$  kann eindeutig als Dualzahl dargestellt werden  $j = \sum_k m_k 2^k$ . Für den  $\ell$ -Qubit Zustand  $|m_\ell m_{\ell-1} \dots m_0\rangle$  können wir abgekürzt schreiben:

$$|m_\ell m_{\ell-1} \dots m_0\rangle = |j\rangle_d \quad \text{wobei } j = m_\ell \cdot 2^\ell + m_{\ell-1} \cdot 2^{\ell-1} + \dots + m_0 \cdot 2^0$$

1048 Das Subskript  $d$  wird von den an das Dualsystem gewöhnten Informatikern oft weggelassen,  
1049 wenn eine Zahl grösser als 1 im  $| \rangle$  oder  $\langle$  steht, wird diese als Dualzahl interpretiert. z.B.

$$|1\rangle_A \otimes |0\rangle_B \otimes |1\rangle_C \equiv |101\rangle \equiv |5\rangle_d \quad \text{in Cartesischer Basis} \equiv \begin{pmatrix} 0 \\ 0 \\ 0 \\ 0 \\ 0 \\ 1 \\ 0 \\ 0 \end{pmatrix}$$

### 1050 2.3.2 Quantenteleportation

1051 Der Zustand aus 2 Spins mit dem Gesamtspin 0 hat die Form:

$$\frac{1}{\sqrt{2}}(|\uparrow_3\rangle_A \otimes |\downarrow_3\rangle_B - |\downarrow_3\rangle_A \otimes |\uparrow_3\rangle_B) \equiv \frac{1}{\sqrt{2}}(|01\rangle - |10\rangle) \quad (2.59) \quad \boxed{\text{ver}}$$

1052 d.h.  $\vec{J}_{AB}^2 \frac{1}{\sqrt{2}}(|01\rangle - |10\rangle) = 0$ ; mit  $\vec{J}_{AB}^2 = \left(\frac{1}{4}(\vec{\sigma}_A \otimes \mathbf{I}_B + \mathbf{I}_A \otimes \vec{\sigma}_B)^2\right)$  (2.60)

1053 Informatiker lassen zwar meist die Indices  $A, B$  weg, sprechen aber gern vom ersten Hil-  
1054 bertraum mit der Beobachterin Alice und vom zweiten mit dem Beobachter Bob. In einer  
1055 Vorlesung über QC ist es sinnvoll, sich dieser Konvention anzuschliessen.

Angenommen, Alice und Bob befinden sich auf zwei Raumstationen die weit auseinander liegen. In der Mitte zerfällt ein Zustand mit dem Gesamtspin 0 in zwei Spin  $\frac{1}{2}$  Teilchen. Der Zustand ist also:

$$|\psi(t)\rangle = A(y_1, t) B(y_2, t) (|\uparrow_3\rangle_A \otimes |\downarrow_3\rangle_B - |\downarrow_3\rangle_A \otimes |\uparrow_3\rangle_B) \equiv A(y_1, t) B(y_2, t) (|01\rangle - |10\rangle)$$

1056 Die Wellenpakete  $A(y, t) B(y, t)$  überlappen zur Zeit  $t = 0$ ,  $\phi_A(y, t)$  fliegt nach links zu Alice,  
1057  $\psi_B(y, t)$  nach rechts zu Bob, zu einem späteren Zeitpunkt haben  $A$  und  $B$  weit entfernte  
1058 Träger.

1059 Auf beiden Raumstationen sind Stern Gerlachs installiert, die beide streng parallel in  $z$   
 1060 Richtung ausgerichtet sind. Alice und Bob messen also beide die Observable  $\mathbf{J}_3 = \frac{1}{2}\sigma_3$ .

1061 Wenn Alice zur Zeit  $\tau$  bei der Messung einen nach oben abgelenkten Zustand findet (d.h.  
 1062  $|\uparrow_3\rangle$ ), so ist der Zustand zu  $B(y, \tau)(|\uparrow_3\rangle_A \otimes |\downarrow_3\rangle_B)$  kollabiert:

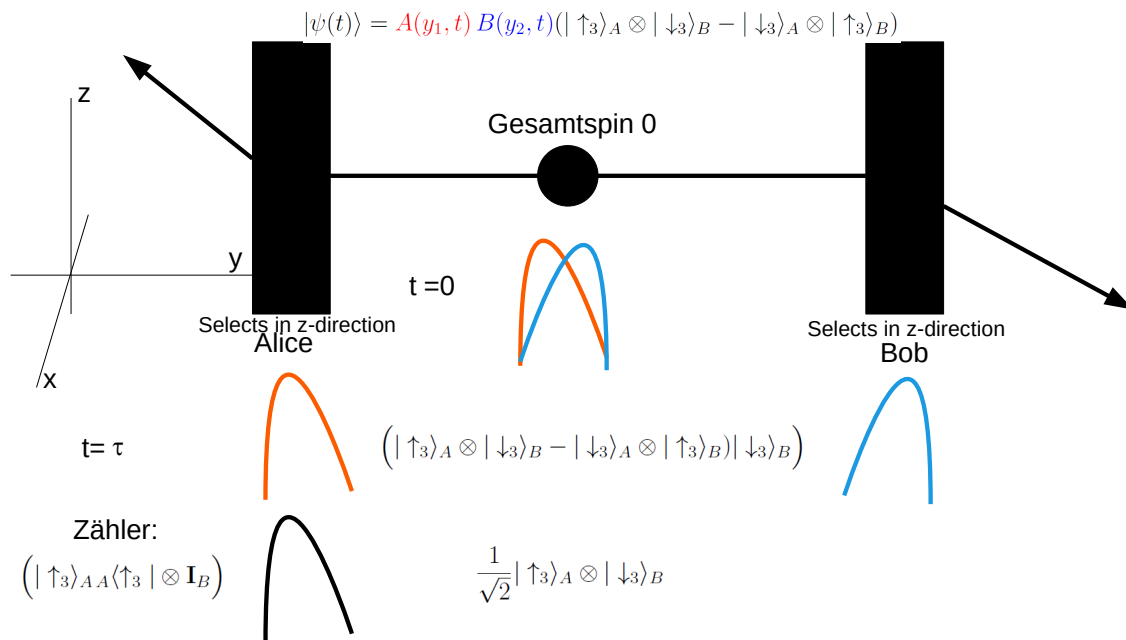
$$|\psi(\tau)\rangle \rightarrow \int dy_1 \overbrace{Z_A(y_1)}^{\approx 1} A(\tau, y_1) B(\tau, y_2) \quad (2.61)$$

$$\left( |\uparrow_3\rangle_A \langle \uparrow_3| \otimes \mathbf{I}_B \right) \left( |\uparrow_3\rangle_A \otimes |\downarrow_3\rangle_B - |\downarrow_3\rangle_A \otimes |\uparrow_3\rangle_B \right) |\downarrow_3\rangle_B \quad (2.62)$$

$$= B(\tau, y^{(2)}) |\downarrow_3\rangle_B \quad (2.63)$$

1063 und sie weiss in dem Augenblick der Messung, dass Bob, wenn er die Messung auch zum  
 1064 gleichem Augenblick durchföhrt, den Spin seines Teilchens nach unten gerichtet messen  
 1065 muss. Allerdings wird damit keine Information und keine Materie transportiert!

1066 Etwas realistischer ist das analoge Gedankenexperiment mit links und rechtspolarisierten  
 1067 Photonen.



1068

1069 I

1070 Obwohl die Änderung (Kollaps) der Wellenfunktion instantan ist, lassen sich damit keine  
 1071 Signale mit Überlichtgeschwindigkeit übermitteln, da ja Bob nicht das Ergebnis der Messung  
 1072 von Alice kennt.

### 1073 2.3.3 Zeitliche Entwicklung in einem Produktraum

1074 Seien  $\mathcal{H}_A$  und  $\mathcal{H}_B$  zwei isomorphe Hilberträume (gleiche Dimension). Wir wollen zeigen, dass  
 1075 es keine zeitliche Entwicklung (oder allgemein keine unitäre Entwicklung) gibt, die beliebigen  
 1076 einen Zustand von  $\mathcal{H}_A$  nach  $\mathcal{H}_B$  kopiert.

1077 NB:  $(\mathbf{A}|\lambda)^\dagger = \langle \lambda | \mathbf{A}^\dagger |$ ;  $\mathbf{U}$  unitär:  $\mathbf{U}^\dagger \mathbf{U} = \mathbf{I}$ ; z. B.  $\mathbf{U} = e^{i\mathbf{H}t}$ ;

1078 Seien  $|\psi\rangle, |\phi\rangle, |\eta\rangle$  drei Quantenzustände (d.h. normierte Vektoren) aus  $\mathcal{H}_A$  oder  $\mathcal{H}_B$ . Die  
 1079 unitäre Transformation  $\mathbf{U}$  in  $\mathcal{H}_A \otimes \mathcal{H}_b$  soll Zustände von  $\mathcal{H}_A$  nach  $\mathcal{H}_B$  “kopieren”, dh. es soll  
 1080 gelten:

$$\mathbf{U}(|\psi\rangle \otimes |\eta\rangle) = (|\psi\rangle \otimes |\psi\rangle); \quad \mathbf{U}(|\phi\rangle \otimes |\eta\rangle) = (|\phi\rangle \otimes |\phi\rangle) \quad (2.64) \quad \boxed{\text{hyp}}$$

1081 Daraus (<sup>hyp</sup>2.64) folgt:

$$\langle (\langle \psi | \otimes \langle \eta |) \mathbf{U}^\dagger | \mathbf{U} (|\phi\rangle \otimes |\eta\rangle) \rangle = \langle (\langle \psi | \otimes \langle \psi |) | (|\phi\rangle \otimes |\phi\rangle) \rangle = \langle \psi | \phi \rangle \langle \psi | \phi \rangle \quad (2.65) \quad \boxed{\text{hyp2}}$$

1082 aus der Unitarität folgt:

$$\langle (\langle \psi | \otimes \langle \eta |) \mathbf{U}^\dagger | \mathbf{U} (|\phi\rangle \otimes |\eta\rangle) \rangle = \langle (\langle \psi | \otimes \langle \eta |) | (|\phi\rangle \otimes |\eta\rangle) \rangle = \langle \psi | \phi \rangle \langle \eta | \eta \rangle \quad (2.66) \quad \boxed{\text{hyp3}}$$

1083 d.h. aus (<sup>hyp2</sup>2.65) und (<sup>hyp3</sup>2.66) folgt  $\langle \psi | \phi \rangle^2 = \langle \psi | \phi \rangle$  (2.67)

1084 Daraus folgt, dass entweder  $\langle \psi | \phi \rangle = 1$  oder  $\langle \psi | \phi \rangle = 0$  sein muss. Die Transformation (<sup>hyp</sup>2.64)  
 1085 gilt also nichttrivial nur, wenn  $|\psi\rangle \perp$  auf  $|ph\rangle$  steht. Damit ist gezeigt, dass es keine allgemeine  
 1086 unitäre “Kopiertransformation” für Quantenzustände gibt.

1087 William Wootters und Wojciech Zurek (1982 )

### 1088 2.3.4 Die Bellschen Ungleichungen

1089 Grob gesagt: Die Bell’schen Ungleichungen gälten, wenn die Physik so realistisch wäre, wie  
 1090 Einstein es sich vorstellte. Ihre Verletzung besagt: Selbst wenn man neben den beobacht-  
 1091 baren Grössen noch verborgene Parameter einführt, so müssen diese die selben spukhaften,  
 1092 d.h. nichtlokalen Eigenschaften haben, die Einstein (und viele andere) an der QM kritisier-  
 1093 ten. Schon sehr bald wurden Experimente durchgeführt, die die Verletzung der Bell’schen  
 1094 Ungleichungen belegen.

1095 Wenn wir das Experiment von Alice und Bob nach Einstein interpretieren, dann ist die  
 1096 Tatsache, dass der Zustand bei Bob **sicher** nach unten abgelenkt wird, wenn er bei Alice  
 1097 nach oben abgelenkt wird, ein Zeichen dafür, dass diese Ablenkung des Spins nach unten  
 1098 auf eine feste physikalische Eigenschaft zurückgeführt werden kann. Sie kommt ihm zu, egal  
 1099 was Alice an ihrem Stern-Gerlach macht. Die Unsicherheit, dass er nämlich manchmal nach  
 1100 oben, manchmal nach unten abgelenkt wird, muss an verborgenen Parametern liegen, die  
 1101 wir noch nicht kennen.

1102 Wenn wir die Ergebnisse der QM nicht infrage stellen, so ist es ziemlich egal, ob die oben  
 1103 angeführten Axiome endgültig sind, oder ob es noch irgendwelche verborgene Parameter  
 1104 gibt. Von daher gesehen, sind die Bell’schen Ungleichungen für das Quantenrechnen nicht

1105 von grosser Bedeutung. Da aber in der Literatur oft ein verschiedener Standpunkt vertreten  
 1106 wird, sein diese Ungleichungen hier kurz behandelt, zumal sie wesentlich zum Verständnis  
 1107 der Besonderheiten der QM beitragen.

1108 Bei vorher dem beschriebenen Experimenten sind die Stern-Gerlachs stets in die selbe Rich-  
 1109 tung  $\vec{a}$  ausgerichtet. Beim Experiment misst Alice den (doppelten) Spin in diese Richtung  $\vec{a}$ ,  
 1110 d.h. manchmal +1 manchmal  $-1$ , der resultierende Erwartungswert ist 0:  $\langle \vec{\sigma} \cdot \vec{a} \rangle = 0$ , genauso  
 1111 ist es bei Bob. Wenn aber beide den gleichen Zustand mit Gesamtspin 0 untersuchen, dann  
 1112 ist das Ergebnis stets  $-1$ :

$$\langle \mathbf{J}_{AB} = 0 | ((\vec{\sigma}_A \cdot \vec{a}) \otimes (\vec{\sigma}_B \cdot \vec{a}) | \mathbf{J}_{AB} = 0 \rangle = -1, \quad (2.68)$$

1113 denn wenn Alice +1 misst dann Bob  $-1$  und umgekehrt. Bells originelle Idee war, die Stern  
 1114 Gerlachs von A und B in verschiedene Richtungen zeigen zu lassen, d.h. den quantenmecha-  
 1115 nischen Erwartungswert von  $((\vec{\sigma}_A \cdot \vec{a}) \otimes (\vec{\sigma}_B \cdot \vec{b}))$  messen zu lassen, der sich leicht berechnen  
 1116 lässt.

$$\begin{aligned} P_{QM}(\vec{a}, \vec{b}) &= \langle \mathbf{J}_{AB} = 0 | ((\vec{\sigma}_A \cdot \vec{a}) \otimes (\vec{\sigma}_B \cdot \vec{b}) | \mathbf{J}_{AB} = 0 \rangle \\ &= \frac{1}{2} (\langle 10 | - \langle 01 |) (\vec{\sigma}_A \cdot \vec{a}) \otimes (\vec{\sigma}_B \cdot \vec{b}) (|10\rangle - |01\rangle) \\ &= \frac{1}{2} \left( \langle 1 | \vec{\sigma}_A \cdot \vec{a} | 1 \rangle \langle 0 | \vec{\sigma}_B \cdot \vec{b} | 0 \rangle - \langle 1 | \vec{\sigma}_A \cdot \vec{a} | 0 \rangle \langle 0 | \vec{\sigma}_B \cdot \vec{b} | 1 \rangle \right. \\ &\quad \left. \langle 0 | \vec{\sigma}_A \cdot \vec{a} | 1 \rangle \langle 1 | \vec{\sigma}_B \cdot \vec{b} | 0 \rangle - \langle 0 | \vec{\sigma}_A \cdot \vec{a} | 1 \rangle \langle 0 | \vec{\sigma}_B \cdot \vec{b} | 1 \rangle \right) \\ &= \frac{1}{2} \left( -a_3 b_3 - (a_1 + i b_y)(a_1 - i b_y) - a_3 b_3 \right) \\ &= -\vec{a} \cdot \vec{b} \end{aligned}$$

1117 wobei wir benutzt haben:

$$\langle 0 | \vec{\sigma} \cdot \vec{a} | 0 \rangle = a_3; \quad \langle 1 | \vec{\sigma} \cdot \vec{a} | 1 \rangle = -a_3; \quad \langle 0 | \vec{\sigma} \cdot \vec{a} | 1 \rangle = a_1 + i a_y; \quad \langle 1 | \vec{\sigma} \cdot \vec{a} | 0 \rangle = a_1 - i a_y \quad (2.69)$$

1118 also erhalten wir das quantenmechanische Resultat

$$P_{QM}(\vec{a}, \vec{b}) = -\vec{a} \cdot \vec{b} = \cos \theta_{\vec{a}\vec{b}}. \quad (2.70)$$

bell-qm

1119 Im Sinne von EPR können die Eigenschaften der von A und B gemessenen Zustände noch  
 1120 von einem verborgenen Parametern  $\lambda$  abhängen, der zur Beschreibung notwendig ist, der  
 1121 aber inhärent den beiden Zuständen ist, also unabhängig von der Einstellung der Stern-  
 1122 Gerlach Richtungen  $\vec{a}$  und  $\vec{b}$ . Das Resultat der Messung von  $\vec{\sigma} \cdot \vec{a}$  und  $\vec{\sigma} \cdot \vec{b}$  sei  $A(\vec{a}, \lambda)$  und  
 1123  $B(\vec{b}, \lambda)$ , resp.

1124 Die entscheidende Annahme in der EPR Argumentation ist, dass Resultat der Messung  
 1125 von der Messung von Bob,  $B(\vec{b}, \lambda)$  nicht von der Einstellung von Alice,  $\vec{a}$  abhängt, es kann  
 1126 aber sehr wohl noch von einem (oder auch mehreren ) verborgenen Parametern abhängen.  
 1127 Das Ergebnis vieler Messungen ist dann gegeben durch das Integral über die Verteilung  
 1128 der Parameter  $\rho(\lambda)$ , mit  $\int d\lambda \rho(\lambda) = 1$ . Der klassische Erwartungswert der Messung von  
 1129  $\vec{\sigma}_A \cdot \vec{a} \quad \vec{\sigma}_B \cdot \vec{b}$  ist dann

$$\langle \vec{\sigma}_A \cdot \vec{a} \quad \vec{\sigma}_B \cdot \vec{b} \rangle_{\text{class}} = P_{\text{class}}(\vec{a}, \vec{b}) = \int d\lambda \rho(\lambda) A(\vec{a}, \lambda) B(\vec{b}, \lambda) \quad (2.71)$$

1130 Nun berücksichtigen wir, dass bei jedem Versuch, bei dem die Magnete in die gleich Richtung  
 1131 eingestellt sind (d.h.  $\vec{a} = \vec{b}$ ) die Strahlen in jeweils entgegengesetzt Richtung abgelenkt werden,  
 1132 also

$$A(\vec{a}, \lambda) = -B(\vec{a}, \lambda) \quad (2.72) \quad \boxed{\text{ab}}$$

1133 Es spielt ja keine Rolle, welche Richtung wir die  $z$ -Richtung nennen.

1134 Ferner gilt: Bei jeder Einzel-Messung, gleichgültig in welche Richtung, wird der Strahl nach  
 1135 oben oder unten abgelenkt, d.h

$$A(\vec{a}, \lambda) = \pm 1; \quad B(\vec{b}, \lambda) = \pm 1 \quad (2.73) \quad \boxed{\text{sab}}$$

1136 Damit erhalten wir

$$\begin{aligned} P_{\text{class}}(\vec{a}, \vec{b}) - P_{\text{class}}(\vec{a}, \vec{c}) &= \int d\lambda \rho(\lambda) (A(\vec{a}, \lambda) B(\vec{b}, \lambda) - A(\vec{a}, \lambda) B(\vec{c}, \lambda)) \\ &= - \int d\lambda \rho(\lambda) [A(\vec{a}, \lambda) A(\vec{b}, \lambda) - A(\vec{a}, \lambda) A(\vec{c}, \lambda)] \\ &= - \int d\lambda \rho(\lambda) A(\vec{a}, \lambda) A(\vec{b}, \lambda) [1 - A(\vec{b}, \lambda) A(\vec{c}, \lambda)] \end{aligned}$$

1137 since  $A(\vec{b}, \lambda)^2 = 1$ , see <sup>(sab)</sup>(2.73) Using the triangle inequality we obtain:

$$\begin{aligned} |P_{\text{class}}(\vec{a}, \vec{b}) - P_{\text{class}}(\vec{a}, \vec{c})| &\leq \int d\lambda \rho(\lambda) |A(\vec{a}, \lambda) A(\vec{b}, \lambda) [1 + A(\vec{b}, \lambda) B(\vec{c}, \lambda)]| \\ &\leq \int d\lambda \rho(\lambda) [1 + A(\vec{b}, \lambda) B(\vec{c}, \lambda)] = 1 + P_{\text{class}}(\vec{b}, \vec{c}) \quad \boxed{\text{bell-cl}} \end{aligned}$$

1138 where we have used <sup>(ab)</sup>(2.72), <sup>(sab)</sup>(2.73) und  $\rho(\lambda) \geq 0$ .

1139 Die Ungleichung

$$|P_{\text{class}}(\vec{a}, \vec{b}) - P_{\text{class}}(\vec{a}, \vec{c})| \leq \int d\lambda \rho(\lambda) [1 + A(\vec{b}, \lambda) B(\vec{c}, \lambda)] = 1 + P_{\text{class}}(\vec{b}, \vec{c}) \quad (2.74) \quad \boxed{\text{bell-u}}$$

1140 ist eine Form der Bell'schen Ungleichungen, die aus der klassische Wahrscheinlichkeitsver-  
 1141 teilungen der verborgenen Parameter folgt.

1142 Diese Ungleichung <sup>(bell-u)</sup>(2.74) ist inkompatibel mit dem quantenmechanischen Resultat <sup>(bell-qm)</sup>(2.70),  
 1143 wie man an <sup>(bell-fig)</sup>Fig. 2.4 sieht: Setzt man in der aus klassischen Überlegungen gewonnene  
 1144 Ungleichung <sup>(bell-u)</sup>(2.74) für  $P_{\text{class}}$  das aus der Quantenmechanik gewonnene Resultat <sup>(bell-qm)</sup>(2.70) ein so  
 1145 sieht man, dass es nahe  $\theta = 0$  und  $\theta = 2\pi$  Bereiche gibt, in denen die Ungleichung verletzt  
 1146 ist.

1147 Die wichtigsten Schritte der Ableitung der Ungleichung und ihre Verletzung durch die QM  
 1148 sind in <sup>(stern-bell)</sup>Abb. 2.5 zusammengefasst.

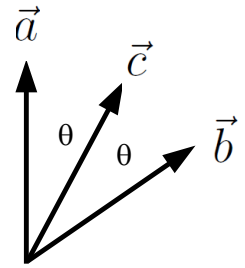
1149 Es hat nur sehr wenige Physiker verwundert, dass die Experimente zeigten, dass die Bellschen  
 1150 Ungleichungen verletzt sind. John Bell antwortete auf die Frage, ob er erwartet habe, dass  
 1151 seine Ungleichungen erfüllt seien:

1152 You must distinguish between "expected" and "hoped for".

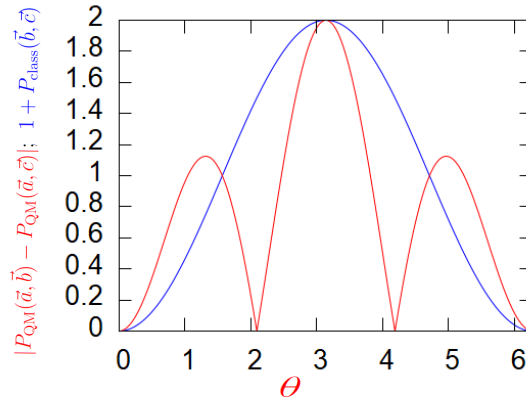
$$|P_{\text{class}}(\vec{a}, \vec{b}) - P_{\text{class}}(\vec{a}, \vec{c})| \leq 1 + P_{\text{class}}(\vec{b}, \vec{c})$$

$$P_{\text{QM}} = -\vec{a} \cdot \vec{b} = -\cos \theta_{ab}$$

$$|\cos 2\theta - \cos \theta| > 1 - \cos \theta$$



Drei coplanare Vektoren  $\vec{a}, \vec{b}, \vec{c}$  mit  $|\vec{a}| = |\vec{b}| = |\vec{c}| = 1$ ,  $\theta_{ac} = \theta_{cb} = \frac{1}{2}\theta_{ab}$



bell-fig bell-u  
 Abbildung 2.4: Unvereinbarkeit der Bell'schen Ungleichung (2.74), das aus klassischen Überlegungen nach EPR basiert, mit dem Ergebnis der QM, (2.70), das experimentell bestätigt ist. Setzt man (2.70) in die Ungleichung (2.74) ein, so sieht man dass es nahe  $\theta = 0$  und  $\theta = 2\pi$  Bereiche gibt, in denen die Ungleichung (2.74) verletzt ist.  $\vec{a}, \vec{b}, \vec{c}$  sind drei Vektoren in einer Ebene mit  $\theta_{ac} = \theta_{cb} = \theta$ ;  $\theta_{ab} = 2\theta$  bell-qm

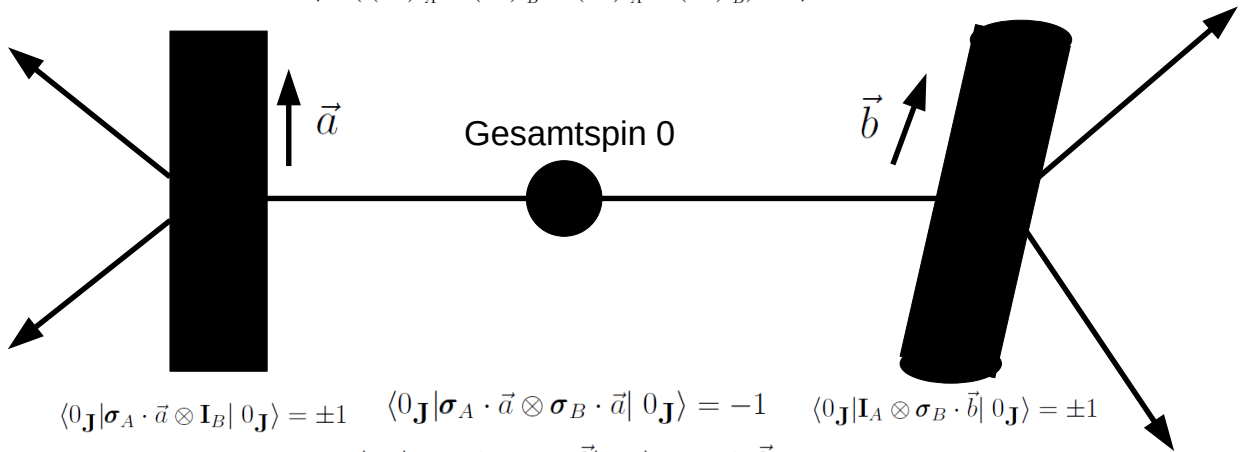
1153 Der Mathematiker Yu.I. Manin hat eine recht originelle Interpretation:

1154 With hindsight, one recognizes in Bell's setup the first example of the game-like  
 1155 situation where quantum players can behave demonstrably more efficiently than  
 1156 the classical ones.

### 1157 2.3.5 Fouriertransformation mit Qubits\*

1158 wird am 8.6. behandelt.

$$|0_{\mathbf{J}}\rangle \equiv \frac{1}{\sqrt{2}} \left( \begin{pmatrix} 1 \\ 0 \end{pmatrix}_A \otimes \begin{pmatrix} 0 \\ 1 \end{pmatrix}_B - \begin{pmatrix} 0 \\ 1 \end{pmatrix}_A \otimes \begin{pmatrix} 1 \\ 0 \end{pmatrix}_B \right) \equiv \frac{1}{\sqrt{2}} (|01\rangle - |10\rangle)$$



**QM:**

$$\langle 0_{\mathbf{J}} | \sigma_A \cdot \vec{a} \otimes \mathbf{I}_B | 0_{\mathbf{J}} \rangle = \pm 1 \quad \langle 0_{\mathbf{J}} | \sigma_A \cdot \vec{a} \otimes \sigma_B \cdot \vec{a} | 0_{\mathbf{J}} \rangle = -1 \quad \langle 0_{\mathbf{J}} | \mathbf{I}_A \otimes \sigma_B \cdot \vec{b} | 0_{\mathbf{J}} \rangle = \pm 1$$

$$\langle 0_{\mathbf{J}} | \sigma_A \cdot \vec{a} \otimes \sigma_B \cdot \vec{b} | 0_{\mathbf{J}} \rangle = -\vec{a} \cdot \vec{b}$$

**Klass:**

$$\langle \vec{\sigma}_A \cdot \vec{a} \rangle_{\text{class}} = \int d\lambda \rho(\lambda) A(\vec{a}, \lambda) \quad \langle \vec{\sigma}_B \cdot \vec{b} \rangle_{\text{class}} = \int d\lambda \rho(\lambda) B(\vec{b}, \lambda)$$

$$A(\vec{a}, \lambda) = -B(\vec{a}, \lambda) \quad A(\vec{a}, \lambda) = \pm 1; \quad B(\vec{b}, \lambda) = \pm 1 \quad \rho(\lambda) \geq 0.$$

$$\langle \vec{\sigma}_A \cdot \vec{a} \quad \vec{\sigma}_B \cdot \vec{b} \rangle_{\text{class}} = P_{\text{class}}(\vec{a}, \vec{b}) = \int d\lambda \rho(\lambda) A(\vec{a}, \lambda) B(\vec{b}, \lambda)$$

$$|P_{\text{class}}(\vec{a}, \vec{b}) - P_{\text{class}}(\vec{a}, \vec{c})| \leq 1 + P_{\text{class}}(\vec{b}, \vec{c})$$

ern-bell

Abbildung 2.5: Die wichtigsten Schritte der Ableitung der Bellschen Ungleichung in einer "Einstein-realistischen" Theorie und ihre Verletzung durch die QM

1159

# Kapitel 3

1160

## Grundsätzliches

1161

### 3.1 Superposition und Gemisch

Für das QC ist der reiche Informationsgehalt der Qubits entscheidend, deshalb ist die Superposition verschiedener (reiner) Zustände, die wieder zu einem (reinen) Zustand führt, so wichtig. Deshalb ist es nötig zwischen Superposition (Überlagerung) und Mischung streng zu unterscheiden. Der Zustand, der durch einen Spinor

$$\frac{1}{\sqrt{2}}(|\uparrow_3\rangle + |\downarrow_3\rangle) = \frac{1}{\sqrt{2}} \left( \begin{pmatrix} 1 \\ 0 \end{pmatrix} + \begin{pmatrix} 0 \\ 1 \end{pmatrix} \right) = \frac{1}{\sqrt{2}} \begin{pmatrix} 1 \\ 1 \end{pmatrix} = |\uparrow_1\rangle$$

beschrieben wird, ist wieder ein reiner Zustand, nämlich ein in  $+x$  Richtung polarisierter Zustand. Auf die Phase zwischen den beiden Summanden kommt es entscheidend an: Der Zustand, der durch einen Spinor

$$\frac{1}{\sqrt{2}}(|\uparrow_3\rangle - |\downarrow_3\rangle) = \frac{1}{\sqrt{2}} \left( \begin{pmatrix} 1 \\ 0 \end{pmatrix} - \begin{pmatrix} 0 \\ 1 \end{pmatrix} \right) = \frac{1}{\sqrt{2}} \begin{pmatrix} 1 \\ -1 \end{pmatrix} = |\downarrow_1\rangle$$

1162 beschrieben wird, ist zwar auch wieder ein reiner Zustand, aber, wie man leicht nach Hilber-  
1163 träumechnet, in ein in  $-x$  Richtung polarisierter.

1164 Hat man einen Strahl von Teilchen mit Spin  $\frac{1}{2}$ , bei dem die keine Phasenbeziehung zwischen  
1165 den einzelnen Zustände besteht, so spricht man von einem Gemisch. Nehmen wir an wir haben  
1166 einen Strahl von Teilchen, der zu gleichen Teilen aus solchen mit Spin  $+\frac{1}{2}$  und  $-\frac{1}{2}$  besteht,  
1167 so heisst dieses unpolarisiertes Gemisch Es wird durch die Dichtematrix

$$\rho = \frac{1}{2} \begin{pmatrix} 1 & 0 \\ 0 & 1 \end{pmatrix}, \quad (3.1)$$

1168 beschrieben. Bei einem teilpolarisierten Strahl hat die Dichtematrix die Form

$$\rho = \begin{pmatrix} a & \alpha^* \\ \alpha & 1-a \end{pmatrix} = \frac{1}{2}(1 + \vec{P} \cdot \vec{\sigma}). \quad (3.2)$$

1169 wobei  $\vec{P}$  die (Teil-) Polarisationsrichtung ist.

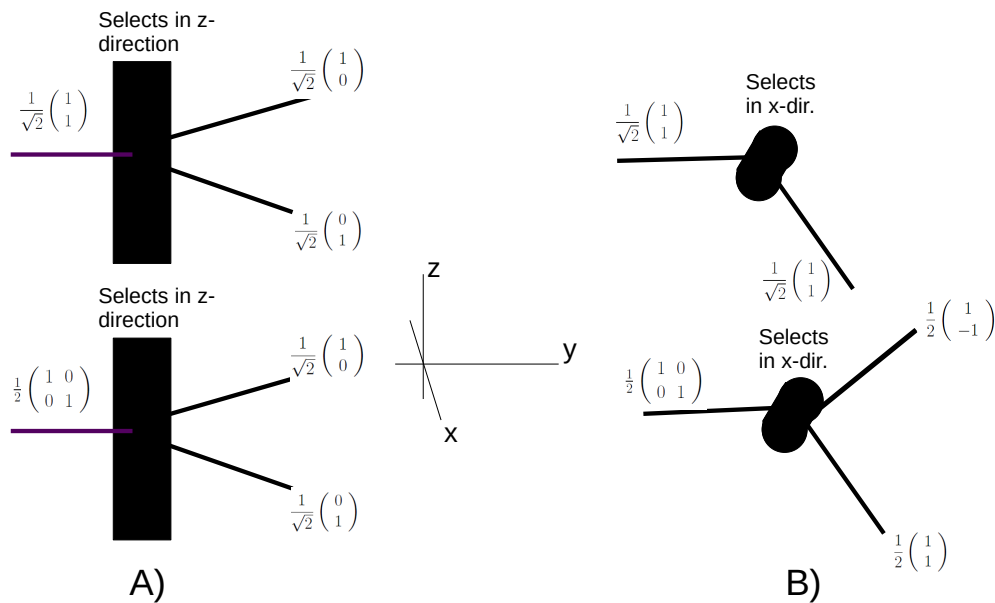


Abbildung 3.1: Die kohärente Überlagerung von  $\frac{1}{\sqrt{2}} (|\uparrow_3\rangle + |\downarrow_3\rangle) = \frac{1}{\sqrt{2}} |\uparrow_1\rangle$  spaltet im nach  $z$  sortierenden Stern-Gerlach A) in zwei gleichstarke Teilchenstrahlen auf, genauso wie das durch die Dichtematrix  $\rho = \frac{1}{2} \begin{pmatrix} 1 & 0 \\ 0 & 1 \end{pmatrix}$  beschriebene Gemisch (unpolarisierter Strahl). Im nach der  $x$  Richtung sortierenden Stern-Gerlach B) spaltet die kohärente Überlagerung nicht auf, wohl aber ein unpolarisierter Strahl.

gemischt

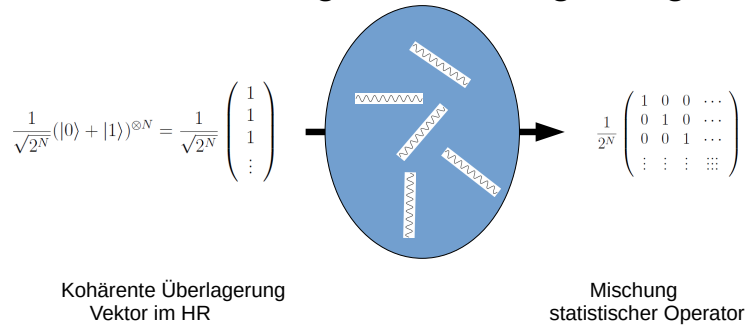
1170 Ein unpolarisierter Strahl ( $\vec{P} = 0$ ) wird in einem Stern-Gerlach Versuch immer in 2 gleich  
 1171 starke Strahlen aufspalten, gleichgültig, nach welcher Richtung der Magnet gerichtet ist s.  
 1172 Abb. <sup>gemischt</sup> 3.1.

### 1173 3.1.1 Dekohärenz

1174 Ein Hauptproblem bei der Konstruktion von QCn besteht darin, die Kohärenz einer Super-  
 1175 position zu erhalten. Durch Wechselwirkung mit der Umwelt (das sind effektiv Messungen)  
 1176 werden gehen die Phasenbeziehungen zwischen den Komponenten einer Überlagerung verlo-  
 1177 ren und wir landen nach einer gewissen Zeit bei einem Gemisch, s. Abb. <sup>deko</sup> 3.2 und <sup>dko-g</sup> ??.

1178 Dieser Effekt der "Dekohärenz", (H.D. Zeh) führt zu einer Zunahme der Entropie eines  
 1179 Systems (s. Abschn. <sup>ent</sup> ??)

## Dekohärenz von N Qubits durch Wechselwirkung mit der Umgebung



**deko** Abbildung 3.2: Durch die Wechselwirkung mit der Umgebung kann die Kohärenz einer Überlagerung verloren gehen, sie wird i. A. zu einem Gemisch. Bei makroskopischen Körpern reicht schon die Wechselwirkung mit der kosmischen Hintergrundstrahlung aus, um Dekohärenz in kürzester Zeit zu bewirken

## Dekohärenz von N Qubits durch Wechselwirkung mit der Umgebung

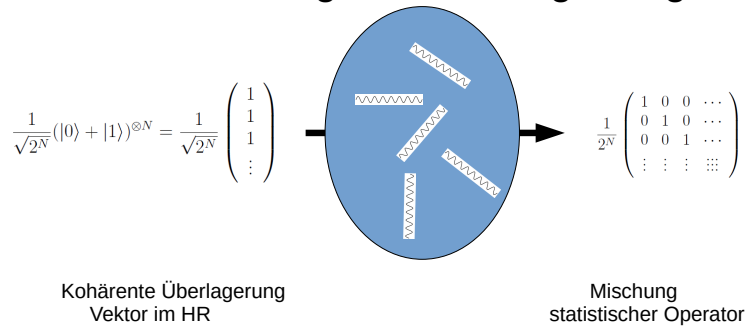
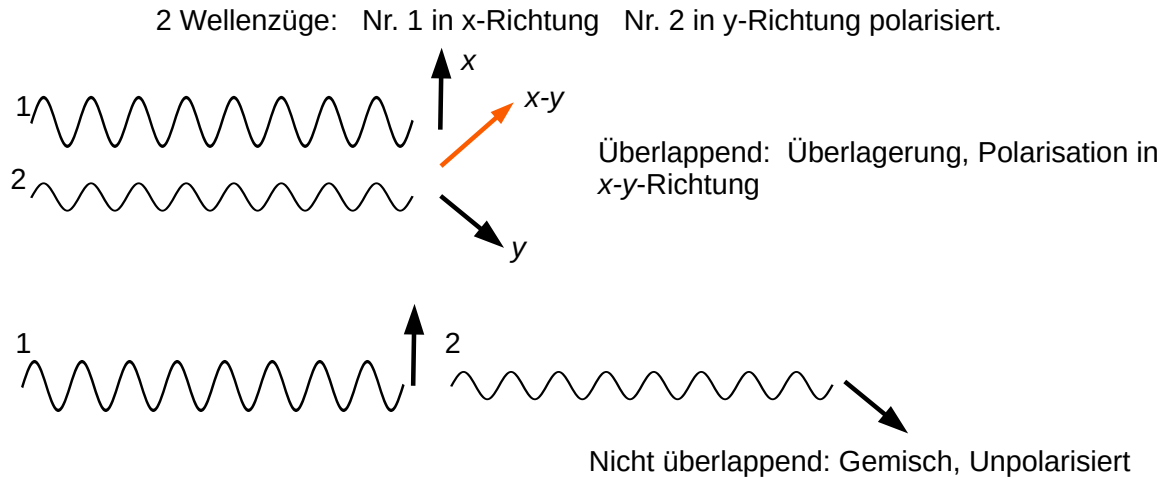


Abbildung 3.3: **Dekohärenz** eines  $N$ -Qubit Zustandes

1180 Bei makroskopischen Körpern ist die Wechselwirkung mit der Umgebung so stark, dass die  
 1181 “Kohärenzzeit” im Sub-Nanosekunden Bereich liegt. Deshalb hat noch niemand die (kohären-  
 1182 te) Überlagerung einer wachen und schlafenden Katze beobachtet.

### 1183 3.1.1.1 Kohärenz und Dekohärenz in der Optik

1184 Da unsre Vorstellung von rein elektromagnetischen Vorgängen durch die klassische E-dynamik  
 1185 geprägt ist, entspricht hier die Kohärenz sehr viel eher unsrer Vorstellung, als das Gemisch.  
 1186 Haben wir zwei Strahlungsquellen, bei denen die eine Licht, das in  $x$ -Richtung polarisiert ist,  
 1187 ausstrahlt, die andere Licht, das in  $y$ -Richtung polarisiert ist, dann ist die Lösung für das  
 1188 Gesamtsystem eine Überlagerung der beiden Lösungen, da die Maxwell-Gleichungen linear



**pol** Abbildung 3.4: Überlagerung und Gemisch in der Optik. Nur wenn zwei Photonen eine feste Phasenbeziehung haben, bilden sie eine Überlagerung. Dies ist z.B. beim Laser der Fall. Bei einem gewöhnlichen Leuchtmittel (z.B. LED) werden die Photonen unkorreliert ausgesandt, sie bilden ein Gemisch.

1189 in den Feldern sind. Daher erhalten wir eine in  $x - y$  Richtung polarisierte Welle. So wie es  
 1190 ungewohnt ist in der Punktmechanik die Superposition zu verstehen, so schwer ist es in der  
 1191 E-Dynamik zu verstehen, warum Licht i. A. unpolarisiert ist.

1192 Der Grund für die Mischung liegt darin, dass normalerweise Lichtquanten in atomaren Pro-  
 1193 zessen entstehen und deswegen der klassische Wellenzug, dem ein Photon entspricht, nur eine  
 1194 endliche Länge hat ( $c \times \tau$ ). Unpolarisiertes Licht ist also in der klassischen E-dynamik eine  
 1195 Mischung von nicht überlappenden Wellenzügen mit verschiedenen Polarisationsrichtungen.

1196 Die Situation ist beim Laser verschieden, da hier die Wellenzüge kohärent sind und sehr  
 1197 lang sein können.

# 1198 Kapitel 4

## 1199 Die “Quanten” Fourier 1200 Transformation

### 1201 4.1 Fourier Transformation und Fourier Reihe

1202 Die Fourier-Transformation ist eine harmonische Analysis, d.h. eine Darstellung einer Funk-  
1203 tion durch —Überlagerung periodische Funktionen. Sie ist daher z. B. in der Akustik be-  
1204 deutend. Unser Ohr führt eine Art Fourieranalyse des Schalldrucks durch und sie spielt bei  
1205 Sprachanalyse, bei der akustischer Kompression (MP3), und auch der Signalübermittlung  
1206 allgemein (G5) eine wichtige Rolle. Algorithmen zur schnellen Durchführung der Fourier-  
1207 analyse waren daher schon im klassische Computing wichtig (FFA fast Fourier analysis, s.  
1208 nächste Vorlesung Marquard).

1209 Auch in der QM ist die Fourier Transformation sehr bedeutend. Sie erlaubt den Übergang  
1210 zwischen der Ortsdarstellung, in dem die Observable Ort eine Multiplikation und der Impuls  
1211 eine Ableitung ist, d.h. Ortsoperator ist  $\mathbf{Q}_i$  und Impulsoperator  $P_i = \frac{\hbar}{i} \partial_{Q_i}$  und der Impuls-  
1212 darstellung in dem die Observable Impuls eine Multiplikation und die Observable Ort eine  
1213 Ableitung ist. Der Übergang von der “Ortsdarstellung”  $f(q)$  zur Impulsdarstellung  $\tilde{f}(p)$  ist:

$$\tilde{f}(p) = \frac{1}{\mathcal{N}} \int dq e^{ipq} f(q) \quad (4.1)$$

1214 In numerischen Anwendungen muss das Integral durch eine Summe ersetzt werden. Im  
1215 Hinblick auf Anwendungen im QC wählen wir als Integrationsgrenzen 0 und  $2\pi$  und wählen  
1216  $2^N$  Stützpunkte:

$$\tilde{f}_k = \frac{1}{\sqrt{2^N}} \sum_{\ell=0}^{2^N-1} e^{(i2\pi k \ell)/2^N} f_\ell, \quad \text{mit } \tilde{f}_k = \tilde{f}\left(\frac{k}{2^N}\right), \quad f_\ell = f\left(\frac{\ell}{2^N}\right) \quad (4.2) \quad \boxed{\text{fdis}}$$

1217 d.h. die diskrete FT is eine Matrix, die die Vektoren  $\{f_0, f_1, \dots, f_{2^N-1}\}$  in die Vektoren  
1218  $\{\tilde{f}_0, \tilde{f}_1, \dots, \tilde{f}_{2^N-1}\}$  abbildet.

$$\tilde{f}_k = \sum_{\ell=0}^{M-1} F_{k\ell} f_\ell; \quad \text{mit } F_{k\ell} = \frac{1}{\sqrt{M}} e^{(i2\pi k \ell)/M} \quad (4.3) \quad \boxed{\text{fdismat}}$$

1219 Die Matrix  $\mathbf{F}$  ist unitär:

$$\begin{aligned} (\mathbf{F}^\dagger \mathbf{F})_{k\ell} &= \frac{1}{M} \sum_{k'=0}^{M-1} (e^{-i2\pi k' k/M} e^{i2\pi k' \ell/M}) \\ &= \frac{1}{M} \sum_{k'=0}^{M-1} (e^{i2\pi k' (\ell-k)/M}) = \delta_{k\ell} \end{aligned}$$

1220 Die letzte Gleichheit basiert auf der Gleichung

$$\sum_{k'=0}^{M-1} (e^{i2\pi k' (\ell-k)/M}) = M \delta_{k\ell}, \quad M = 2^N \quad (4.4) \quad \boxed{\text{zaub}}$$

1221 Diese wichtige Relation basiert auf den periodischen Eigenschaften der  $e$ -Funktion, z. B.

1222  $e^{i\pi 2n} = 1; e^{i\pi (2n+1)} = -1$

1223 Zum Beweis von (4.4) zeigt man, dass in der Summe  $a = \sum_{k'=0}^{M-1} (e^{i2\pi k' (\ell-k)/M})$  mit  $0 <$   
 1224  $|\ell - k| \leq M - 1$  für jedes  $e^{i2\pi k' (\ell-k)/M}$  ein Term  $b = e^{i2\pi k' + (M*s/2) (\ell-k)/M}$  mit ungeradem  
 1225  $s$  auftritt. d.h.  $a = -b$ .

1226 Die QFT ist nichts anderes als eine Übertragung der diskreten FT (4.2) auf Qubits unter ganz  
 1227 wesentlicher Ausnutzung der CB. Es ist daher nochmals wichtig, sich die etwas ungewohnte  
 1228 Form der CB und ihre Darstellung durch Zahlen im Dualsystem zu verinnerlichen.

## 1229 4.2 Wiederholung: computatorische Basis

1230 Dieser Abschnitt ist eine Erweiterung von Sect. 2.3.

Seien  $|q\rangle_k$  computatorische Qubit Basen von  $n$  Hilbert-räumen,

$$|0\rangle_k = \begin{pmatrix} 1 \\ 0 \end{pmatrix}; |1\rangle_k = \begin{pmatrix} 0 \\ 1 \end{pmatrix};$$

1231 Dann besteht die computatorische Basis im  $N$ -Qubit Raum: aus den  $2^N$  orthonormalen  
 1232 Vektoren

$$|q_1\rangle_1 \otimes |q_2\rangle_2 \cdots \otimes |q_N\rangle_N \equiv |q_1 q_2, \cdots q_N\rangle; \quad q_k = 0, 1 \quad (4.5)$$

Ein bra-vektor ist

$$\langle p_1 p_2, \cdots p_N | \equiv \langle p_1 |_1 \otimes \langle p_2 |_2 \cdots \otimes \langle p_N |_N$$

1233 d.h. wir haben

$$\langle p_1 p_2, \cdots p_N | q_1 q_2, \cdots q_N \rangle = \prod_{k=1}^N \langle p_k | q_k \rangle \quad (4.6)$$

1234 Da jede ganze Zahl  $q$  eindeutig im Dualsystem dargestellt werden kann

$$q = q_1 \cdot 2^{N-1} + q_2 \cdot 2^{N-2} + \cdots + q_N \cdot 2^0 \quad (4.7) \quad \boxed{\text{dubas}}$$

1235 können wir jeden Vektor  $|q_1 q_2 \cdots q_N\rangle$  eindeutig bezeichnen als

$$|q_1 q_2 \cdots q_N\rangle \equiv |q_d\rangle \quad (4.8) \quad \boxed{\text{dual}}$$

1236 wobei der Index  $_d$  andeutet, dass hier die Dualstellen von  $q$  stehen.

Wegen der Eindeutigkeit der Dualzerlegung gilt:

$$\langle p_d | q_d \rangle = \delta_{pq}$$

1237 Es muss  $q_d$  stets als  $N$ -stellige Dualzahl geschrieben werden, also gegebenenfalls müssen links  
1238 Nullen aufgefüllt werden. Haben wir etwa 3 Qubit-Räume, so ist  $|1_d\rangle \equiv |001\rangle$

1239 Der allgemeine  $N$ -Qubit Zustand ist

$$\begin{aligned} & (\alpha_{0,1}|0\rangle_N + \alpha_{1,1}|1\rangle_1) \otimes (\alpha_{0,2}|0\rangle_2 + \alpha_{1,2}|1\rangle_2) \otimes \cdots \otimes (\alpha_{0,N}|0\rangle_N + \alpha_{1,N}|1\rangle_N) = \quad (4.9) \\ & = \begin{pmatrix} \alpha_{0,1} \\ \alpha_{1,1} \end{pmatrix} \otimes \begin{pmatrix} \alpha_{0,2} \\ \alpha_{1,2} \end{pmatrix} \otimes \cdots \otimes \begin{pmatrix} \alpha_{0,N} \\ \alpha_{1,N} \end{pmatrix} \end{aligned}$$

$$= \sum_{\{q_k=0,1\}} \prod_{k=1}^N \alpha_{q_k,k} \cdots \alpha_{q_N,N} |q_1, q_2, \cdots q_N\rangle \quad (4.10)$$

$$= \sum_{\{q_k=0,1\}} \prod_{k=1}^N \alpha_{q_k,k} \cdots \alpha_{q_N,N} |q_d\rangle \quad \text{mit } q = q_1 \cdot 2^{N-1} + q_2 \cdot 2^{N-2} + \cdots + q_N \cdot 2^0 \quad (4.11)$$

1240 wobei die Summe über alle die  $2^N$  möglichen Anordnungen von Nullen und Einsen in einem  
1241  $N$ -tupel geht.

1242 Wird ein Hadamard Gate  $\mathbf{H} = \frac{1}{\sqrt{2}} \begin{pmatrix} 1 & 1 \\ 1 & -1 \end{pmatrix}$ , d.h.  $\mathbf{H}|0\rangle = \frac{1}{\sqrt{2}}(|0\rangle + |1\rangle)$  auf jedes der  $N$   
1243 Qubits des Zustandes  $|0_d\rangle$  angewandt, so erhalten wir

$$\mathbf{H}^{\otimes N} |0, 0, \dots, 0\rangle = 2^{-N/2} (|0\rangle + |1\rangle) \otimes (|0\rangle + |1\rangle) \otimes \cdots \otimes (|0\rangle + |1\rangle) \quad (4.12)$$

$$= 2^{-N/2} (|00 \cdots 0\rangle + |10 \cdots 0\rangle + \cdots + |101 \cdots 0\rangle + |111 \cdots 1\rangle) \quad (4.13)$$

$$= 2^{-N/2} (|0_d\rangle + |1_d\rangle + \cdots + |2^N - 1_d\rangle) \quad (4.14)$$

### 1244 4.2.1 Definition der FT in der CB

1245 Die Quanten-Fouriertransformation ist analog <sup>fdis</sup> (4.2) definiert, doch erfordert sie etwas Um-  
1246 denken, da wir hier die Zahlen  $f_\ell, \tilde{f}_\ell$  in <sup>fdis</sup> (4.2) die als Elemente der CB in einem  $N$ -Qubit  
1247 Raum auffassen.

1248 Wir führen im  $N$ -Qubit Raum 2 Basissysteme ein:  $|\tilde{p}_d\rangle$ ,  $p = 0, 1, \dots, 2^N - 1$  und  $|q_d\rangle$ ,  $p =$   
1249  $0, 1, \dots, 2^N - 1$

1250 Sie sind durch die Matrix der FT, <sup>fdismat</sup> (4.3) verknüpft:

$$|q_d\rangle \rightarrow \mathcal{F}(|q_d\rangle) = |\tilde{p}_d\rangle = \frac{1}{2^{N/2}} \sum_{q=0}^{2^N-1} e^{2\pi i q p / 2^N} |q_d\rangle \quad (4.15) \quad \boxed{\text{defqft}}$$

1251 Haben wir einen Zustand

$$|\phi\rangle = \sum_{q=1}^{2^N-1} \phi_q |q_d\rangle \quad (4.16)$$

1252 wird dieser durch die FT linear abgebildet:

$$|\phi\rangle \rightarrow \mathcal{F}(|\phi\rangle) = |\tilde{\phi}\rangle = \sum \tilde{\phi}_p |\tilde{p}\rangle = \frac{1}{2^{N/2}} \sum_{q=0}^{2^N-1} \phi_q e^{2\pi i q p / 2^N} |q_d\rangle \quad (4.17)$$

1253 d.h. die Fourier transformierte von  $\phi_q$  ist:

$$\phi_q \rightarrow \tilde{\phi}_p = \frac{1}{2^{N/2}} \sum_{q=0}^{2^N-1} e^{2\pi i q p / 2^N} \phi_q \quad (4.18)$$

1254 Wenn wir also ein Verfahren hätten, um eine Funktion  $\phi(q)$  leicht in eine Summe von CB-  
 1255 Vektoren  $|\phi\rangle = \sum_{q=1}^{2^N-1} \phi_q |q_d\rangle$  zu bringen, so könnten wir den Fouriertransformierten Zustand  
 1256 leicht erzeugen. Leider ist offenbar ein generelles Verfahren für eine solche reversible Zuord-  
 1257 nung für periodisch Funktionen unmöglich. Wir betrachten z. B. die Zuordnung

$$\mathbf{A} : |q_d\rangle \rightarrow \phi(q) |\phi(q)_d\rangle. \quad (4.19)$$

1258 Wenn die Funktion nicht umkehrbar eindeutig ist, wie z.B. eine periodische Funktion mit  
 1259  $\phi(q) = \phi(q + T)$ , dann könnten die Urbilder vom Zustand  $\phi(q_0) |\phi(q_0)_d\rangle$  alle die Vektoren  
 1260  $|q_0_d\rangle, |q_0 + T_d\rangle, |q_0 + 2T_d\rangle, \dots$  sein, d.h. die Zuordnung ist nicht reversibel.

1261 Erweitern wir den Hilbertraum  $\mathcal{H}$  zu einem Produkt  $\mathcal{H} \otimes \mathcal{H}$ , dann können wir eine reversible  
 1262 (unitäre) Abbildung leicht konstruieren:

$$\Phi : |q_d\rangle \otimes |0_d\rangle \rightarrow |q_d\rangle \otimes |\phi(q)_d\rangle, \quad (4.20) \quad \boxed{\text{ph}}$$

1263 da hier die direkte Information über den Wert von  $q$  im Abbild, nämlich im ersten Faktor  
 1264 des Produktraumes, enthalten ist. Die Situation ist ähnlich wie beim CNOT gate.

1265 Die Fouriertransformation eines einzelnen Basisvektors (defqft (4.15)) ist als unitäre Transformation  
 1266 durch Quantengatter zu erreichen. Bevor wir zu einer klassischen Anwendung der FT schrei-  
 1267 ten, nämlich der Frequenzanalyse, wollen wir diese Realisierung der Fourieranalyse, die der  
 1268 Architektur eines Quanten Computers besonders angebracht ist, behandeln.

## 1269 4.2.2 Auf Qubits adaptierte Form der Fourier-Transformierten

Wir gehen zurück zur Definition des CBasisvektor  $|q_d\rangle$  als direktes Produkt der Basisvektoren eines Qubits,  $|0\rangle, |1\rangle$

$$|q_d\rangle \equiv \bigotimes_{k=1}^N |q_k\rangle_k \quad \text{sowie } q = q_1 \cdot 2^{N-1} + \dots + q_N \cdot 2^0$$

1270 Damit schreiben wir die rechte Seite von  $\stackrel{\text{def qft}}{(4.15)}$  um

$$\mathcal{F}(|q\rangle) = |\tilde{p}_d\rangle = \frac{1}{2^{N/2}} \sum_{q=0}^{2^N-1} e^{2\pi i q p / 2^N} |q_d\rangle \quad (4.21)$$

$$= \frac{1}{2^{N/2}} \sum_{q_1=0}^1 \cdots \sum_{q_N=0}^1 e^{\frac{2\pi i p}{2^N} (q_1 \cdot 2^{N-1} + \cdots + q_k \cdot 2^{-k} + \cdots + q_N \cdot 2^0)} \bigotimes_{k=1}^N |q_k\rangle_k \quad (4.22)$$

$$= \frac{1}{2^{N/2}} \bigotimes_{k=1}^N \sum_{q_k=0}^1 e^{2\pi i p q_k \cdot 2^{-k}} |q_k\rangle_k \quad (4.23)$$

$$= \frac{1}{2^{N/2}} \bigotimes_{k=1}^N \left( |0\rangle + e^{2\pi i p \cdot 2^{-k}} |1\rangle \right)_k \quad (4.24)$$

wir setzen ein  $p = \sum_{\ell=1}^N p_\ell \cdot 2^{N-\ell}$

$$|\tilde{p}_d\rangle = \frac{1}{2^{N/2}} \bigotimes_{k=1}^N \left( |0\rangle + e^{2\pi i (\sum_{l=1}^N p_l \cdot 2^{N-l-k})} |1\rangle \right)_k \quad (4.25)$$

wir können vereinfachen, da  $e^{2\pi i (N-l-k)} = 1$  für  $l+k \leq N$

$$= \frac{1}{2^{N/2}} \bigotimes_{k=1}^N \left( |0\rangle + e^{2\pi i (\sum_{l=N-k+1}^N p_l \cdot 2^{N-l-k})} |1\rangle \right)_k \quad (4.26)$$

$$= \frac{1}{2^{N/2}} \bigotimes_{k=1}^N \left( |0\rangle + e^{2\pi i (\sum_{r=1}^k p_{N-r-k} \cdot 2^{-r})} |1\rangle \right)_k \quad (4.27)$$

1271 Es ist üblich, die folgende Dualbruch-Notation einzuführen:

$$0.p_N \equiv p_N \cdot 2^{-1} \quad (4.28)$$

$$0.p_{N-1}p_N \equiv p_{N-1}2^{-1} + p_N \cdot 2^{-2} \quad (4.29)$$

$$0.p_{N-k}p_{N-k+1} \cdots p_N \equiv p_{N-k} \cdot 2^{-1} + p_{N-k+1} \cdot 2^{-2} + \cdots + p_N \cdot 2^{-k} \quad (4.30)$$

1272 Die Indizes  $1 \cdots N$  indizieren die Qubits.

1273 Damit erhalten wir schliesslich:

$$|\tilde{p}_d\rangle = \frac{1}{2^{N/2}} \left[ \left( |0\rangle + e^{2\pi i 0.p_N} |1\rangle \right)_1 \otimes \left( |0\rangle + e^{2\pi i 0.p_{N-1}p_N} |1\rangle \right)_2 \otimes \cdots \otimes \left( |0\rangle + e^{2\pi i 0.p_1 p_2 \cdots p_N} |1\rangle \right)_N \right] \quad (4.31)$$

1274 Diese Form der QFT ist für QC sehr bequem, da sie zeigt wie jedes der  $N$  Qubits des  
1275 Rechners durch ein unitäres Matrix-Gatter der Form

$$\begin{pmatrix} 1 & 0 \\ 0 & e^{2\pi i \alpha} \end{pmatrix} \quad (4.32)$$

1276 with  $\alpha = .p_{N-k}p_{N-k+1} \cdots p_N$  transformiert wird.

1277 Ein Beispiel: Sei  $N = 3$  und  $p = 3$ . Die Dualdarstellung ist  $3 = 0 \cdot 2^2 + 1 \cdot 2^1 + 1 \cdot 2^0$ ,  
 1278 d.h.  $|\tilde{3}_d\rangle = |0\tilde{1}1\rangle$ ; oder  $p_1 = 0, p_2 = 1, p_3 = 1$  und damit  $0.p3 = 2^{-1}$ ,  $0.p_2p_3 = 2^{-1} +$   
 1279  $2^{-2}$ ,  $0.p_1p_2p_3 = 0 \cdot 2^{-1} + 2^{-2} + 2^{-3}$  und damit erhalten wir:

$$|\tilde{3}_d\rangle = (|0\rangle + e^{i\pi}) \otimes (|0\rangle + e^{i\pi \cdot 3/2}) \otimes (|0\rangle + e^{i\pi \cdot 3/4}) \quad (4.33)$$

### 1280 4.3 Anwendung: Periodenbestimmung durch QFT

1281 Eine wichtige Anwendung der üblichen FT ist die Frequenzbestimmung einer periodischen  
 1282 Funktion. Sei  $\phi(q)$  eine Funktion mit ganzzahligen Argumenten und ganzzahligen Werten,  
 1283  $\mathbb{Z} \rightarrow \mathbb{Z}$  mit der Periode  $T$  d.h.

$$\phi(q) = \phi(q + nT), \quad n \in \mathbb{Z} \quad (4.34) \quad \boxed{\text{ph1}}$$

1284 Da wir schon die Schwierigkeiten mit der Zuordnung  $|q_d\rangle \rightarrow \phi(k)|\phi(q)_d\rangle$  gesehen hatten,  
 1285 gehen wir gleich zu einer Darstellung der Funktion im Produktraum.

1286 Die allgemeine Sprachregelung ist: Ein Zustand in einem direkten Produkt zweier Qubit-  
 1287 Hilberträume  $\mathcal{H}_1 \otimes \mathcal{H}_2$ , mit jeweils den Dimensionen  $2^M$  bzw.  $2^N$ , heisst Quantenregister.  
 1288 Der Faktor aus  $\mathcal{H}_1$  heisst Quantenregister QR1, der aus  $\mathcal{H}_2$  heisst Quantenregister QR2

1289 Im nun betrachteten Falle sei QR1 der Zustand  $\frac{1}{\sqrt{2^M}}(|0_d\rangle + |1_d\rangle + \dots + |(2^M - 1)_d\rangle)$ <sup>1</sup>, QR2 sei  
 1290 der Basisvektor  $|0_d\rangle$  d.h. unser Zustand im Quantenregister ist:

$$|A\rangle \equiv \frac{1}{\sqrt{2^{M/2}}} \underbrace{\left( \sum_{q=0}^{2^M-1} |q_d\rangle \right)}_{QR1} \otimes \underbrace{|0_d\rangle}_{QR2} \quad (4.35) \quad \boxed{A}$$

1291 Die Schmidtzahl  $N_{Sch}$  dieses Zustands ist 1.

1292 Nun benutzen wir die reversible Zuordnung <sup>ph</sup>(4.20):

$$\Phi(|q_d\rangle \otimes |0_d\rangle) = |q_d\rangle \otimes |\phi(q)_d\rangle \quad (4.36)$$

1293 Dieses Zuordnung wenden wir auf unser ganzes QR an und erhalten den Zustand:

$$|Z\rangle \equiv \frac{1}{\sqrt{2^{M/2}}} \sum_{q=0}^{2^M-1} |q_d\rangle \otimes |\phi(q)_d\rangle \quad (4.37) \quad \boxed{\text{pf1}}$$

1294 Hier ist die Schmidtzahl  $N_{Sch} = T$ .

1295 Jetzt berücksichtigen wir die Periodizität der Funktion  $\phi(q) = \phi(q + nT)$ , aus der folgt:

<sup>1</sup>Ein solcher Zustand lässt sich durch das Hadamard Gatter, <sup>hadnat</sup>(4.12) aus einem "leeren" Basisvektor  $|0_d\rangle$  erzeugen

1296 Jedem Basisvektor  $|q_d\rangle$  der Summe in QR1, der die Form  $|q_d\rangle = |(mT + q')_d\rangle$  hat, ist der  
 1297 gleiche Basisvektor aus QR2, nämlich  $|\phi(q')_d\rangle$  zugeordnet. Damit faktorisiert  $|Z\rangle$  (4.37):

$$|Z\rangle = \frac{1}{2^{M/2}} \sum_{q'=0}^{T-1} \left( \sum_{m=0}^A |(mT + q')_d\rangle \right) \otimes |\phi(q')_d\rangle + R \quad (4.38) \quad \boxed{\text{pf2}}$$

1298 wobei  $(A+1)T - 1 \leq 2^M - 1 < (A+2)T$  und  $\frac{1}{\sqrt{2^M}} \sum_{q=A(T+1)}^{2^M-1} |q_d\rangle \otimes |\phi(q)_d\rangle$

1299 Der Einfachheit halber vernachlässigen wir den Rest  $R$  von der Ordnung  $O\left(\frac{1}{2^{M/2}}\right)$  oder  
 1300 nehmen, um Fallunterscheidungen zu vermeiden an, dass  $2^M/T \in \mathbb{Z}$ , d.h. dass gar kein Rest  
 1301 auftritt.

1302 Als nächstes messen wir im  $\mathcal{H}_2$ . Dabei wird die kohärente Summe in  $\mathcal{H}_1 \otimes \mathcal{H}_2$  auf einen  
 1303 Summanden  $q' = q_0$ ,  $0 \leq q_0 \leq T - 1$ , kollabieren. Sei der resultierende Zustand (das  
 1304 Resultat der Messung):

$$|B\rangle \equiv \left( \sum_{m=0}^A |(mT + q_0)_d\rangle \right) \otimes |\phi(q_0)_d\rangle \quad (4.39) \quad \boxed{B}$$

1305 Der Wert von  $q_0 \in \mathbb{Z}$  spielt im folgenden keine Rolle, d.h. es genügt eine Messung.

1306 Um die Periode  $T$ , die in der Summe der Basiszustände

$$|\Psi\rangle = \sum_{m=0}^A |(r_m)_d\rangle \quad \text{mit} \quad |(r_m)_d\rangle = |(mT + q_0)_d\rangle \quad (4.40)$$

1307 enthalten ist, bestimmen wir die Fourierzerlegung von  $|\Psi\rangle$ .

1308 Die Fourierreihe für einen einzelnen Basisvektor  $|(r_m)_d\rangle$  ist:

$$|(r_m)_d\rangle = \frac{1}{2^{N/2}} \sum_{p=0}^{2^M-1} e^{2\pi i r_m p / 2^M} |p_d\rangle \quad (4.41)$$

1309 Die Fourierreihe für den Zustand  $\frac{1}{\sqrt{A}}|\Psi\rangle$  ist damit:

$$\begin{aligned} \frac{1}{\sqrt{A}}|\tilde{\Psi}\rangle &= \frac{1}{\sqrt{A} 2^M} \sum_{m=0}^A \sum_{p=0}^{2^M-1} e^{2\pi i (mT + q_0) p / 2^M} |p_d\rangle \\ &= \frac{1}{\sqrt{A} 2^M} \sum_{p=0}^{2^M-1} e^{2\pi i q_0 p / 2^M} \underbrace{\sum_{m=0}^A e^{2\pi i m T p / 2^M}}_{\alpha(p)} |p_d\rangle \end{aligned} \quad (4.42)$$

1310 Führen wir in der Fourier-Darstellung von  $|\Psi\rangle$  eine Messung durch, in der der Zustand als  
 1311 Überlagerung von Basisvektoren  $|p_d\rangle$  dargestellt ist und projizieren durch eine Messung auf  
 1312 einen solchen Vektor, so ist die Wahrscheinlichkeit  $\text{Prob}(p_0)$ , dass wir auf den den speziellen

1313 ket  $|p_0\rangle$  projizieren, d.h. das Resultat unsrer Messung, gegeben durch das Betragsquadrat  
 1314 des Koeffizienten von  $|p_{0d}\rangle$ , also  $|\alpha(p)|^2$ .

$$\text{Prob}(p_0) = \frac{1}{A 2^M} |e^{2\pi i q_0 p_0 / 2^M}|^2 \left| \sum_{m=0}^A e^{2\pi i m T p_0 / 2^M} \right|^2 \quad (4.43)$$

1315 Die Terme der Summe  $\sum_{m=0}^m A e^{2\pi i m T p_0 / N}$  heben sich wegen der Oszillationen der  $e$ -Funktion  
 1316 weitgehend auf, nur wenn  $p_0 = p_R$  mit

$$\frac{p_R T}{2^M} \in \mathbb{Z} \quad (4.44) \quad \boxed{\text{resfin}}$$

1317 ist, addieren sie sich alle und nur der Term mit  $|p_{Rd}\rangle$  hat einen grossen Koeffizienten. Bei  
 1318 einer Messung an  $\frac{1}{\sqrt{A}}|\tilde{\Psi}\rangle$  wird also mit sehr grosser Wahrscheinlichkeit auf den Zustand  
 1319  $|(p_R)_d\rangle$  projiziert. Damit haben wir  $p_R$  bestimmt, und aus (4.44) <sup>resfin</sup> folgt, dass die Periode  $T$   
 1320 ein ganzzahliges Vielfaches von  $\frac{2^M}{p_R}$  ist.

1321 Möglicherweise ist allerdings  $\frac{2^M}{p_R}$  keine ganze Zahl und mit mehreren Tests muss eine ganze  
 1322 Zahl in der Nähe von  $n \cdot \frac{2^M}{p_R}$  ein ganzzahliges Vielfaches gesucht werden.

1323 Wichtig bei dem ganzen Vorgehen ist, dass man sehr leicht prüfen kann (in von der Zahl  $2^N$   
 1324 unabhängigen Schritten), ob  $T$  tatsächlich die gesuchte Periode ist, d.h. ob  $\phi(q) = \phi(q + T)$   
 1325 ist.

### 1326 4.3.1 Zusammenfassung

1327 Wir fassen die Schritte <sup>scheme</sup> zusammen, besonders im Hinblick auf die durch die QM relevanten  
 1328 Punkte, s. auch Abb. 4.1

1329 Der erste Schritt <sup>A</sup> ist die Herstellung eines Quantenregisters  $\in \mathcal{H}_1 \otimes \mathcal{H}_2$ . Es ist der Zustands-  
 1330 vektor  $|A\rangle$ , s. (4.35). Dieser (reine) ist das Produkt zweier Zustandsvektoren aus  $\mathcal{H}_1$  bzw.  
 1331  $\mathcal{H}_2$ , die Schmidtzahl ist also  $N_{Sch} = 1$ , es liegt keinerlei Verschränkung vor. Eine Messung  
 1332 in einem der beiden Räume hat also keinerlei Konsequenzen für den Zustand im anderen.

1333 Beim 2. Schritt <sup>pf1</sup> wird durch die reversible Transformation  $\Phi$  der Zustand  $|A\rangle$  in  $|\Psi\rangle$   
 1334 überführt s. (4.37). Durch Ausnutzung der Periodizität der Funktion  $\phi(q)$  (s. (4.34) <sup>pf1</sup>) lässt  
 1335 sich  $|\Psi\rangle$  in eine Schmidt-Darstellung bringen: (4.38) <sup>pf2</sup>; die Schmidtzahl hat für  $|\Psi\rangle$  den Wert  
 1336  $N_{Sch} = T$ . Hier liegt nun Verschränkung vor: der Zustand  $|\phi(q_0)_d\rangle \mathcal{H}_2$  ist verschränkt mit  
 1337 dem Zustand  $\sum_m |(q_0 + mT)_d\rangle$  und eine Messung in  $\mathcal{H}_2$  führt zu einer Projektion auf den  
 1338 Verschränkten Partner in  $\mathcal{H}_1$ .

1339 Im dritten Schritt wird eine solche Messung in  $\mathcal{H}_2$  durchgeführt, und wir haben in  $\mathcal{H}_1$  den  
 1340 Verschränkungspartner des gemessenen Zustands in  $\mathcal{H}_2$ .

1341 Im vierten Schritt wird eine Fouriertransformation in  $cH_1$  durchgeführt, sie ist ein Übergang  
 1342 von den Basisvektoren  $|q_d\rangle$  zu  $|p_d\rangle$ , s. (4.42) <sup>ftps1</sup>.

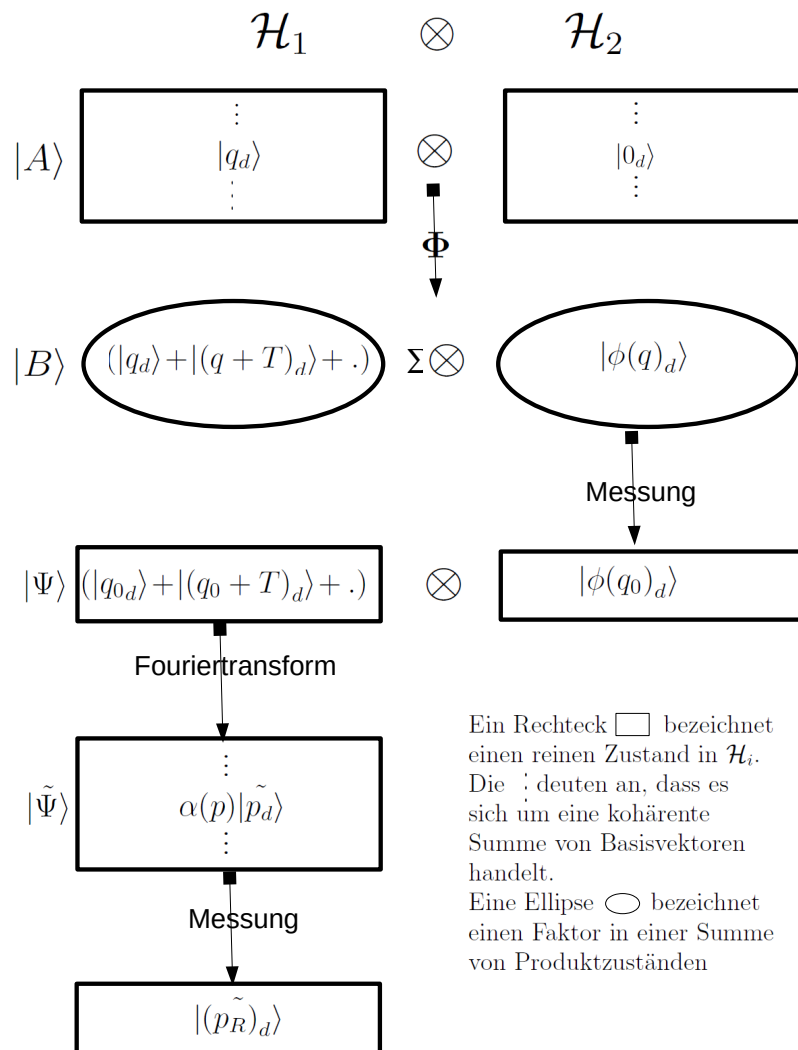


Abbildung 4.1: Die Schritte bei der Periodenbestimmung

umfourier

### 4.3.2 Numerisches Beispiel

1343 Im 5. Schritt wird dann eine Messung als Projektion auf die Basisvektoren  $|\tilde{p}_d\rangle$  durchgeführt.  
 1344 Diese Messung resultiert mit grosser Wahrscheinlichkeit mit einem Basisvektor  $|\tilde{p}_{R,d}\rangle$ , und die  
 1345 gesuchte Periode ist ein ganzzahliges Vielfaches von  $p_R$ .

1346 Wir sehen, dass bei jedem Schritt die kohärente Überlagerung von Zuständen wesentlich ist,  
 1347 die Verschränkung spielt im 3. Schritt die entscheidende Rolle.

1348 Wir betrachten die Funktion  $\phi(q) = \text{mod}(7^q, 247)$ , die uns später bei der Primzahlzerlegung  
 1349 nochmals begegnen wird.

1350

|                          |  |   |   |    |    |     |    |    |    |    |     |     |     |    |    |    |    |     |    |    |    |    |     |     |     |    |    |    |    |     |
|--------------------------|--|---|---|----|----|-----|----|----|----|----|-----|-----|-----|----|----|----|----|-----|----|----|----|----|-----|-----|-----|----|----|----|----|-----|
| $\mathcal{H}_1: q$       |  | 0 | 1 | 2  | 3  | 4   | 5  | 6  | 7  | 8  | 9   | 10  | 11  | 12 | 13 | 14 | 15 | 16  | 17 | 18 | 19 | 20 | 21  | 22  | 23  | 24 | 25 | 26 | 27 | ... |
| $\mathcal{H}_2: \phi(q)$ |  | 1 | 7 | 49 | 96 | 178 | 11 | 77 | 45 | 68 | 229 | 121 | 106 | 1  | 7  | 49 | 96 | 178 | 11 | 77 | 45 | 68 | 229 | 121 | 106 | 1  | 7  | 49 | 96 | ... |

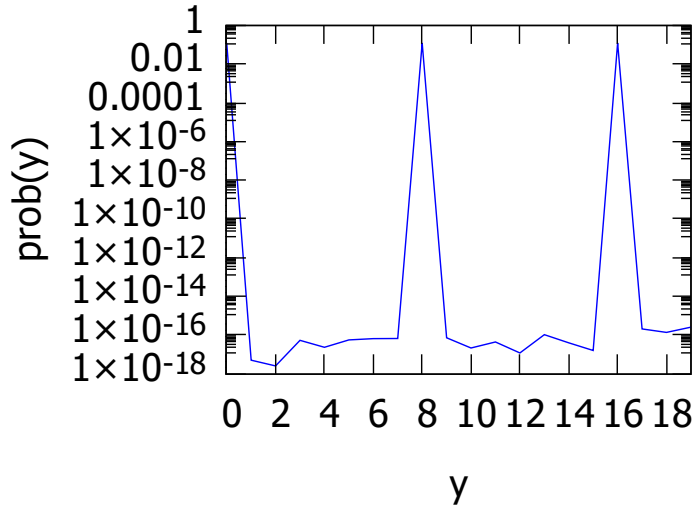


Abbildung 4.2: ~~Die~~ Betragsquadrate der Koeffizienten von  $|y_d\rangle$

1351 Für  $\mathcal{H}_2$  muss  $N$  so gross sein, dass  $2^N \geq 229$ , d.h.  $N = 8$

1352 Messung in in  $\mathcal{H}_2$  durchgeführt. Haben wir etwa als Resultat von der Messung im  $\mathcal{H}_2$  die  
 1353 auf den Basisvektor  $|49_d\rangle$  projiziert erhalten, ist der resultierende Zustand:

$$\frac{1}{\sqrt{8}} (|2_d\rangle + |14_d\rangle + |26_d\rangle + |38_d\rangle + |50_d\rangle + |62_d\rangle + |74_d\rangle + |86_d\rangle) \otimes |49_d\rangle = \left( \frac{1}{\sqrt{8}} \sum_{n=0}^7 |(2 + 12n)_d\rangle \right) \otimes |49_d\rangle \quad (4.45)$$

1354 Wir fouriertransformieren den Teil aus  $\mathcal{H}_1$   $\frac{1}{\sqrt{8}} \sum_{n=0}^7 |(2 + 12n)_d\rangle$  z. B. mit 5 Qubits:  $Q =$   
 1355  $2^5 = 32$

1356 
$$\frac{1}{\sqrt{8}} \sum_{n=0}^7 \widetilde{|2 + 12n_d\rangle} = \frac{1}{\sqrt{8 \cdot 32}} \sum_{y=0}^{31} \sum_{n=0}^7 e^{2\pi i y (2+12n)/32} |y_d\rangle$$

1357 Die Betragsquadrate der Koeffizienten von  $|y_d\rangle$  sind in Abb. <sup>num</sup>4.2 aufgetragen. Daraus sehen  
 1358 wir, dass wir mit einer grossen Wahrscheinlichkeit die Werte  $y = 8, 16, \dots$  messen.

1359 Also wissen wir dass  $T \cdot y/2^5 = T \cdot 8/32 \in \mathbb{Z}$  oder  $T = n \cdot \frac{32}{y} = n \cdot \frac{32}{8} = n \cdot 4$

1360 also ist  $T = 4, 8, 12, 16 \dots$  in übereinstimmung mit der tatsächlichen Periode  $T = 12$ .

# 1361 Kapitel 5

## 1362 Basis des Shore'schen Algorithmus.

1363 Es ist noch nicht klar, in wievielen Bereichen ein QC einem klassischen PC wesentlich über-  
1364 legen ist. Wir hatten ja in der letzten Stunde von Herrn Marquard gehört, wie wenig die  
1365 Quanten-Komplexitätstheorie entwickelt ist.

1366 Die teilweise recht reisserischen Aussagen über die eminente Überlegenheit eines Quanten-  
1367 computers über einen klassischen sind meist mit der Übersetzungsvorschrift zu lesen:

1368 A typical example is ....  $\Rightarrow$  The best example I can think of

1369 So wäre z.B. der folgende Satz korrekt:

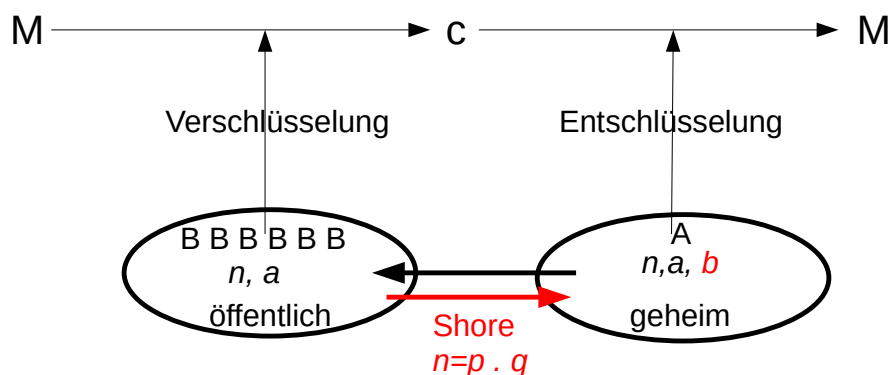
1370 Mit Hilfe eines Quantencomputers ist es möglich innerhalb von Millisekunden  
1371 Vorgänge darzustellen, die auch der schnellste Supercomputer niemals generieren  
1372 könnte.

1373 Es handelt sich dabei um eine Reihe von echten Zufallsevents, die Herr Marquard öfters  
1374 erwähnt hat und die mit dem inhärent stochstischem Charakter der QM zusammenhängen.

1375 Eines der wenigen Beispiele für die drastische Überlegenheit eines Quantencomputers über  
1376 einen klassischen ist die Zerlegung einer (riesig grossen) Zahl in Primzahlen mit Hilfe des  
1377 Shore'schen Algorithmus. Sie ist nach gegenwärtigem Stand auf einem klassischen Computer  
1378 nur mit exponentiell ansteigendem Aufwand durchführbar, während sie über die Quanten FT  
1379 mit polynomial anwachsendem Aufwand lösbar ist.

1380 Die bei der gesamten Digitalisierung gegenwärtig eminent wichtige asymmetrische Verschlüsse-  
1381 lung hängt ganz stark an der "praktischen Unlösbarkeit" der Primzahlzerlegung sehr grosser  
1382 Zahlen ab. Daher die mögliche Entschlüsselung der bisher als sicher eingestufte Verschlüsse-  
1383 lungen das QC im Augenblick besonders aktuell.

1384 Das Schema der Ver- und Entschlüsselung nach Rivest, Shamir, and Adleman (RSA) ist in  
1385 Abb. 5.1 dargestellt.



## Asymmetrische Verschlüsselung

Abbildung 5.1: A konstruiert aus dem Produkt zweier Primzahlen  $n = p \cdot q$  das Schloss  $a$ , das er, zusammen mit der Zahl  $n$  der Öffentlichkeit mitteilt. Dadurch wird eine Botschaft  $M$  verschlüsselt, als  $c = M^a \bmod n$ . Mithilfe des Schlüssels  $b$ , der geheim bleibt, kann A die von B verschlüsselte Nachricht leicht entschlüsseln, nämlich  $M = c^b \bmod n$ . Der Schlüssel  $b$  ist das inverse Element des Schlosses, des Elements  $[a]_{(p-1) \cdot (q-1)}$  der primen Restklasse,  $(\mathbb{Z}/\mathbb{Z}_{(p-1) \cdot (q-1)})^*$ . Durch Auffinden der Faktoren  $p$  und  $q$  der Zahl  $n$  mit Hilfe der Quanten Fourier-Transformation kann ein Hacker aus  $a, p$  und  $q$  den Schlüssel  $b$  mit polynomialen Aufwand finden.

g-versch

1386 Wie aus der Erklärung der Figur <sup>fig-versch</sup> 5.1 deutlich erkennbar, spielt bei der Verschlüsselung die  
 1387 Zahlentheorie, der scheinbar esoterischste Zweig der Mathematik, die entscheidende Rolle.  
 1388 Daher beschäftigt sich der erste Abschnitt etwas ausführlicher mit den relevanten Aspekten  
 1389 der Zahlentheorie.

## 1390 5.1 Für Verschlüsselung und Entschlüsselung wichtige 1391 Elemente der Zahlentheorie

### 1392 5.1.1 Notation und Begriffe

1393 Allgemein gebräuchlichem Begriffe wie Primzahl, Primzahlzerlegung etc werden vorausge-

|      |   |                                    |                |
|------|---|------------------------------------|----------------|
| 1394 | stezt. <b>Nichtnegative ganze Zahlen:</b> | $\{0, 1, 2 \dots\}$                | $\mathbb{N}$   |
|      | <b>Positive ganze Zahlen:</b>             | $\{1, 2 \dots\}$                   | $\mathbb{N}^*$ |
|      | <b>ganze Zahlen:</b>                      | $\{\dots - 2, -1, 0, 1, 2 \dots\}$ | $\mathbb{Z}$   |

1395 **natürliche Zahlen:** Notation etwas uneinheitlich, entweder  $\mathbb{N}$  oder  $\mathbb{N}^*$

1396 Wenn nicht anders angegeben: römische Buchstaben; (mindestens) ganze Zahlen.

1397 Zwei ganze Zahlen  $a, b$  heissen **coprim** oder relativ prim:  
 1398 ihr **grösster gemeinsamer Teiler (gcd)** ist  $1 : a, b$  coprim  $\Leftrightarrow \gcd(a, b) = 1$

1399 **Kongruenz**

1400  $a$  kongruent  $b$  modulo  $n : a \equiv b \pmod n \Leftrightarrow a - b$  teilbar durch  $n$  d.h.  $b = a + k \cdot n, k \in \mathbb{Z}$

1401 **Äquivalenzklasse** Alle Zahlen  $b \equiv a \pmod n$  bilden eine Äquivalenzklasse  $[a]_n$ . D.h.  $[a]_n =$   
 1402  $[b_n] \Leftrightarrow a \equiv b \pmod n$ .

1403 I. A dient die kleinste nichtnegative Zahl der Äquivalenzklasse als Repräsentant dieser Klas-  
 1404 se.

1405 **Restklassenring**  $\mathcal{Z}/n\mathcal{Z}$

1406 Die Äquivalenzklassen  $[r]_n, 0 \leq r < n$  bilden den Restklassenring  $\mathcal{Z}/n\mathcal{Z}$ . Jedes Element der  
 1407 Restklasse  $a \in [r]_n$  hat damit die Zerlegung  $a = r + k \cdot n$

1408 Man rechnet leicht nach dass in ihm Addition und Multiplikation definiert sind:

$$\begin{aligned} \bullet \text{Addition und Subtraktion:} & \quad [a]_n \pm [b]_n = [a \pm b]_n \\ \bullet \text{Multiplikation:} & \quad [a]_n \cdot [b]_n = [a \cdot b]_n \end{aligned} \tag{5.1} \quad \boxed{\text{add-mult}}$$

1409 Bew. für Multiplikation:

$$\begin{aligned} 1410 \quad a \in [a]_n, b \in [b]_n & \Rightarrow (a + k \cdot n)(b + k' \cdot n) = a \cdot b + n \cdot (a \cdot k' + b \cdot k + k \cdot k' \cdot n) = a \cdot b + n \cdot k'' \\ 1411 \quad & \rightarrow a \cdot b \in [a \cdot b]_n \end{aligned}$$

1412 Division i. A. nicht definiert

1413 **Prime Restklassen** oder Einheitsgruppe des Restklassenrings

1414 Die Äquivalenzklassen  $[a]_n$  aus  $\mathcal{Z}/n\mathcal{Z}$  bei denen  $a$  und  $n$  coprim sind.

$$(\mathcal{Z}/n\mathcal{Z})^* \ni \{[a]_n, \gcd(a, n) = 1\} \tag{5.2} \quad \boxed{\text{prk}}$$

1415 In primen Restklassen ist ein Inverses definiert; wie unten gezeigt. Für den Beweis brauchen  
 1416 wir allerdings den "Urahn aller Algorithmen", das ist der

1417 **Euklidischer Algorithmus:**

1418 Da coprime Zahlenpaare und prime Äquivalenzklassen in der Verschlüsselung eine grosse  
 1419 Rolle spielen, sei der Euklidische Algorithmus, mit denen man den gcd findet, hier kurz  
 1420 beschrieben beschrieben. Er ist einer der ältesten Algorithmen<sup>1</sup> und ein wesentliches Element  
 1421 des vielleicht aktuellsten Algorithmus, nämlich des Shore'schen.

1422 Sei  $a > b$ ; beim Euklidische Algorithmus werden erst  $a$  und  $b$  ganzzahlig geteilt und dann

---

<sup>1</sup>Elemente,VII, 1 und 2; 1. Teil: Nimmt man bei Vorliegen zweier ungleicher Zahlen immer die kleinere von der grösseren weg, so müssen, wenn niemals ein Rest die vorhergehende Zahl genau misst, bis die Einheit übrig bleibt, die ursprüngliche Zahlen gegeneinander prim sein. 3. Jh. v. Chr. Der Algorithmus ist wahrscheinlich älter (Schule des Pythagoras)

1423 fortlaufend die nichtnegativen Reste:

$$\begin{aligned} a - q_1 \cdot b &= r_1; & r_1 < b \\ b - q_2 \cdot r_1 &= r_2; & r_2 < r_1 \\ r_1 - q_3 \cdot r_2 &= r_3; & r_3 < r_2 \\ &\vdots \\ r_{k-3} - q_{k-1} \cdot r_{k-2} &= r_{k-1}; & r_{k-1} < r_{k-2} \\ r_{k-2} - q_k \cdot r_{k-1} &= r_k; & r_k = 0 \end{aligned}$$

1424 Das Verfahren ist beendet, wenn  $r_k = 0$  ist.

Dann gilt:  $r_{k-1}$  teilt alle vorigen  $r_{k-i}$ ,  $i \geq 2$  und damit auch  $a$  und  $b$ ;  $r_{k-2}$  teilt aber schon nicht mehr  $r_{k-3}$ . Damit ist  $r_{k-1}$  der grösste gemeinsame Teiler von  $a$ ,  $b$

$$\mathbf{r}_{k-1} = \mathbf{gcd}(\mathbf{a}, \mathbf{b})$$

1425 Durch Rückeinsetzen der Werte von  $r_i$  erhält man, dass der  $\mathbf{gcd}(a, b) = r_{k-1}$  eine ganzzahlige  
1426 Linearkombination von  $a$  und  $b$  ist  $r_{k-1} = r_{k-3} - q_{k-3} \cdot r_{k-2}$ ;  $r_{k-2} = \dots$

$$\mathbf{gcd}(a, b) = r_{k-1} = q \cdot a + q' \cdot b, \quad q, q' \in \mathbb{Z} \quad (5.3) \quad \boxed{\text{cop}}$$

1427 Der Euklidischen Logarithmus ist mit dem algebraischen Programm Maxima (LISP-basiert,  
1428 public domain) schon auf einem gewöhnlichem PC sehr schnell.

## 1429 5.1.2 Theoreme

### 1430 5.1.2.1 Inversee Restklasse:

1431 Zu jeder primen Äquivalenzklasse  $[a]_n$ , <sup>(5.2)</sup><sub>(prk)</sub>, gibt es eine inverses Äquivalenzklasse  $[b]_n$ , d.h.

$$\forall a \in (\mathcal{Z}/n\mathcal{Z})^* \exists b \text{ mit } a \cdot b \equiv 1 \pmod{n} \quad (5.4) \quad \boxed{\text{inv}}$$

1432 Für dieses wichtige Resultat ist der Beweis sehr einfach:  $[a]_n$  ist prim, d.h.  $a$  and  $n$  sind  
1433 coprime oder  $\mathbf{gcd}(a, n) = 1$ . Es gilt daher nach <sup>(5.3)</sup><sub>(cop)</sub>

$$\mathbf{gcd}(a, n) = 1 = q \cdot a + q' \cdot n \quad (5.5) \quad \boxed{\text{cop3}}$$

1434 d.h.

$$q \cdot a \equiv 1 \pmod{n}; \quad \text{bzw.} \quad [q \cdot a]_n = [1]_n \quad (5.6)$$

1435 d.h. das  $q$  aus <sup>(5.5)</sup><sub>(cop3)</sub> ist das gesuchte Inverse  $b$ .

### 1436 5.1.2.2 Kleiner Fermat:

1437 Ist  $p$  prim, dann gilt <sup>2</sup>

$$a^p \equiv a \pmod{p} \quad \text{bzw.} \quad a^p - a = k \cdot p; \quad k \in \mathbb{Z} \quad (5.7) \quad \boxed{\text{kf}}$$

---

<sup>2</sup>Fermat, Brief 1640, ohne Beweis

1438 Normalerweise bringen wir keine mathematischen Beweise, doch der kleine Fermat ist so  
 1439 berühmt und der Beweis durch vollständige Induktion ist so einfach, dass wir hier eine  
 1440 Ausnahme machen:

1441  $a^p \equiv a \pmod p$  gilt für  $a = 1$ .

1442 Er gelte für  $a$ , d.h.  $a^p - a = k \cdot p$

Nach Binomi gilt

$$(a + 1)^p - (a + 1) = \left( a^p + \sum_{k=1}^{p-1} \binom{p}{k} a^{p-k} + 1 \right) - (a + 1) = a^p - a + \sum_{k=1}^{p-1} \binom{p}{k} a^{p-k}$$

Die Summe

$$\sum_{k=1}^{p-1} \binom{p}{k} a^{p-k} = \sum_{k=1}^{p-1} \frac{p(p-1) \cdots (p-k+1)}{k!} a^{p-k}$$

ist für  $0 < k < p$  stets durch  $p$  teilbar, da der Faktor  $p$  im Zähler steht und er stets coprime zum Nenner ist ( $p$  ist prim) kann er nicht gekürzt werden. Daher gilt:

$$(a + 1)^p - (a + 1) = a^p - a + k \cdot p \quad k \in \mathbb{Z}$$

Nach Induktionsvoraussetzung ist  $a^p - a = k \cdot p$ , d.h.

$$(a + 1)^p - (a + 1) = k' \cdot p \quad k \in \mathbb{Z}$$

bzw:

$$(a + 1)^p \equiv (a + 1) \pmod p$$

1443 qed

### 1444 5.1.2.3 Euler-Fermat

1445 Der kleine Fermat wurde 1736 von Euler bewiesen und erweitert: <sup>3</sup>

$$a^{\phi(n)} \equiv 1 \pmod n \tag{5.8} \quad \boxed{\text{ef}}$$

1446 wobei  $a$  coprime zu  $n$  ist und  $\phi(n)$  ist die **Eulersche Funktion**:

$$\phi(n) = \text{Anzahl der zu } n \text{ coprimen Zahlen, die kleiner als } n \text{ sind, incl. der } 1! \tag{5.9} \quad \boxed{\text{euler-n}}$$

1447 Eigenschaften der Euler Funktion  $\phi$ :

- 1448 • Ist  $p$  prim, dann  $\phi(p) = p - 1$
- 1449 • Sind  $p_1, p_2$  coprime, dann  $\phi(p_1 \cdot p_2) = \phi(p_1) \cdot \phi(p_2)$

1450 Beispiele:

$$1451 \phi(15) = 8 : \supset \{14, 13, 11, 8, 7, 4, 2, 1\} \quad \phi(5) = 4 : \supset \{4, 3, 2, 1\}; \quad \phi(3) = 2 : \supset \{2, 1\}$$

$$1452 15 = 3 \cdot 5 : p_1 = 3, e_1 = 1; p_2 = 5, e_2 = 1; \phi(15) = 15 \left(1 - \frac{1}{3}\right) \left(1 - \frac{1}{5}\right) = 2 \cdot 4 = 8$$

1453 Der kleine Fermat (<sup>kf</sup>5.7) folgt aus Euler-Fermat (<sup>ef</sup>5.8) durch Multiplikation mit  $[a]_n$ .

---

<sup>3</sup>Euler, St. Petersburg 1736, Leibniz, unveröffentlicht, vor 1683

### 5.1.2.4 Periodizität $T$

1455 Wenn  $a^T \equiv 1 \pmod n$  ist, dann ist die Funktion  $f_{a,n}(s) : s \rightarrow a^s \pmod n$  periodisch mit der  
 1456 Periode  $T$ .

1457 Dies ist einfach zu sehen:

$$\begin{aligned} a^T &\equiv 1 \pmod n \rightarrow a^T - 1 = k \cdot n \\ a^{T+s} - a^s &= k \cdot n \cdot a^s \\ a^{T+s} &= a^s + k' \cdot n \\ a^s &\equiv a^{T+s} \pmod n \end{aligned} \quad (5.10)$$

1458 Daraus folgt: Die Funktion  $f_{a,n}(s) : (s \rightarrow a^s \pmod n)$  ist sicher periodisch wenn  $a, n$  coprime  
 1459 sind. Auf jeden Fall nach (5.8) mit der Periode  $T' = \phi(n)$ , aber möglicherweise auch mit  
 1460 einem Teiler von  $\phi(n)$ , denn mit  $T$  ist auch ein vielfaches von  $T$  eine Periode.

1461 Umgekehrt, gilt für  $s = 0$

$$a^T \equiv 1 \pmod n \quad (5.11)$$

1462 Die Periode  $T$  zu finden ist (gegenwärtig) der einzige Algorithmus der über die Quanten  
 1463 Fourier Transformation das QC so überlegen gegen dem klassischen Rechnen macht.

## 1464 5.2 RSA-Verschlüsselung

1465 Eine asymmetrische Verschlüsselung ist eine Verschlüsselung mit einem öffentlichem Schlüssel,  
 1466 Die Decodieren ist aber praktisch nur mit einem geheimen Schlüssel möglich

1467 Die Basis der gebräuchlichen RSA <sup>4</sup> Verschlüsselung ist:

1468 1) Der kleine Fermat in der Eulerschen Form, (5.8)

1469 2) Die Existenz inverser Restklassen

1470 3) Die Quanten-FT als Basis des schneller Algorithmus

### 1471 5.2.1 Chiffrierung

1472 B veröffentlicht den Chiffriercode:

1473  $n$  (sehr gross) und  $a$ , nicht so gross.

Sei die ganze positive Zahl  $M$  die Nachricht (hier ausnahmsweise mit grossem Buchstaben bezeichnet, der ASCII code für einen Buchstaben), dann chiffriert A diese message mit Hilfe der öffentlichen Schlüssel zu dem Chiffriert:

$$c \equiv M^a \pmod n$$

<sup>4</sup>RL Rivest, A Shamir, L Adleman, Communications of the ACM, 1978 - dl.acm.org  
<http://people.csail.mit.edu/rivest/Rsapaper.pdf>

Obwohl der Chiffriercode  $a$  öffentlich ist, ist es ohne weitere Kenntnis sehr schwer, aus  $c$  die Nachricht  $n$  zu gewinnen, man muss lösen

$$M = (c - k n)^{1/a}$$

1474 wobei  $k$  eine unbekannte ganze Zahl ist.

## 1475 5.2.2 Dechiffrierung

1476 A hat aber eine einfache Möglichkeit die Nachricht  $M$  aus dem  $c$  Chifrat wiederzugewinnen,  
1477 nämlich einen Schlüssel, die Zahl  $b$ , die er nur mit Wissen über die Struktur von  $n$  bestimmen  
1478 kann: Mit diesem diesen Schlüssel  $b$  gilt:

$$c^b \equiv M \pmod{n}. \quad (5.12) \quad \boxed{\text{sch1}}$$

1479 Um mit Wissen über die Struktur von  $n$  und  $a$  den Schlüssel  $b$  zu bestimmen, wählt B  
1480  $n = p \cdot q$  wobei  $p$  und  $q$  grosse, nicht zu sehr benachbarte und nicht zusehr verschiedene  
1481 Primzahlen sind und seinen geheimen Schlüssel  $b$ , der coprime zu  $\phi(n) = (p-1)(q-1)$  ist.  
1482 Da  $b$  und  $\phi(n) = (p-1)(q-1)$  coprime sind (s. (5.4) <sup>inv</sup>) gibt es ein multiplikatives Inverses  $a$  im  
1483 Ring der ganzen Zahlen modulo  $\phi(n)$ :

$$a \cdot b \equiv 1 \pmod{\phi(n)} \quad (5.13) \quad \boxed{\text{dd0}}$$

1484 Daher gilt:

$$a \cdot b = 1 + k \cdot \phi(n) \quad (5.14) \quad \boxed{\text{dd1}}$$

Aus (5.8) <sup>ef</sup> folgt für jedes  $m$  das  $p$  nicht als Faktor enthält:

$$M^{p-1} \equiv 1 \pmod{p}$$

Aus der Multiplikationsregel (5.1) <sup>add-mult</sup> folgt:  $A \equiv B \pmod{n} \Rightarrow A^r \equiv B^r \pmod{n}; \quad \forall r > 0$  d.h.

$$M^{r \cdot (q-1) \cdot (p-1)} \equiv 1 \pmod{p} \quad \text{sowie} \quad M^{r \cdot \phi(n)+1} \equiv M \pmod{p}$$

Da  $\phi(n) = (q-1) \cdot (p-1)$

$$M^{r \cdot \phi(n)+1} \equiv M \pmod{p}; \quad \Leftrightarrow \quad M^{r \cdot \phi(n)+1} - M = k \cdot p$$

Genauso zeigt man:

$$M^{r \cdot \phi(n)+1} \equiv M \pmod{q} \quad \Leftrightarrow \quad M^{r \cdot \phi(n)+1} - M = \ell \cdot q$$

Da  $p$  und  $q$  sicher coprime sind, sind die beiden letzten Gl. nur verträglich, wenn

$$k = k' \cdot q, \quad \ell = \ell' \cdot p$$

$$M^{r \cdot \phi(n)+1} - M = k' \cdot \underbrace{p \cdot q}_n \quad \Leftrightarrow \quad M^{r \cdot \phi(n)+1} \equiv M \pmod{n}$$

1485 wegen <sup>dd1</sup>(5.14) gilt also:

$$M^{a \cdot b} = M^{r \cdot \phi(n) + 1} \equiv M \pmod{n} \quad (5.15) \quad \boxed{\text{dd2}}$$

Das Chiffriert war  $c = M^a \pmod{n}$ , also gilt nach <sup>dd1</sup>(5.14) und <sup>dd2</sup>(5.15) :

$$c^b \equiv (M^a)^b \equiv M^{a \cdot b} \equiv M^{k \cdot \phi(n) + 1} \equiv M \pmod{n}$$

1486 Die Entschlüsselung über  $M \equiv c^b \pmod{n}$  ist also nur sehr einfach, wenn man, ausser den  
1487 öffentlich zugänglichen Verschlüsselungsparametern,  $n$  und  $a$  auch die Zerlegung von  $n = p \cdot q$   
1488 kennt und damit den Schlüssel  $b$  als modular inverses von  $a$  in der Restklass  $[k]_{\phi(n)}$  bestimmen  
1489 kann. Deswegen ist die Primzahlzerlegung so wichtig und die grösste Hoffnung für bzw Gefahr  
1490 durch das QC.

## 1491 5.3 Berechnung des Schlüssels aus dem öffentlichen $n$

### Zerlegung 5.3.1 Faktorzerlegung von $n$

1) Man wähle eine ganze Zahl,  $d$  die coprime zu  $n$  ist. Die Funktion

$$f_{d,n}(x) : x \rightarrow (d^x \pmod{n})$$

1493 ist dann periodisch, s. <sup>period</sup>(5.1.2.4). Die Fouriertransformation (~~XXX~~ <sup>XXX</sup>(?)) erlaubt, die Periode  $T$  zu  
1494 bestimmen. Haben wir  $T$  bestimmt, so können wir damit Faktoren von  $n$  bestimmen, mit  
1495 folgendem Algorithmus:

1496 Erhalten wir wir, z.B. mit Hilfe der QFT die Periode  $T$ , und sei  $T$  gerade (wenn  $T$  ungerade,  
1497 versuchen wir es mit einem anderen  $d$ ) dann gilt (<sup>period-2</sup>(5.11))

$$a^T = (a^{T/2})^2 \equiv 1 \pmod{n} \quad (5.16)$$

1498 Daraus folgt

$$a^+ \cdot a^- = a^T - 1 = 0 + k \cdot n; \quad \text{mit } a^\pm = a^{T/2} \pm 1 \quad (5.17) \quad \boxed{\text{best}}$$

1499 Wir betrachten nun den interessanten Fall, dass  $n = p_1 \cdot p_2$  mit  $p_\ell$  prim. Dann muss das  
1500 Produkt  $a^+ \cdot a^-$  die Faktoren  $p_\ell$  enthalten. Wir suchen also die grössten gemeinsamen Tei-  
1501 ler von  $a^+$  und  $a^-$  und erhalten damit  $p_\ell$ . Natürlich ist sehr leicht festzustellen ob die do  
1502 gewonnenen  $p_\ell$  tatsächlich das Produkt  $p_1 \cdot p_2 = n$  ergeben.

## 1503 5.3.2 Numerisches Beispiel

1504 **5.3.2.0.1 Verschlüsselung** A geht bei der Konstruktion von der Zahl

1505  $n = 13 \cdot 19 = 247$  aus. Damit ist  $\phi(247) = 12 \cdot 18 = 216$ .

Der (<sup>dd1</sup>öffentliche) Chiffrierschlüssel  $a$  und der geheime Dechiffrierschlüssel  $b$  müssen nach  
(5.14) erfüllen:

$$a \cdot b = 1 + r \cdot 216.$$

1506 Für  $r = 3$  z.B. erhalten wir  
 1507  $\text{factor}(1 + 3 \cdot 216) = 11 \cdot 59$ ;  
 1508 A kann also  $n = 247$  und  $a = 11$  veröffentlichen, sein geheimer Schlüssel ist dann  $b = 59$   
 1509 Das Cifftrat von  $M = 23$  ist  $c = \text{mod}(23^{11}, 247) = 952809757913927 + k \cdot 247$

1510  
 Bei Empfang dieser Nachricht kann A sie mit dem geheimen Schlüssel  $b = 59$  leicht entziffern:

$$\text{mod}(c^b, 247) = \text{mod}(952809757913927^{59}, 247) = 23$$

Allerdings wäre ein Hacker auf dieses Ergebnis auch mit den öffentlichen Schlüssel gekommen:

$$M = c^a \Rightarrow M = c^{1/a}; \quad M = 952809757913927^{1/11} = 23$$

1511 Aber: Zu dem kleinsten Repräsentanten der Restgruppe  $M^a \text{ mod } 247$  auch noch ein beliebiges  
 1512 ganzzahliges Produkt  $k \cdot 247$  zugefügt werden, wobei  $k$  etwa durch einen Zufallsgenerator  
 1513 bestimmt wird. Dann wirkt der Schlüssel  $b$  immer noch:

1514 . z.B.  $c1 = 23^{11} + 200^{11} * 247$ ;  $\text{mod}(23^{11} + 7 * 247)^{59}, 247) = 23$   
 1515 aber der Trick mit der öffentlich zugänglichen Wurzel funktioniert natürlich nicht mehr:  
 1516  $(c1 + 200^{11} * 247)^{1/11} = 330.02 \dots$

1517 Allerdings muss man schon klotzen, denn wenn  $k$  zu klein ist die Wurzel zu nahe an der  
 1518 message  $M=23$ . Mit  $k = 10000$  erhält man:  $(c1 + 10000 * 247)^{1/11} = 23.00000000542033$

1519 **5.3.2.0.2 Angriff der Hacker** Die Hacker (H) kennen  $n = 247$  und das Schloss  $a = 11$ .  
 1520 Sie nutzen den Shor'schen Algorithmus: Die einzelnen Schritte sind:

1) Periodenbestimmung der Funktion

$$f(j) = (d^j \text{ mod } 247)$$

1521 mit Hilfe der FT.

1522 2) Primzahlzerlegung mit Hilfe der Periode, s. Abschn. factorzerlegung 5.3.1

1523 3) Berechnung des Schlüssels  $b$  aus der Faktorzerlegung und Kenntnis und des Schlosses  $a$ .  
 1524 Sie suchen

1525 1. Schritt: Periodenbestimmung

Dazu bilden sie zunächst das Quantenregister:

$$|QR_1\rangle \otimes |QR_2\rangle = \sum_j |j\rangle \otimes |7^j \text{ mod } 247\rangle =$$

1526 d.h. sie haben  $d = 7$  gewählt.

1527 Wir hatten dieses QR in sect. numfourier 4.3.2 bereits berechnet und gefunden:

1528

|         |                |  |   |   |    |    |     |    |    |    |    |     |     |     |     |     |
|---------|----------------|--|---|---|----|----|-----|----|----|----|----|-----|-----|-----|-----|-----|
| $QR_1:$ | $j$            |  | 0 | 1 | 2  | 3  | 4   | 5  | 6  | 7  | 8  | 9   | 10  | 11  | ... | 255 |
| $QR_2:$ | $f_{7,247}(j)$ |  | 1 | 7 | 49 | 96 | 178 | 11 | 77 | 45 | 68 | 229 | 121 | 106 | ... | 96  |

1529 Dann wird eine Messung im QR2 durch geföhrt. Messung im QC heisst, wenn nicht aus-  
 1530 drücklich anders festgestellt, immer : **Projektion auf einen Basiszustand der CB.**

das Resultat der Messung sei z.B. 49, es wird also auf den Zustand

$$\underbrace{\left(\frac{1}{\mathcal{N}} \sum_{\ell} |k_{\ell}\rangle\right)}_{QR_1} \otimes \underbrace{|49\rangle}_{QR_2}; \quad \text{mit } 7^{k_{\ell}} \bmod 247 = 49$$

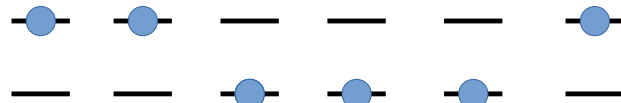
1531 projiziert

$$\left(\frac{1}{\mathcal{N}} \left(\sum_{\ell} |k_{\ell}\rangle\right)\right) \otimes |1\rangle \otimes |1\rangle \otimes |0\rangle \otimes |0\rangle \otimes |0\rangle \otimes |1\rangle$$

z.B. Spin in z-Richtung:



z.B. Grundzustand oder angeregter Z.



1533 Wir fouriertransformieren den Teil aus  $QR_1$ ,

1534 
$$\frac{1}{\mathcal{N}} \widetilde{\sum_{\ell} |k_{\ell}\rangle} = \frac{1}{\mathcal{N} \sqrt{32}} \sum_{y=0}^{31} \sum_{\ell} e^{2\pi i y k_{\ell} / 32} |y_d\rangle$$

1532

1535 Die Betragsquadrate der Koeffizienten von  $|y_d\rangle$  sind in Abb. <sup>ftnum</sup>5.2 aufgetragen.

1536 An einigen Werten der Fourier-Variable  $y$  addieren sich die Koeffizienten konstruktiv, aber an  
 1537 den meisten "oszillieren sie sich weg". mit grosser Wahrscheinlichkeit wird also der Wert den  
 1538 Zustand  $|8_d\rangle = |0\rangle \otimes |1\rangle \otimes |0\rangle \otimes |0\rangle \otimes |0\rangle$ ;  $|16_d\rangle = |1\rangle \otimes |0\rangle \otimes |0\rangle \otimes |0\rangle \otimes |0\rangle$ ; oder  
 1539  $|24_d\rangle = |1\rangle \otimes |1\rangle \otimes |0\rangle \otimes |0\rangle \otimes |0\rangle$  gemessen.

1540 Dies ergibt eine Periode in den "Fouriervariablen"  $y$  von  $y_m = 8$ .

1541 Die konstruktiven Interferenzen ergeben sich, wenn für die Periode  $T$  in  $\frac{1}{\mathcal{N}} \sum_{\ell} |k_{\ell}\rangle$  und damit  
 1542 in in  $f(\ell) = (7^{\ell}) \bmod 247$  wenn  $T \cdot y_m / 2^5 \in \mathbb{Z}$ .

Die von den Hackern gesuchte Periode muss in diesem Beispiel erfüllen:

$$T \cdot 8 / 32 \in \mathbb{Z} \quad \text{oder} \quad T = n \cdot 4.$$

1543 Daraus können die Hacker schliessen, dass die Periode  $T$  ein vielfaches von 4 sein muss:  
 1544  $T = k \cdot 4$ . In unserem Trivialbeispiel mit den recht kleinen Zahlen wussten wir das schon  
 1545 vorher, aber bei 100 und mehrstelligen Zahlen ist der Überblick schon schwerer :).

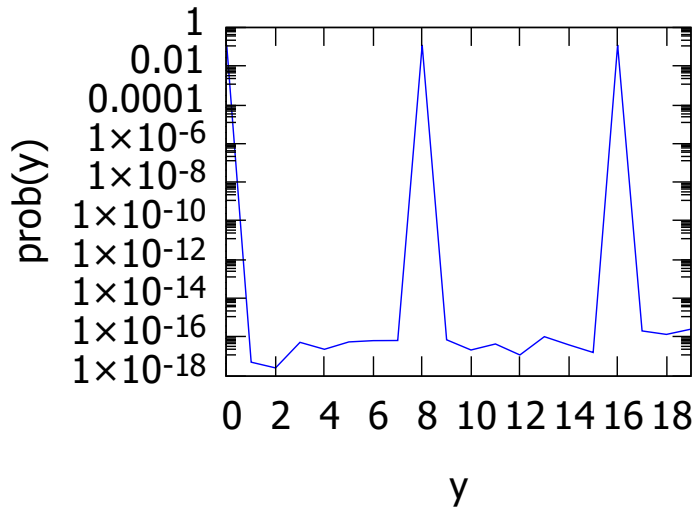


Abbildung 5.2: Betrag<sup>2</sup> der Fourierkoeffizienten des Zustands (??) auf 5 Qubits

1546 2. Schritt. Primzahlzerlegung

1547 Die Hacker hatten  $d = 7$  gewählt und  $T = k * 4$  gefunden. Also wissen sie nach (5.17) dass  
 1548  $d^\pm = 7^{4k/2} \pm 1$  die Faktoren von  $n$  enthalten muss. Also versuchen sie:

$$k = 1; \quad \gcd(7^2 - 1, 247) = 1; \quad \gcd(7^2 + 1, 247) = 1 \quad (5.18)$$

$$k = 2; \quad \gcd(7^4 - 1, 247) = 1; \quad \gcd(7^4 + 1, 247) = 1 \quad (5.19)$$

$$k = 3; \quad \gcd(7^6 - 1, 247) = 19; \quad \gcd(7^6 + 1, 247) = 13 \quad (5.20)$$

und damit haben sie mit  $k = 3$  die Zerlegung

$$247 = 13 \cdot 19$$

1549 gefunden. Damit haben Sie das gleiche Wissen wie A und können jede so verschlüsselte  
 1550 Nachricht dechiffrieren.

1551 3. Schritt. Bestimmung des Schlüssels

Der Schlüssel muss bei bekanntem Schloss 11 und  $n = 247$  Lösung der modularen Gleichung sein:

$$(b \cdot 11) \equiv 1 \pmod{\underbrace{\phi(13 \cdot 19)}_{12 \cdot 18 = 216}}$$

z.B.

$$\begin{aligned} 216/11 &= 19 + 7/11 & (5.21) \\ 3 \cdot 216/11 &= 57 + 21/11 \\ (3 \cdot 216 + 1)/11 &= 57 + 22/11 = 59 \\ &\downarrow \\ 11 \cdot 59 &= 1 + 3 \cdot 216 \\ 11 \cdot 59 &\equiv 1 \pmod{216} \end{aligned}$$

<sup>1552</sup> d.h. 59 ist der gesuchte Schlüssel